日本フルードパワーシステム学会誌

JOURNAL OF THE JAPAN

FLUID POWER SYSTEM SOCIETY

フルードパワー システム Jan

Jan. 2013 Vol. 44 No. 1

日本フルードパワーシステム学会論文集 TRANSACTIONS OF THE JAPAN FLUID POWER SYSTEM SOCIETY

特集「ものづくり教育(大学編)」



日本フルードパワーシステム学会誌

フルードパワーシステム

目 次

【挨拶】

年頭にあたり

香川 利春 4

年頭にあたって

築地 徹浩, 肥田 一雄, 北畠 多門 5

特集「ものづくり教育(大学編)」

【巻頭言】

特集 「ものづくり教育 (大学編)」発行にあたって

吉田 和弘 7

【解説】

ものづくり教育に活かすコミュニケーションスキル

—エンジニアリング・ファシリテーション

大石加奈子 8

エンジニアリングデザイン教育 ―ものづくり工学実習―

加藤 友規,溝田 武人 11

JABEEとエンジニアリング教育

岸本喜久雄 14

カーネギーメロン大学におけるものづくり教育

塚越 秀行 18

国際デザインコンテスト (IDCロボコン) 2012

山北 昌毅 21

PBLを志向した設計製図教育「EV-Mileage」

佐藤 恭一 25

東北大学機械系大学院教育改革プログラム「機械工学フロンティア創成」

吉田 和哉 28

岐阜大学金型創成技術研究センターにおけるものづくり教育

王 志剛 31

【FPIC会議報告】

2012年度日本機械学会年次大会におけるフルードパワー研究の動向

田中 豊 34

彰 37

【教室】

おもしろ油圧機構 第10回 メカトロ油圧機器 大橋

おもしろ空気圧「イオナイザ」 小辻 一雄 40

入門講座「流体力学」第3回:噴水はどこまで上がる? 高橋 勉 43

【トピックス】 油空圧に関するISO活動の現状 千葉 誠 48 韓国駐在員日記 三宮 俊之 51 【研究室紹介】 東京工業大学横田・吉田研究室 横田 眞一,吉田 和弘 54 【企画行事】 ステルソン教授の特別講演会 田中 豊 58 【会告】 学会誌「フルードパワーシステム」フォーマット変更のお知らせ 24 57 平成25年春季講演会併設セミナー「自動車技術とフルードパワー」 平成25年春季フルードパワーシステム講演会併設企画 「製品・技術紹介セッション」の講演募集案内 60 平成24年度 ウインターセミナーのお知らせ 「アクアドライブシステム(新水圧駆動技術)の現状と将来」 62 日本フルードパワーシステム学会・日本機械学会 共催 平成25年春季フルードパワーシステム講演会のお知らせ 64 共催・協賛行事のお知らせ 67 その他 61,63,65,66,68 ■表紙デザイン:山本 博勝 ㈱豊島

一般社団法人 日本フルードパワーシステム学会

〒 105-0011 東京都港区芝公園 3 — 5 — 22 機械振興会館別館102 TEL: 03—3433—8441 FAX: 03—3433—8442 E-Mail: info@jfps.jp

JOURNAL OF THE JAPAN FLUID POWER SYSTEM SOCIETY

FLUID POWER SYSTEM

Contents

[Greeting Message] A Letter of Greetings as an Inaugural Address from the President A Letter of Greetings as an Inaugural Address from the Presidents	Toshiharu KAGAWA	4
A Letter of Greetings as an Inaugural Address from the Vice Presidents Tetsuhiro TSUKIJI, Kazuo H	IDA, Tamon KITABATAKE	5
Special Issue "Design and Manufacturing Education	on in Universities"	
[Preface] On the Special Issue "Design and Manufacturing Education in Universities"	Kazuhiro YOSHIDA	7
[Review]		
Communication Skills to Activate the Manufacturing Education —Engineering Facilitation Engineering Design Education —Seminar for Creative Engineering—	Kanako OISHI	8
	ori KATO, Taketo MIZOTA Kikuo KISHIMOTO Hideyuki TSUKAGOSHI Masaki YAMAKITA Yasukazu SATO	11 14 18 21 25
Graduate Education of Mechanical Engineering Manufacturing Education System in G-CADET	Kazuya YOSHIDA Wang ZHIGANG	28 31
[FPIC Report]		
Research Trend of Fluid Power in JSME Annual Conference 2012	Yutaka TANAKA	34
[Lecture] The Interesting Mechanism of Hydraulic Components No.10 Mechatronic-Hy	draulic Component Akira OHASHI	37
Interesting Pneumatic Technology - IONIZER An Introductory Course of Fluids Mechanics: The Third: Where does the four	Kazuo KOTSUJI	40
ATTITUDE COLLEGE OF TRIBLE INSORIATION THE THIRD. WHEN CLOSE LIFE TOUR	Tsutomu TAKAHASHI	43
[Topics] Report on Status of ISO/TC131 "Fluid Power Systems" Korea Representative Diary	Makoto CHIBA Toshiyuki SANNOMIYA	48 51
[Laboratory Tour] Yokota-Yoshida Laboratory, Tokyo Institute of Technology Shinichi YOK	OTA, Kazuhiro YOSHIDA	54
[JFPS Activities] Special Lecture on Efficient Transportation with Fluid Power by Prof. Stelson	Yutaka TANAKA	58
[JFPS News]	24,57,60,61,62,63,64,65,6	86 67 69
	24,07,00,01,02,03,04,00,0	00, 10, 00

挨拶

年頭にあたり

者 紹 介



Ш 利 春

東京工業大学精密工学研究所 〒226-8503 横浜市緑区長津田町4259 R2-45

1974年東京工業大学制御工学科卒業. 精密工 学研究所およびメカノマイクロ工学専攻教授と して自動制御・流体計測制御・生体計測の研究 に従事. (一社) 日本フルードパワーシステム学 -社) 日本フル・ 会, 計測自動制御学会, 社)日本機械学会フェロー

東日本大震災を経験し2年目の新年をむかえる. この2年弱の短い期間においてもさまざまな社会の 変化が起こり、東アジアの不安定な動きもあり、少 なからず日本フルードパワーシステム学会関係者に も影響を及ぼしている. 日本フルードパワーシステ ム学会関係のそれぞれの分野について概観を行う.

油圧分野ではヨーロッパを始めとする景気の減退 の影響で中国での需要の陰りが顕著であるものの省 エネ,環境騒音振動対策がフルードパワーシステム に求められている. 油圧建設機械のハイブリッド化 も一部行われだしている. 日本国内では建築, 建設 のパイは限られているが、震災需要が発生し、これ からも建設機械分野にしばらくは需要が継続すると 考えられる. 日本フルードパワーシステム学会とし て油圧分野の研究者の減少、高齢化が問題となって いる. 企業サイドにおいても基本技術の習得が若手 技術者にできていないとの声を良く耳にする.確か に油圧技術に限らず機械産業が成熟化している事に よっていると考える. 時計, 車やバイクの産業製品 もその例に漏れず、現在のユーザはその発展、進化 の経緯を知らずに恩恵のみ便利に利用している.

空気圧分野ではアクチュエータとしての一般機械 産業への応用、半導体分野での利用、血圧計測機器 やマッサージ機などの生体関連分野での利用がある が、空気圧の特徴として作動流体が空気であるため、 原則では戻り配管が不要であることに起因する簡便 性が挙げられる.しかしながら、ここ10年以上の 省エネ化でかなりの改善が行われた.一方,フルー ドパワーシステムとしての空気圧の効率が定義され

ていないため、ユーザサイドにおいても議論が混乱 している. エクセルギーをベースにしたエアパワー の計測が行われだし、日本フルードパワー工業会規 格となっている. 今後ISO規格にも提案される. 一 部のユーザにおいて空気圧の代わりに電動化すれば 省エネとなり、優れたシステムが実現できると考え た技術者が存在したようで、それらの後日の話は聞 いていない。やはりフルードパワーシステムを上手 に使用するのが良いと断言できる. ただしフルード パワーシステムに対する認識、教育がなされない場 合には比較検討する土壌にも上がれないことになっ てしまう.

水圧分野では流体制御要素関連の数社が開発を継 続しているが、コストなどの問題によってなかなか 浸透速度が遅いようである. 前述の空気圧分野と同 じで、水圧によってしかできない若しくは他の方法 では困難な分野での応用が期待される.

つぎに日本のフルードパワーシステム研究体制の 危機を考察する. この10年間でフルードパワーを 研究する大学関係研究室が減少している. 特に油圧 関係では油圧ユニットを運転している研究室が激減 している. 日本の研究室体制では研究室そのものが 小規模で、また油圧プロパーの研究テーマでは科学 研究費の獲得がままならない現実がある. 欧米の研 究室では、まず米国でのKIM教授を中心とする CCEFP研究グループ、ドイツのアーヘン工科大学お よびドレスデンのフルードパワー研究所やスエーデ ンのリンシェーピン大学, フィンランド共和国タン ペレ大学の研究所でのフルードパワーに関する研究 などはそれぞれ特徴を持ち地道な活動を継続してい る. 日本では研究室の規模の問題だけでなく、目先 の変わった研究でなければ予算がつかないだけでな く、学生も集めることも困難となり、フルードパ ワー研究は受難の時代といえる.

日本フルードパワーシステム学会としては、フ ルードパワー技術を有効に利用する機会を多くし、 社会に広める責務があると考える.

(原稿受付:2012年10月9日)

挨拶

年頭にあたって

者 紹 介



築 地 徹

上智大学理工学部 〒102-8554 東京都千代田区紀尾井町7-1 E-mail: t-tukiji@sophia.ac.jp

上智大学理工学部教授 大学院理工学研究科理工学専攻専攻主任,流体工学,油空圧工学,機能性流体の研究に従事.(一社)日本フルードパワーシステム学会副会長,日本機械学会,可 視化情報学会,アメリカ機械学会などの会員.



かず 肥 田 雄

川崎重工業株式会社 精密機械カンパニー 〒651-2239 神戸市西区枦谷町松本234番地 E-mail: hida_k@khi.co.jp

川崎重工業株式会社,執行役員。精密機械ンパニー 技術本部長,(一社)日本フルードワーシステム学会副会長,日本機械学会会員.



ばたけ 門 北 多 崮

SMC株式会社 〒101-0021 東京都千代田区外神田 4-14-1 秋葉原UDX15F

E-mail: tamon-kita@smcjpn.co.jp

1998年SMC株式会社入社, 取締役海外事業部 長を経て、取締役社長室長、日本フルードパワーシステム学会副会長、(一社)日本フルード パワー工業会副会長

1. はじめに

新年あけましておめでとうございます. 年頭にあ たり、本年は平成24、25年度副会長を仰せつかり ました私たちの連名でご挨拶を申し上げます.

日本フルードパワーシステム学会は、昨年4月か ら新公益法人法に基づき一般社団法人へ移行して, 今年,2年目を迎えます.本学会はこれまでも自発 的参加者による自主的運営をおこなって参りました が、一般法人化したことによって、これまでにも増 して自主性・独立性が求められています.

本学会にて意義ある活動、成果の上がる活動が継 続的に行われ、発展的に存続できる学会となること を目指して, 昨年より, 新たな取り組みを香川会長 の下、始めました、本ご挨拶では、主にそれらの新 たな取り組みについての大枠を述べさせていただき ます.

2. 新たな取り組み

フルードパワー技術/製品は,自動車,建設機械, 産業機械、工作機械、航空機、船舶、車両、さらに、 自動車製造ライン、半導体製造装置、医療機器、食 品機械などあらゆる産業分野で使われ、無くてはな らない要素技術/製品といえます. 見えないところ で働く技術/機械であり、他の製品/技術と組み合 わさって始めて最終製品となります.

重要な要素技術でありながら,それだけでは新規 性を見せにくい面もあり、多く使われているにもか かわらずフルードパワー技術そのものへの関心が低 くなっていることを懸念しております.

フルードパワー技術や製品は、今後とも、産業に とって、重要な役割を果たすべきものであることは、 何ら変わることがないと考えており、本学会の活動 力・影響力を上げるべく、以下の取り組みを行って おります.

2.1 会長副会長会議の発足

平成24年度から会長副会長の4人で構成される 会長副会長会議を発足させています.この会議は委 員長会議や理事会の前に定期的に開催され、会議の 目的は、学会としての大きな方向付けの案を作成す ることです。特に、今回の副会長3人のうち2人が それぞれ油圧と空圧での企業人であります. 学会と して企業の力が必要であるため、このような構成に なっており、企業人としての経験と知恵を本学会に 最大限に生かせるように大学教員と活発な議論を本 会議で展開しています. この議論の結果, 以下に述 べます正会員と賛助会員の増強計画,各委員会間の 連携強化などの具体的な方策を講じています.

2.2 正会員と賛助会員の増強

本学会は、大学、研究機関などの教員、研究者、 技術者と企業の研究者、技術者などの正会員が中心 となり積極的に運営し、賛助会員はあくまでも側面 からの支援者であるという意識が大切です.

サッカーでいうと、選手が正会員であり、サポー ターが賛助会員です、そのチームにいると、互いに 切磋琢磨できて個人のレベルが上がる、そう考えて 多くの選手が集まってくる. そのチームのゲームが 魅力的なのでそれを見るためにサポーターである賛 助会員が自分でチケットを買ってスタンドに足を運 ぶ. 本学会でもそのような関係が必要です. しかし. 現実には正会員と賛助会員が近年特に減少しており ます. このため、会員数の増強に力を入れていくこ とが喫緊の課題です. 本学会に参加することの魅力 を上げることが根源的対策と考えております.

昨年は、正会員と賛助会員のこれまでの推移の分 析や、会員増強のための諸準備を行いました、今年 は、その結果をもとに、正会員は勿論、特に賛助会 員数の新たな獲得や回復に力を入れていきたいと考 えています.

2.3 各委員会間の連携強化

これまで、それぞれの委員会において事業の計画 立案や活動は行われていましたが、各委員会間の連 携が弱かったようです。すなわち、ある委員会から の別の委員会への要望等が正確に伝わっていない、 あるいは伝わったとしても遅いといった問題があっ たようです. 本来, 委員長会議で行うべきですが欠 席の場合もあり、正確に敏速に伝わっていたとはい えません. さらに、どこの委員会で取り上げてよい のかわからない活動や事業計画などが提案された場 合などの対処が敏速でなかったこともありました. そこで、今回すべての委員会規程を検討・修正しま したが、その中で特に基盤強化委員会の規程を改正 して、この委員会へ各委員会から少なくとも一人の 委員が入るようにし、各委員会間の要望伝達事項を 基盤強化委員会で確実に伝達するようにいたしまし

た. 他の委員会への要望事項がある場合には、その 議事録を回すことにより委員会間の要望伝達事項を 確実にその委員会へ伝えることができます.さらに、 この活動はどの委員会で行うかの議論もこの基盤強 化委員会で行い、委員会間の活動の調整を行います. そして常に、学会の全体の委員会の活動状況を見渡 します. 以上のことを確実に実行するために、平成 24年度から基盤強化委員会に会長と副会長3名が 参加させていただいています.

3. 終わりに

先に述べましたように、大学、研究機関などの教 員、研究者、技術者と企業の研究者、技術者などの 正会員が中心となり、賛助会員に支援をしていただ きつつ、本学会を積極的に運営していくことが必要 です、このために、学会活動や運営における長期的 視点や広い視点が必要です.

企業の研究者、技術者について見ますと、当学会 では、フルードパワー製品を製造、販売する側と、 それらを使用し、最終製品に使用するユーザ側とが 共存する他には無い,有意義な場であり,その場の 有利性を生かして、フルードパワー技術の一層の発 展を生かしていくことが必要であると考えておりま す.

産学連携の視点を生かしつつ、工業会や産業界と の関係も大事にしながら、 さらなる新たな戦略的改 善や提案を行い、フルードパワー技術の発展を目指 し微力ながら最大限の努力していく所存であります.

会員の皆様のご理解・関心とご協力をよろしくお 願い申し上げます.

(原稿受付:2012年10月4日)

巻頭言

特集「ものづくり教育(大学編)」発行にあたって

者 紹 介



田 和 弘 百

東京工業大学精密工学研究所 〒226-8503 横浜市緑区長津田町4259-R2-42 E-mail: yoshida@pi.titech.ac.jp

1989年東京工業大学大学院博士課程修了,同同大学助手,1996年同大学助教授(現,准教 年同大学助手, 2008年10月~2009年3月米国UCSB客員研 i. 流体マイクロマシン,機能性流体の研究 に従事. JFPS, JSME, IEEEなどの会員. 工学博

「ものづくり」は、日本の製造業の根幹を成す重 要なキーワードとして再認識され、子供時代にもの づくりの経験が乏しくなっている若者に体験的なも のづくり教育を施す重要性が指摘されている. その ため、大学などの高等教育機関および企業において は、様々なユニークな試みが行われている。そこで 本特集では、「ものづくり教育(大学編)」と題し、 高等教育機関における機械系ものづくり教育の試み を紹介することとした. 企業の取組みについては. 本巻第3号で特集する予定である.

本特集においては、まず、大石加奈子氏(沼津工 業高等専門学校) に、ものづくりをチームで実行す るために必要なコミュニケーションスキルであるエ ンジニアリングファシリテーションについて解説し ていただくとともに、ファシリテーション・トレー ニングの実施例をご紹介いただいた.

続いて加藤知規氏、溝田武人氏(福岡工業大学) には、エンジニアリングデザイン教育の実例として、 企画,調査,設計,製作,成果発表を管理,運営も 含めて学生に経験させ、ファシリテーション、プレ ゼンテーションなどの能力を育成する福岡工業大学 の講義「ものづくり工学実習」をご紹介いただいた.

岸本喜久雄氏(東京工業大学)には、ものづくり 教育と関連の深い、大学などの技術者教育プログラ ムで社会の要求水準を満たしているものを評価、認 定する日本技術者教育認定機構(JABEE)について、 設立の経緯、評価内容、およびエンジニアリングデ ザイン教育について解説していただいた.

塚越秀行氏(東京工業大学)には、海外の事例と して米国カーネギーメロン大学を取り上げ、同氏の 滞在経験に基づき、現実に近い環境で行うロボット カーレース, 月面上で探査を行う月探査レースと いった大規模レースに参戦する研究グループの活動 についてご紹介いただいた.

また山北昌毅氏(東京工業大学)には、2012年 8月に東京電機大学で開催された, 与えられたテー マのロボットを国籍の異なる学生4~5名から成る グループごとに与えられた材料で製作し、競技を行 う国際デザインコンテスト(IDCロボコン)2012 について、学生の参戦記も含めてご紹介いただいた.

佐藤恭一氏(横浜国立大学)には、基礎知識をも のづくりに結び付ける設計課題の一環として横浜国 立大学において実施されている、1人乗り電気自動 車の企画、設計、製作、および走行競技会を行う PBL (Problem (Project) -based learning) を志向 した「EV-Mileadge」についてご紹介いただいた.

吉田和哉氏(東北大学)には、文部科学省の大学 院教育改革支援プログラムに採択された東北大学機 械系大学院の教育プログラム「機械工学フロンティ ア創成」について、修士1年前期に行うものづくり を主体としたプロジェクト研修の具体的な実施内容 およびその結果についてご紹介いただいた.

王志剛氏(岐阜大学)には, 文部科学省振興調整 費により岐阜大学に設置された金型創成技術研究セ ンターにおいて、金型基礎教育プログラムによる基 本トレーニングと卒論・修論研究による技術開発能 力付与により即戦力を与えることを目的に実施され ているものづくり教育についてご紹介いただいた.

以上のように、本特集は、高等教育機関における ものづくり教育のユニークな取組みを紹介したもの で、科学技術立国を標榜する我国にとって重要な情 報を提供するものと考えている. なお本特集は, 編 集委員の塚越秀行氏および吉田とで企画した。ご多 忙中のところ貴重な解説記事をご寄稿いただいた執 筆者の皆様および本特集号の発行にご尽力いただい た編集委員の方々に厚くお礼申し上げる.

(原稿受付:2012年11月13日)

解説

ものづくり教育に活かすコミュニケーションスキル —エンジニアリング・ファシリテーション

著 者 紹 介



石 加奈子

沼津工業高等専門学校教養科 〒410-8501 静岡県沼津市大岡3600 E-mail: oishi@numazu-ct.ac.jp. http://oishikanako.com/

神戸大学大学院総合人間科学研究科 博士課程コミュニケーション科学専攻修了 現在 沼津工業高等専門学校教養科准教授, 工学院大 学大学院工学研究科非常勤講師. 本工学教育協会賞「著作賞」受賞 平成23年度日 博士 (学術), (財生涯学習開発財団認定コーチ

1. はじめに

エンジニアリングデザイン教育を通じて, 問題解 決力や主体性を育成する試みが、高等教育機関にお いて、近年多く見られるようになってきた、実践の 方法として、体験型ものづくり実習を、少人数チー ムで共同して進めることが主流である. デザイン教 育が目的とするのは、「どのようにしてモノをつく るか」が中心ではない. チーム全員参加で最大の成 果を出す力、話し合いによる効果的な問題解決をす る力,一人ひとりが目標に向けて自立的に行動でき る力を養うことである. チームでの話し合いが難航 してなかなか結論が出ない, 全員が主体的に活動に 取り組めないなどは、ものづくり体験の機会を多く 与えれば改善されることではない. 集団の協働によ るアイデア創造, 問題解決, 合意形成, モチベー ション向上に役立つコミュニケーション・スキルの 修得が必要になる、そのコミュニケーション・スキ ルを「ファシリテーション」という.

2008年8月に日本工学教育協会の大会で、エン ジニアに求められるコミュニケーション能力を修得 できる科学理論に基づいた手法「エンジニアリン グ・ファシリテーション」ついて発表したことを きっかけに,筆者は複数の工学系の国私立大学・高 専・学協会・エンジニアや実業家の研究会、大手企 業からも特別講義の依頼を受けた。2009年より延 べ約40か所以上で、特別講義(講演・ワークショッ プ)を行った. 教職員、学生、企業人がエンジニア リング・ファシリテーションを楽しく意欲的に実践 している。2010年に理工系出版社から依頼を受け、 これまでの教育内容と『工学教育』誌などに発表し た論文¹⁾⁻⁶⁾ をまとめて書籍化した(図1). 特別講 義などで訪問した先では、「学生の様子がいつもと 違う」「学生が自分たちで率先して協力し結果を出 していくのが不思議だ」「学んだことをその後の演 習に自分たちで工夫して活用していく」などの驚嘆 の声を受けている.

本稿では、2012年6月に日立製作所総合教育セ ンタ日立工業専門学院で社員学生を対象に特別講義 を行い、好評を得たファシリテーション・トレーニ ングを紹介する.

2. 日立工業専門学院でのファシリテーショ ン・トレーニング

今回のファシリテーション・トレーニングで取り 上げたテーマは,「茨城県民を災害から守るための 災害対策新製品の開発」である。最初に話し合いや すい環境をつくるためのアイスブレイクを行い、そ の後5,6人のグループを作り、新製品開発のため のファシリテーション・トレーニングへと進めた (図2).



図1 エンジニアリング・ファシリテーション⁷⁾



図2 日立工業専門学院でのファシリテーション・トレー ニング風景

2.1 セットアップ信頼関係の構築

脳科学の理論によると,人が集団の中で主体的に 自分の可能性を発揮できるのは、楽しい雰囲気のと きである. 自由な発言や学習意欲・信頼関係はもち ろんのこと、主体性や創造性もそのような場で無理 なく育成されていく. そのため人が集まっていきな り製品開発の方法を学び始めたり、開発会議を行う のでなく、まず話しやすい雰囲気にするアイスブレ イクを行う. アイスブレイクというのは身体を動か して、ゲームやクイズなど行う明るく柔軟で笑いの ある活動である. ウソホントクイズ・Yes-andゲー ム・好きな遊び場・ふうせんほめほめゲームなどを 行った.

2.2 話し合いの役割とルールづくり

ファシリテーション会議をスタートする前に, チーム内で4つの役割を決める、進行役のファシリ テーター, 議論を模造紙に描き出すグラフィッカー, 時計係のタイムキーパー、そして発表役のプレゼン ターである. ファシリテーターは議長や意思決定者 ではない. チームメンバーと対等な立場をとり、効 果的な質問や傾聴を行うことで、皆からアイデアを 引出し, 気づきを促し, 意見を整理する進行役であ る. また,「人の意見を否定しない,一人で喋りす ぎない」など、話し合いのルール作りもチームで行 う. メンバー一人ひとりが役割を持つこと・ルール を決めることで、話し合いの幅が広がり活性化し、 限られた時間で大きな効果を得ることができる.

2.3 発明技法を活用したファシリテーション

新商品開発変数(どんな人に使ってもらうかとい う「対象」や、どんな状況で使うのかという「場 面」、どんな「機能」を期待されているか、対象が どんな「心理」を得たいか) についてマトリクスを 用いて、各チームで考える. それにより、ニーズに 沿った本当に価値ある製品について考えられる。そ こから「TRIZ」の発明原理を用いたファシリテー

ション会議を行い、製品開発を行った. 良いアイ ディアが出ない,アイディアが少なくて何を作れば よいかわからないというようなときにでも、誰もが 先入観や固定観念を排除して創造的な発想ができる ように技術開発のヒントを多く与えてくれるのが TRIZの発明技法である. 今回は、TRIZの8つの発 明原理,「分割原理」,「先取り作用」,「逆発想」, 「ダイナミックス原理」、「周期的作用」、「災い転じ て福となす」、「セルフサービス」、「パラメータの変 更」をもとに、具体的な問題からいったん離れて、 抽象的な世界で発想をした. 出された多くのアイデ アを組み合わせるなどでアイデアをより豊かにし, 最終的な製品へと近づけていく. さらにペイオフマ トリクスや意思決定マトリクスを用いて効果や実現 しやすさ比較検討し、最後に最適な製品の選定を 行った.

3. 受講者の感想

受講者A:3限目に行ったゲームでは相手を褒め 合うということをした. 最初はただ楽しんでいただ けだったが、終わった後に相手を否定せず肯定する こと、褒め合うことは互いに気持がよく、距離が縮 まったように感じた.

4限目のグループ活動ではそれぞれ役割分担をし て、大石先生の指示通りに話し合いを進めた. その 結果、1時間というわずかな時間だったにもかかわ らず意見をまとめきることができた. 今回講話で教 えていただいたことは、製品開発にかかわらず、い ろいろな話し合いの場面で使えると感じた.

受講者B:アイデアの出やすい環境を作るには、 メンバーと友愛関係をつくることが望ましいと学ん だ. 実際に、ゲームや演習を実施し交流を深めてか ら、新製品開発演習を実施した。自分の意見が障害 なくスムーズに出せるようになったと感じた. 実際 に感じることができ、良い環境をつくることは、と ても大切なことだと思った.

また,新製品開発演習では,マトリクス法,発明 技法TRIZ、ペイオフ・意思決定マトリクス法とポ ストイットを使い演習を行った. それぞれの技法と, 進め方が新しいもので、私が使いこなせるか不安で あったが、演習を進めるうちにそれぞれの良さがわ かり無事に演習を終わらすことができた. 今回の講 義で学んだことは職場で活かすことができるものな ので、今回学んだことを十分に理解し職場に活かし たい.

受講者 C: 今回の講義は、管理工学科と情報工学 科との合同だったので、今までに話したことのない 人達とも話す機会が設けられ、自分が好きな"山"

について話したり、相手を褒めたりと、最初は恥ず かしい気持ちがあったが、だんだんと慣れてきた. グループワークでは、"イエス・アンドゲーム"や 趣旨である製品開発を行う会議を実施することで, 積極的に発言することを目標に取り組んだ. 1つの 話題から話を広げたり、一方的に話す・聴くだけで なく、相手としっかり会話することを学んだ. これ まで話したことがない人に対して自分から話すこと が苦手だったのだが、この講義でコミュニケーショ ンスキルを修得することができた. 今後の学院生活 では、もっと色々な人とコミュニケーションをとる ことでさらに友達を増やしていきたい. 職場復帰後 は、今までよりも会議に出席することが増えたり、 打ち合わせが増えることが考えられるので、今回得 たスキルを発揮できるように日々意識して生活して いきたい.

今回の講義は本当に役に立つ内容であり、実践的 で面白く学ぶことができた.

4. おわりに

受講された社員学生さん81名14チームが、一つ 一つの会議プロセスを忠実に守り、問題解決技法を 工夫して活用し、最後までたいへん積極的に楽しそ うに取り組んでくださった. また, 話しやすい雰囲 気を皆で主体的につくり、既成概念にとらわれない アイデアを数多く出されたことに目をみはった. し かも進行時間からの遅れがほとんどなく、各チーム が平均8割以上納得できる結論を導き出して終了で きた. 一連の製品開発手順により. 効率よくかつ最 善のものを選択できたということである.

各チームの発表や感想文から、受講された皆様が

今までにない気づきを得たことや体験を通じて潜在 的な力を引き出されたことを感じた.

ものづくりを成功させるためには、人と人との良 好なコミュニケーションが基盤になる. 技術者同士 が互いに尊重できる信頼関係を築くことで、消費者 の立場になる感性や新規性も生まれる. エンジニア リング・ファシリテーションの方法により、だれで も、楽しくそれらを育成できる. 変動する新しい時 代を担う若い人たちが、企業を弱体化から救い、生 産性を回復し、人生をよりよく生きられるように、 このコミュニケーション・スキルをこれからのもの づくりの業務にも有効活用していかれることを望み たい.

参考文献

- 1) 大石加奈子:エンジニアリングデザイン教育を活性化 するファシリテーション―話し合いの技術, 工学教育, Vol. 56, No. 6, p. 176-180 (2008)
- 2) 大石加奈子: エンジニアリングデザインに活かすファ シリテーション 合意形成のトレーニング, 工学教育, Vol. 57, No. 2, p. 53-56 (2009)
- 3) 大石加奈子, エンジニアリングデザイン教育―教員は 何を学ぶか、工学教育、Vol. 57, No. 6, p. 70-74 (2009)
- 4) 大石加奈子:エンジニアリング・ファシリテーション -主体性を引き出す導入のスキル,工学教育,Vol. 58, No. 2, p. 76-79 (1010)
- 5) 大石加奈子: コーチングを活かした面談とその成果, 工学教育, Vol. 58, No. 4, p. 16-20 (2010)
- 6) 大石加奈子: 高専の学生さんに生きる力と幸せな笑顔 を 新しいコミュニケーションの技術を紹介, 高専フロ ントランナー ~活躍する女性教員~, 日本高専学会 誌, Vol. 16, No. 4, p. 32-36(2011)
- 7) 大石加奈子:エンジニアリング・ファシリテーション、 森北出版, (2011)

(原稿受付:2012年10月5日)

解説

エンジニアリングデザイン教育 一ものづくり工学実習一

者 紹 介



藤 規 加 友

福岡工業大学工学部知能機械工学科 〒811-0295 福岡市東区和白東 3-30-1 E-mail: t-kato@fit.ac.jp

2007年東京工業大学大学院博士課程修了. 立高専助手~助教を経て 2010年福岡工業プ 工学部知能機械工学科助教, 2012年同准教授と なり現在に至る。本学会(企画委員・編集委員) 日本機械学会などの会員. 博士 (工学), 技術士 (機械部門)



溝 田 武

福岡工業大学工学部知能機械工学科 〒811-0295 福岡市東区和白東 3-30-1 E-mail: mizota@fit.ac.jp

1968年熊本大学大学院生産機械工学専攻修了. 松下電器産業株式会社,九州大学応用力学研究 所助手などを経て,現在,福岡工業大学工学部 知能機械工学科教授.日本機械学会,日本風工 学会 日本工学教育協会などの会員.工学博士.

1. はじめに

福岡工業大学工学部知能機械工学科(以下,本学 科)では,平成18年度より日本技術者教育認定機 構(JABEE)の認定を受けた知能機械創成コースを 設置している. JABEEにおいて, エンジニアリング デザイン教育はきわめて重要なものと位置付けられ ている. 本学科ではエンジニアリングデザイン教育 として、2年生前期の必修科目として「ものづくり 工学実習」を開講している. 本講義は平成17年度 に「創造性セミナ」の名称でスタートし、平成22 年度に現在の「ものづくり工学実習」に改名された. 本稿では、その授業の取組についてご紹介させてい ただく.

2. 講義の目的と概要

本講義では、4~8人を1班とするチームによる モノづくりを行う過程で、企画・役割分担・調査・ スケジュール管理・運営・設計・製作・成果発表・ 報告(最終論文提出)などの諸作業を経験し,創造 力・独創力を陶冶し、コミュニケーション能力や ファシリテーション能力、そしてプレゼンテーショ ン能力を育成することを目的としている.

必修科目であり、受講生は例年100~130名程 度である. 教育側のスタッフとしては、教員4名と 教育補助(TA)の大学院生4名が担当している. その他、学内の工作センターとものづくりセンター の担当職員数名が必要に応じてアドバイスを行って

講義は2年生前期の半期15週であり,1週の授 業時間は連続2コマ(180分)である(計30回, 2単位). 各週の授業は、概ね以下の流れで進行さ れる.

第 1 週:授業の説明・班分け・役割分担

第2週:各班でのテーマ検討(フィールドワー

ク)

第3週:追及テーマについて教員・TAと面談 第4週~第10週:ものづくり作業・発表準備

第11週:作品デモ(作品の実演と説明)

第12週:PPTを用いた成果発表会

第13週:表彰式・最終論文提出・等角図提出 第14週:アンケート・提出物返却・会計処理

第15週:成果物の整理・後始末

なお、本講義を受講する学生は、前年度の1年生 後期の開講科目「ものづくりのための科学技術表現 法」を履修することが前提であり、その講義の一環 として沼津工業高等専門学校の大石加奈子先生を本 学科にお招きしての「ものづくり工学実習のための ファシリテーション講習会」に参加し、工業製品の 改良を題材に, ファシリテーション技法によるグ ループによる合意形成12を学んでいる(図1).

3. 講義内容

3.1 第1週(班分けと役割分担)

まず、受講生を4~8名を1班として15~20 チームに班分けする. 実社会において, 必ずしも 元々仲の良い者同士がチームになるとは限らないの で、班分けには原則、学生の希望は反映させないこ ととしている. 各班員は, 班長1名・副班長(書 記) 1名・会計係1名・発表PPT担当(1~3名)



ものづくり工学実習のためのファシリテーション講 図 1 習会(大石加奈子先生)

の役割を持つこととなる. なお, ここで班長・副班 長とは、あくまで教員・TAとの連絡や班内の作業 における各種調整を担当したり、合意形成における ファシリテーターを担当する役割であり、いわゆる トップダウン型の組織におけるリーダーという意味 ではないことを意識するように、受講生に説明して いる.

3.2 第2週~第3週 (テーマ設定と計画立て)

ここで各班は,大学から支給される予算内(平成 24年度は1班あたり8千円)で自由に追及テーマ を設定することになる. この予算とは別に、作品の 制作にあたって必要な材料については、各自の自宅 にあるものや学内の廃材から調達することは制限し ない. また, 一般的な工具類や測定器類は, 学内の 工作センターやものづくりセンターにて借りること も可能である。受講生は、学内やホームセンターな どをフィールドワークすることで, 限られた予算・ 時間・環境を勘案し、適切なテーマを設定し、無理 のない計画を立てることが求められる(ただし、学 外への買い物は、授業時間外に行くこととしている).

また, 授業で使用するテキスト (溝田武人, 加藤 友規ほか:ものづくり工学実習―エンジニアリング デザイン教育一、学内でのみ販売)には、過去の テーマの例など、テーマ設定のためのヒントはいく つか紹介している.しかし、学生の自主性やアイ ディアを尊重するため、教員側が関与しすぎないこ とに配慮している.

ある程度追及テーマが固まったら、第3週は各班 担当の教員・TAとテーマについて面談することに なる(図2)、これは、自分たちの追及テーマと計 画について、上司・先輩にきちんと順序立てて説明 し、了承していただいた上で制作開始のゴーサイン をいただく、という練習である。ここで重要なポイ ントは、各班により設定された追及テーマが、班内 でのファシリテーション技法による合意形成を経た 結果であるかどうか、という点である. この段階で 毎年よく見られる傾向としては、各班の中で、もの づくり系のサークル活動などを行っている一部の班 員が議論の主導権を握り、他の班員は我関せずの態 度となってしまう、ということである、そのため、 たとえば追及テーマの説明を担当した班員以外が追 及テーマの内容を理解してないような場合や、作業 計画の中で班員全員の役割分担が不明確な場合には, 全員で議論しなおし、合意形成を経たうえで再度説 明に来るように指示することとなる.

各班, 教員・TAによる幾度の駄目出しと説明の やり直しを経て、少しずつではあるが班内での議論 が活性化してくる。また、この説明の段階で、図や 表を用いるなどの工夫が見られるようになる. テー マ設定・作業計画について、最終的に教員・TAの 了承が得られた班から、いよいよ制作作業へと進む、



図2 第3週:テーマについて教員・TAと面談

3.3 第4週~第10週(ものづくり作業・発表準備)

第4週から第10週までの7週(計14回)の間は、 各班の作業計画に基づいて作品を制作したり、追求 テーマを検証するための実験などを行うことになる. 文献調査のみ、あるいは製図・計算・シミュレー ションのみの追求テーマは原則、認めていないので、 すべての班が何らかの工作あるいは実験をすること になる. 工作の実施については、学内の総合機械工 場である工作センターとものづくりセンターを利用 可能である(図3).毎週の授業の最後には、その 週の作業報告書を指定の書式で全員が1枚ずつ提出 することを義務づけている.

3.4 第11週~第12週(作品デモ・成果発表会)

各班は第10週目の終わりまでに、作品を完成さ せ,あるいは実験を完了する必要がある。第11週 目は、制作した作品や実験結果を披露する、成果デ モを行う(図4). 各班ごとに持ち時間(5分程度) の中で、制作した作品を全員(教員・TA・受講生)



図3 制作中の作品 (風見鶏風車)

の前で披露し、可能ならばその場で実演してみせる. ただし、水や火などを利用するという理由で教室で の実演が不可能な場合には、動画を用いて披露する ことになる. 作品の完成度は班によりかなり差があ るが、例えば鳥をモデルにした羽ばたき飛行体が見 事に空中を舞った時などには、大きな歓声が上がる.

第12週目は、パワーポイント(PPT)を用いた 成果発表会を行う(図5). ここでは、作品の披露 だけではなく、追求テーマを選定した背景や目的、 得た結論などについて、説明することが求められる. なお各班の発表については、教員・TAだけでなく、 受講生も他の班を採点し、高得点の上位3班につい ては、学科長から表彰状を授与している(図6).

3.5 第13週(作品デモ・成果発表会)

第13週目には、A4用紙2段組2ページの最終論 文と、作品の等角図を全受講生が提出する、この最 終論文のフォーマットは、本学会の講演論文集と同 じものを使用させていただいている.

最終的な各個人の成績は、制作した成果物、成果 発表、毎回の報告書、最終論文の点数を合計して評



図4 第11週:成果デモ(作品の実演と説明)



図5 第12週:成果発表会



図6 第13週:表彰式

価することになる.

4. おわりに

本稿では本学科におけるエンジニアリングデザイ ン教育科目である「ものづくり工学実習」について、 その概要をご紹介させていただいた. なお、本学科 では平成24年度入学生からは新カリキュラムと なっており、エンジニアリングデザイン教育科目は, 学部1年~3年前期までの専門科目で学んだ知識を 生かすことや、卒業研究との接続に配慮し、学部3 年生後期に「知能機械創成実験」として実施する予 定である。本学科は平成23年度に受審したJABEE 認定の継続審査に合格し、引き続きJABEE認定コー スを維持すると共に、エンジニアリングデザイン教 育をより一層推進していく所存である.

1) 大石加奈子:エンジニアリング・ファシリテーション 話し合いをうまくまとめるコミュニケーション・スキ ル, 森北出版, (2011)

解説

JABEEとエンジニアリング教育

著 者 紹 介

もと

東京工業大学 〒152-8552 東京都目黒区大岡山 2-12-1 16-1

1977年東京工業大学助手, 1989年同助教授, 1995年同教授

日本学術会議会員, 日本技術者教育認定機構 業務執行理事, 日本機械学会フェロー, 米国機械学会フェロー, 米国機械学会フェロー, 専門は材料力学, 計算力学,

1. はじめに

エンジニアリング分野では、海外での企業活動は 必須なものとなっており、企業は、良い人材を世界 に求めるようになってきている. 一方で, 高等教 育の質に対する社会の目が厳しくなっている. 大学 は、ふさわしい教育を提供しているのか、それに よって学生が着実に知識・能力を習得しているのか を, 社会に対して適切な方法で示すことが求められ ている. 偏差値の高い大学に行けば質の高い教育が 受けられるといった漠然とした期待感があるが、偏 差値の高さが入学後の教育の質の高さを必ずしも保 証するものではないことは明らかである. 近年, 高 等教育の成果の直接的指標である学習成果、すなわ ち「教員が何を教えたか」ではなく,「学生が何を 学んだか」に注目するトレンドが、世界的に広がっ ている1). さらにグローバル化に伴う学生や教員の 国際的な移動によって、大学教育の国際通用性への 要請が高まっている. 国境を越えて自分に合った大 学を選んで勉学することが世界中で容易になりつつ あることから、大学には国際競争力を持った教育プ ログラムを提供することが求められている.

このような教育のグローバル化の流れの中にあっ て, 我が国の大学は, どこへ向かって進めば良いの であろうか. 以下では、筆者が関係している技術者 教育プログラムの適格認定の現状を述べることで, エンジニアリング教育のグローバル化の議論に資し たい.

2. 日本技術者教育認定機構

高等教育機関における技術者教育プログラム (Engineering Education Program) の認定審査を目 的として、日本技術者教育認定機構(JABEE: Japan Accreditation Board for Engineering Education) が1999年に設立された²⁾. JABEEが目 標としているのは,「大学など高等教育機関で実施 されている技術者教育プログラムが、社会の要求水 準を満たしているかどうかを外部機関が公平に評価 し、要求水準を満たしている教育プログラムを認定 する」ことにある. JABEEはEngineering Education Programに対応するものとして「技術者教育プログ ラム」と呼称している. 工学教育ではなく技術者教 育とすることで,育成する人材像の明確化を意図し ている. JABEEは工学教育とせずに技術者教育とし たことに、こだわりを持っている.

JABEEは、教育プログラムの認定を通じて技術者 教育の質の向上を実現し、その国際同等性を確保す ることを狙いとしている. このようなことから JABEEは2001年6月に南アフリカで開催されたワ シントン協定総会において加盟申請を行った、その 後,準備が順調に進み2005年6月に非英語圏の第 1号として加盟が承認された. 以後, アジアからの 加盟が増加し、当初6団体でスタートしたワシント ン協定の加盟団体は、現在、15団体(米国、カナダ、 英国、オーストラリア、アイルランド、ニュージー ランド,香港,南アフリカ,日本,シンガポール, 韓国、台湾、マレーシア、トルコ、ロシア)に達し ている. さらに、暫定加盟の4団体(ドイツ、イン ド,スリランカ,パキスタン,バングラディッシュ) に加えて、中国が急速に加盟に向けて準備を整えつ つあり、また、タイ、フィリピン、インドネシアな どの国々も認定団体の設立や加盟に向けた準備を進 めつつある. アングロ・アメリカン諸国から始まっ たワシントン協定は, 非英語圏を含む世界の技術者 教育認定団体の相互協定へと拡大している.

JABEEは2011年までに171教育機関の450プログ ラムを認定し、修了生の累計は約17万人に達して

いる. 認定プログラム数の内訳は, 国立大学48%, 公立大学 5%, 私立大学30%, 高専(専攻科) 18 %,大学校1校となっており、分野ごとの認定プロ グラム数の累計は、機械(74)、土木(64)、工学 〔融合複合,新領域〕(54),電気・電子・情報通信 (54), 化学(50) などとなっている³⁾.

3. 技術者に求められる能力とその国際的同等性

JABEEは「技術者」を技術業に携わる専門職業人 と定義し、「技術者」には、技術業に従事する研究 者も含まれているとし、技術業を、「数理科学、自 然科学および人工科学等の知識を駆使し, 社会や環 境に対する影響を予見しながら資源と自然力を経済 的に活用し,人類の利益と安全に貢献するハード ウェア・ソフトウェアの人工物やシステムを設計・ 製造・運用・維持並びにこれらに関する研究を行う 専門職業である、ここで、専門職業とは、社会が必 要としている特定の業務に関して、高度な知識と実 務経験に基づいて専門的なサービスを提供するとと もに、独自の倫理規程に基づいた自律機能を備えて いる職業であり、単なる職業とは区別される.」と 規定している.

国際的な観点からは、技術者教育プログラムの認 定と専門職資格認定の同等性に関するさまざまな協 定を包括的に取り扱っている枠組みとしてIEA (International Engineering Alliance) があり、我が 国からはJABEEと技術士会が参加している. IEAは, JABEEが加盟するワシントン協定を含むエンジニア リング教育認定に関する3協定(ワシントン協定. シドニー協定, ダブリン協定), 専門職資格認定に ついての3枠組によって構成され、高等教育機関に おける教育の質保証・国際的同等性の確保と、専門 職資格の質の確保・国際流動化は同一線上のテーマ であるという観点のもとに運営されている4. 国際 的にみると、技術者はエンジニア(ワシントン協 定)、テクノロジスト(シドニー協定)、テクニシャ ン(ダブリン協定)の3階層に大別され、エンジニ アの資格を取得するには、エンジニア育成の認定さ れた技術者教育プログラムを修了していることが条 件となっている. そのため、我が国への留学生の受 入や技術者の国際的流動性の観点からもJABEEの認 定は不可欠なものとなっているといえる⁵⁾.

IEAが2009年に策定したGraduate Attributes (卒 業生としての知識・能力, http://www.ieagreements. org)⁶⁾ によると,エンジニアの養成は大学での4~ 5年の専門教育を必要とし、複合的なエンジニアリ ング問題を解決する能力を身に付けることが求めら れている. これに対して, テクノロジストは大まか に示された問題を、テクニシャンは明確に示された 問題を解決する能力を求めており、教育年限はエン ジニアの養成よりも短縮されている. ワシントン協 定の各加盟団体は、2019年までにこのGA を模範 にして認定基準の改定を行うことが義務付けられ, Outcomes Based Learning (学生が何を学んだか) の審査という明確な方向が示されており,「複合的 なエンジニアリング問題を解決する能力」の達成水 準の設定、エンジニア教育のより一層の改善が求め られている.

欧州圏では、欧州技術者教育認定ネットワーク (ENAEE) が2006年に発足し、適格認定の基準を共 有するドイツ、フランス、アイルランド、トルコ、 ロシア、ポルトガル、イギリスの7つの技術者教育 認定機関の認定を受けた大学に対して, EUR-ACE適 格認定印を付与するシステムが設けられた. ワシン トン協定とEUR-ACE制度における基準の整合性は高 い7. このことは技術者教育における学習成果に関 する共通理解が、アングロ・サクソン圏、アジア圏、 欧州圏の間でなされていることを意味している.

4. JABEEが求める学習・教育到達目標

JABEEは、2012年度に基準の抜本的な改定を行っ た. 旧基準では、ワシントン協定対応プログラム、 ソウル協定対応プログラム(情報系),修士課程の 3種類の認定種別ごとに個別に基準を定めていたの を,整理し1本化するとともに,認定基準を(1)技術 者教育認定に関わる基本的枠組,(2)共通基準,(3)個 別基準の3種類の文書に整理された、表1と表2に 新旧の基準の構成を示す.新基準ではPDCA (Plan-Do-Check-Act) サイクルについて,「Do」を基準2 に集約させることで基準項目の対応関係がより明確 化されていることと,「学習・教育目標」の名称を 「学習・教育到達目標」に変更して, 「学生に到達さ せるべきもの」であることを示し、アウトカムズ重 視の姿勢がより明確化されている点に特徴がある.

さらに, 学習・教育到達目標の内容を, 国際的同 等性を強化する観点から、IEAが策定したGraduate Attributes を参考に点検し、学習・教育到達目標と して, 表3に示す (a) ~ (i) を含めることを求め ている. 旧基準から、(i) の「チームで仕事をする ための能力」が新たに独立した項目として付け加え られた、また、「学生を将来どのような技術者にす るのか、そのために修了時に何をどの程度身につけ させようとしているのか」を明確化することが求め られており、プログラム側には、しっかりした教育 課程の設計が求められている.

表1 JABEE認定基準(ワシントン協定対応プログラム用 旧基準)

基準1:学習・教育目標の設定と公開(Plan)

基準2:学習・教育の量(Do) 基準3:教育手段(Do)

教育方法、教員組織

入学、学生受け入れ及び移籍の方法

基準4:教育環境・学生支援(Do)

施設、設備

財源、学生への支援体制

基準5:学習・教育目標の達成(Check)

基準6:教育改善(Act) 教育点検、継続的改善

分野別要件

表 2 JABEE認定基準 (共通基準, 2012年版)

基準1:学習・教育到達目標の設定と公開(Plan)

基準 2:教育手段(Do)

教育課程の設計、学習・教育の実施

教育組織、入学、学生受け入れ及び異動の方法

教育環境・学生支援

基準3:学習・教育到達目標の達成 (Check)

基準4:教育改善(Act) 教育点検、継続的改善

表3 学習・教育到達目標にて具体化を求める項目(共通 基準, 2012年版)

- (a) 地球的視点から多面的に物事を考える能力とその素
- (b) 技術が社会や自然に及ぼす影響や効果、及び技術者 が社会に対して負っている責任に関する理解
- (c) 数学及び自然科学に関する知識とそれらを応用する
- (d) 当該分野において必要とされる専門的知識とそれら を応用する能力
- (e) 種々の科学、技術及び情報を活用して社会の要求を 解決するためのデザイン能力
- (f) 論理的な記述力、口頭発表力、討議等のコミュニケー ション能力
- (g) 自主的、継続的に学習する能力
- (h) 与えられた制約の下で計画的に仕事を進め、まとめ る能力
- (i) チームで仕事をするための能力

5. エンジニアリング・デザイン教育

「複合的なエンジニアリング問題について、公衆 の衛生と安全、文化、社会および環境に適切に配慮 しつつ、定められた要件を満たす解決策をデザイン し、かつ、システム、構成要素又は工程をデザイン する」⁶⁾ 能力を身に付けさせるエンジニアリング・ デザイン教育は, エンジニアリング教育の根幹を成 すものといえる. JABEEが2005年にワシントン協 定に加盟した際、ワシントン協定加盟団体による審 査チームから「日本の技術者教育におけるエンジニ アリング・デザイン教育の弱点」が指摘された⁸⁾.

これを受けて、JABEE および関連学協会では、国 際シンポジウムやワークショップなどを開催した. そのなかで、エンジニアリング・デザイン能力につ いて、「実際のデザインにおいては、構想力/課題 設定力/種々の学問,技術の総合応用能力/創造 力/公衆の健康・安全, 文化, 経済, 環境, 倫理等 の観点から問題点を認識する能力、およびこれらの 問題点等から生じる制約条件下で解を見出す能力/ 構想したものを図、文章、式、プログラムなどで表 現する能力/コミュニケーション能力/チームワー クカ/継続的に計画し実施する能力などを総合的に 発揮することが要求され、そのようなデザインの能 力は内容・程度の範囲が広く、デザイン教育は技術 者教育を特徴づけるもっとも重要な要素であり、対 象とする課題はハードウエアでもソフトウエア(シ ステムを含む)でも構わない.」との意見集約を 行った. さらに、エンジニアリング・デザイン教育 への対応の基本方針として,以下の観点を提示して いる.

- 1. デザイン能力に関して具体的な達成目標を設 定しているか.
- 2. 学生がデザインあるいは問題解決策について の学習体験をしているか.
- 3. 学生に以下のような能力を育成できる内容を 含む複合的な課題を提示しているか.
 - (1) 複数のアイデアを提案できる.
 - (2) 大学で学ぶ複数の知識を応用できる.
 - (3) コミュニケーション力ならびにチームワー
 - (4) 創造性(既存の原理や知識を組み合わせて、 新規の概念または物を創り出せる).
 - (5) コスト等の制約条件や評価尺度について考 察できる.
 - (6) 自然や社会への影響(公衆の健康・安全, 文化、経済、環境、倫理等)について考察で

これらを満足するには教育プログラムの立案にお いてさまざまな工夫が求められ、教育プログラムそ のものも答えは一つではないといえる.

6. む す び

高等教育の学習成果への世界的関心が高まるなか で、OECD(経済協力開発機構)による高等教育に おける学習成果アセスメントAHELO(OECD Feasibility Study for the International Assessment of Higher Education Learning Outcomes) が発案さ れた⁹⁾. 大学生がいかなる知識・技能・態度を習得 したのかを、世界共通のテストで測定しようとする

取り組みであり、その実施可能性(フィージビリ ティ)をさぐる試行的な調査が行われた100. AHELOフィージビリティ・スタディは, 「一般的技 能」,「専門分野別技能(工学・経済学)」,「背景情 報」から構成されている. そのうち「工学」には, 日本をはじめとしてアブダビ、オーストラリア、カ ナダ, コロンビア, エジプト, メキシコ, スロバキ アなどが参加した. 我が国においては, 東京工業大 学を中心とする国私立12大学と国立教育政策研究 所の研究者・スタッフから構成される調査研究チー ムで、学習成果アセスメントのあり方についての検 討が先導的大学改革推進委託事業として2009年2 月より実施された. この先導的大学改革推進委託事 業では、欧州、米国、豪州、中国への訪問調査も行 われた. その調査から、各国ともにエンジニアリン グ教育の質の向上に関して多くの努力が払われてい ることが明らかにされた. それは研究重点大学でも 例外ではなかった. 訪問調査を行った米国マサ チューセッツ工科大学, カリフォルニア工科大学, カリフォルニア大学バークレー校の関係者から異口 同音に,「我々にとって教育プログラムの適格認定 は教育の質の改善にとって不可欠であり、我々は ABET (Accreditation Board for Engineering and Technology) の認定の望ましい運用を推進する優 れた見本となる社会的責務がある.」との見解が述 べられた. 世界をリードする大学こそ良い学生を集 め質の高い教育を行うことが使命であると自負して いることに感銘を受けた.

我が国の工学教育の礎は、工学寮の開設に寄与し たヘンリー・ダイアー (Henry Dyer, 1848-1918) によって築かれたとされているが、彼は理論の習得 と実習・演習のバランスを重視した教育を実践し た11). 当時の実習重視型の英国や理論重視型のドイ ツやフランスに例を見ない教育が世界に先駆けて行 われていたことは、我が国はエンジニアリング教育 において、すばらしい伝統を有しているといえる. このような良き伝統を継承し、さらなる高い水準の 教育プログラムを設計し、実践していくことが、今 日のエンジニアリング教育を担う関係者に課せられ た責務といえよう.

参考文献

- 1) 例えば、岸本喜久雄、深堀聡子、学部教育の現状と今後、 機械の研究,61巻, 1 号,p.117, 2010.
- 2) 日本技術者教育認定機構(JABEE)ホームページ, http://www.jabee.org/
- 3) 2011 年度認定審査サマリーレポート, http://www. jabee.org/OpenHomePage/accreditation_o-2012_s.
- 4) 木村孟,技術者教育の質保証に向けたJABEEの取り組 みとその意義,情報処理,53巻,7号,p.661,2012.
- 5) 長島昭, 大学の国際化と技術者教育認定, 大学時報, No.332, p.31, 2010
- 6) 文部科学省 平成22, 23年度先導的大学改革推進委託事 業「技術者教育に関する分野別の到達目標の設定に関 する調査研究報告書」http://hneng.ta.chiba-u.jp:8080/, 2012.
- 7) 例えば、深堀聡子、学習成果の評価―工学分野の取り 組みを例に考える一, 比治山高等教育研究, 第4号, p.892, 2011.
- 8) 日本技術者教育認定機構, JABEEにおけるエンジニア リング・デザイン教育への対応 基本方針, http:// www.jabee.org/OpenHomePage/accreditation_o-2012_ k.htm#ede. 2010.
- 9) OECD, Testing student and university performance globally: OECD's AHELO, http://www.oecd.org/ education/highereducationandadultlearning/testingstu dentanduniversityperformancegloballyoecdsahelo.htm
- 10) 岸本喜久雄, 工学系教育の国際化, IDE-現代の高等教育, Vol.540, 2012.
- 11) Nature, "Engineering Education in Japan," No. 394, Vol. 16, 1877.

(原稿受付:2012年10月9日)

解説

カーネギーメロン大学におけるものづくり教育

著 者 紹 介



越 行

東京工業大学 大学院理工学研究科 〒152-8552 東京都目黒区大岡山2-12-1 E-mail: htsuka@cm.ctrl.titech.ac.jp

1998年東京工業大学大学院理工学研究科博士程修了. 同大学助手を経て, 2005年同大学大 課程修了 学院准教授、現在に至る。ロボット工学、流体アクチュエータ、レスキューロボットなどの研究に従事。日本フルードパワーシステム学会、 日本機械学会などの会員. 博士 (工学).

1. はじめに

所属大学のサバティカル制度により、H23年8月 ~H24年1月までの5カ月間,筆者は米国ペンシ ルバニア州ピッツバーグに位置するカーネギーメロ ン大学(CMU)に滞在する機会をいただいた(図 1). 海外で生活する機会は初めてであったが、数 日間の短期旅行だけでは味わい難い貴重な体験を研 究面・生活面双方においてさせていただいた. 紙面 の都合もあるため、体験記については略記し、本稿 では主に同大学の(プロジェクトと称すべき?)も のづくり教育について筆者が個人的に興味を抱いた 内容を紹介させていただく.

2. CMUの紹介

鉄鋼王アンドリュー・カーネギ―により1900年 に技術学校として設立された同大学は、工科系と芸 術系の研究教育を柱に、全米でも高く評価される大 学の1つに成長したようである. 中でも計算機科学 は全米1位の評価を得ているほか,新進気鋭の口 ボット工学研究者を集めて設立されたRobotics Institute (以下, RIと略す) は、オバマ大統領も視 察に訪れた経緯もあるとされる全米きってのロボッ ト研究拠点として、活発な研究活動を展開している.

筆者は、そのなかの1つに所属するNano Robotics のラボに滞在し、バクテリアの推進機構 やヤモリの足の吸着機構などを研究するチームに参 加した. また、上記RIでは、大学の内外を問わず著



図1 CMUのキャンパス



Howie Choset らのグループが開発した管内を移動 するヘビ型ロボット

名な研究者を招待して、ロボット研究の最新成果に 関するセミナーが週1回のペースで毎週開催され, 世界の動向を知るうえでも貴重な機会に接すること ができた.さらに、折に触れてRI内のさまざまな研 究室にも潜入させていただき(図2), 研究室の雰 囲気や教授陣の人柄を肌で感じることもできた.

いくつか足を運んだ研究室のうち、とりわけ興味 を惹くグループがあった. 米国政府の国策に絡む大 規模コンペティションに大学チームとして参戦し, 学生と協力企業との双方をまとめあげながら数々の プロジェクトを成功に導いてきた研究室である.本 稿では,当該グループの関与した2つの事例を紹介 することとする.

3. ロボットカーレース

2007年11月カリフォルニアの空軍基地跡におい て、米国国防総省高等研究計画局(DARPA)の主 催によるロボットカーレース (Urban Challenge) が開催された.一般道路で使用される乗用車に多数 のセンサーやパソコンを搭載したロボットカーが. 自律制御されながら無人運転によりゴールまでのタ イムを競うというレースであった. 市街地を想定し て用意された約100kmの距離を6時間以内に走行し、 そのうえカリフォルニア州の交通ルールに遵守した 運転が義務づけられていた. さらに、白線・ストッ プサイン・信号の自動認識、他車との車間距離や交 差点での優先順位の判断に加え、事前のマップ情報 に掲載されていない道路封鎖に直面した場合の迂回 など、無人運転としてはいずれも高度なミッション が要求された.

そもそも、このようなレースをDARPAが開催す る背景には、戦場の「退屈で、汚く、危険な」任務 を機械で行うことにより、兵士を守り、貴重な人的 資源の有効活用が図れる、という国防省の考え方が 根底に存在するためとされる. 具体的には,「2015 年までに、地上戦闘車両の3分の1を無人化できる ように、無人で遠隔操作できる技術を開発すべき.」 という議会命令を達成するために、このレースが開

レースには世界中から80を超えるチームが参加 を表明し、さまざまなレギュレーションをクリアし た11チームだけが最終レースに参戦した、そして、 このレースで優勝を決めたのがCMUのチームで あった. ロボットカーの平均速度は毎時14マイル (22.5km)で、2位のスタンフォード大学のチーム に20分近くの差をつけて最短時間で完走し、賞金 200万ドルを勝ちとった. CMUのロボットカーに は、GPS・レーダー・2Dスキャナー・カメラなど が搭載され、これらの取得データをパソコン10台 で処理することにより、安定な無人運転を達成した.

このCMUのチームをまとめたのが、RIのField Robotics Centerでディレクターを務めるProf. William Red Whittakerである(図3). Whittakerは, 1979年に起きたスリーマイル島原子力発電所事故 において、放射能漏れを起こした原発内に世界で初 めて探査ロボットを進入させ、遠隔操作による情報 収集を行った人物である. 筆者らの訪問の際に、そ の当時導入したロボットについて興奮気味に説明し ていただいたが、原発内のロボットから送られた情 報を説明する場面では、筆者らの写真撮影やメモを 一切禁じて, 声を潜めながら紹介されていたのが印



原発事故現場に導入されたロボットを筆者らに説明 するProf. Whittaker



アラスカの活火山の火口に入るCMUで開発された歩 図 4 行ロボット: Dante II 1)



図5 CMUのロボットカー:Boss²⁾

象的であった. 原発探査以外にも, 活火山の火口を 登るロボット1)(図4)や南極の氷原に落ちた隕石 を探すロボットなど、フィールドロボットにおける 数々の新領域を開拓してきた.

これらの手腕がカーレースでも遺憾なく発揮され、 GMやタイヤメーカーなどと提携しながら、博士課 程を主体とする参加学生に画像処理・自立走行ソフ トなど各々異なるミッションを担わせ、最終的に レースの優勝杯を勝ち獲った(図5). Whittakerに

レースの勝因を訊ねると,「参加者全員に,プロ ジェクトの方向づけを簡単明瞭な言葉で示した. 我々はロボットの移動スピードを意識し、すべての 設計をそれに向けて最適化させた. 」と語っていた.

4. 月探査レース

Whittakerらの探査レースへの挑戦は、筆者らの 訪問時にもなお続いていた. Google Lunar X Prize (GLXP) と称されるGoogleがスポンサーとなった 民間による月面無人探査を競うコンテストへの参戦 である3). 2015年末日までに純民間開発の無人探 査機を月面に着陸させ、着地点から500m以上走行 したうえで, 画像やデータなどを地球に送信する ミッションを最初に達成したチームに、2000万ド ルの賞金が与えられる、というなんともスケールの でかい話である.

参加26チームの中で技術的に先頭を走っている と評される4)のが、Whittakerらの開発した探査ロ ボット "Red Rover" である (図 6). 自らが設立 したベンチャー企業「アストロボティック・テクノ ロジー」が中心となって技術面・資金面においてプ ロジェクトをリードする傍ら, CMUの学内受講者 向けの授業として "Advanced Mobile Robot Development"を開講し、学科や学年を問わずプロ ジェクトの参加者を幅広く募っていた. 受講学生が 担う役割の一例としては、月面の昼夜の気温差に耐 えうるリチウムイオンバッテリーの開発などに携わ らせているようである. また, 以前のカーレースに も参加していた学生の1人は、GPSの代わりに星や 地球の位置を観測しながらロボットの自己位置を推 定するプログラムにより、カーレースで使用してい た自律走行用の制御ソフトを月面探査用にもそのま ま流用できるものと見込んでいるようである. 目下 最大の課題は、月面までの到達費用として要する 5,400万ドルの資金をどのように確保するかという ことらしい.

このようなプロジェクトへの参戦の意義を Whittakerはつぎのように語っていた. 「ロボットが 未だ到達できていない領域は無数にある. 未開の領 域には未知の課題が潜んでいる. それらを1つ1つ 解決していく過程で、ロボット技術の新たなイノ ベーションが無数に生じる. |

5. おわりに

米国の大学で行われたものづくり教育の一端とし て, 大規模レースに参戦する研究グループの活動を 紹介した. 彼らのチャレンジングスピリットには目 を見張るものがあった.参加していた教員や学生は 子供のように興奮し、プロジェクトを通じてものづ くりの感動を味わっているように見受けられた. 新 規性や意義とは異なる次元から研究をみつめ、興奮 度の高いプロジェクトに参加しながら感性を磨くこ とも、ときには必要な要素かもしれない.



CMUの開発した月面探査用の4輪走行型ロボット: 図6 Red Rover⁵

参考文献

- 1) John Bares and David Wettergreen: Dante II: Technical Description, Results and Lessons Learned, International Journal of Robotics Research, Vol. 18, No. 7, July, p. 621-649 (1999)
- 2) http://www.tartanracing.org/
- 3) http://www.googlelunarxprize.org/
- 4) 日経サイエンス 10月号 (2012)
- 5) http://astrobotic.net/rovers/rover/

(原稿受付:2012年11月12日)

解説

国際デザインコンテスト(IDCロボコン)2012

者 紹 介



北 毅

東京工業大学機械制御システム専攻 〒152-8522 東京都目黒区大岡山 2-12-1 E-mail: yamakita@ctrl.titech.ac.jp

1989年東京工業大学制御工学専攻修了. 199 年より東京工業大学制御システム工学科助教授 現在同大学大学院機械制御システム事攻准教授 ロボット工学,適応学習制御 非線形口パフト 制御などの研究に従事. 博士 (工学)

1. はじめに

第23回大会となるIDC2012は2012年8月6日か ら8月18日かけて日本の東京電機大学の千住新 キャンパスで行われた.参加したのは8カ国で、日 本、中国、アメリカ、フランス、ブラジル、韓国、 タイ、シンガポール(モロッコも参加予定であった が、ビザの取得の問題で不参加)から60名の学生 が参加した. IDC2012の概要と大会の様子を日本 からの参加学生の参戦記を交えて報告する.

2. IDCの概要

国際ロボットコンテスト(IDCロボコン)は 1990年に東工大とMITの 2 校によって始められた ロボットコンテストである. このロボコンのもっと もユニークな点は、これらの参加者が国別に対戦を するのではなく, 各国の学生がシャッフルされて, 国籍の異なる4~5人からなるグループをつくり, そのグループでロボットを設計・製作しコンテスト を行う点である. また, 多くの他のロボコンと異な り、毎年違うテーマが与えられる。さらに、基本的 に与えられた材料だけでロボットを作製しなければ ならない、そして、この大会ではコンテストの勝敗 よりもマシンを設計・実現する際のアイデアが高く 評価されることも大きな特徴である.

3. 今年のコンテスト・テーマ内容

ゲームのテーマは "Haiku Master:俳句の達人" で、大会会場の東京電機大学のキャンパスが千住地

区にあり、千住の地が俳聖松尾芭蕉の「奥の細道」 の最初の宿場町であったところからきている. コン テストフィールドは図1のようなっている. フィー ルドは奥の細道のルートの一部を模したものになっ ており、中央の千住エリアとそれを取り巻く日光街 道エリアとそれを橋渡しする千住大橋からなり、後 方には得点盤である短冊エリアがある. 千住エリア と日光街道エリアの間は川のエリアとなっており、 他よりも低くなっている. 千住大橋は可動式で, 試 合開始後30秒すると橋がかかるようになっている. それぞれのエリアは左右に青と赤のゾーンに分かれ ている. 千住エリアには銀色の芭蕉ボールが中央に 1つ、青と赤のゾーンにゴールデンボールが3個置 かれており、日光街道エリアにはそれぞれのゾーン に18個のコーナー色のオブジェクトが置かれてい る. (ボール,オブジェクトにはマジックテープが 貼られており、短冊エリアにくっつくようになって いる) それぞれの短冊エリアは縦に3つ、横に3つ の領域に分かれており、縦はそれぞれ俳句の五七五 のフレーズの入る場所となっており、横は1点、2 点, 5点のエリアとなっている(図1参照).

ゲームは1試合90秒の対抗戦で、俳句のフレー ズに見立てたオブジェクトを、できるだけ多く、高 い位置の五七五のエリアに1つずつ入る位置に横に 並べると高い得点が得られる. たとえば、5点の行 の五七五の領域に1ずつ自分のコーナー色のオブ ジェクトをくっつけると5点の得点になる. 銀色の 芭蕉ボールは特別で、そのボールをくっつけたチー ムの得点が倍になる. また, ゴールデンボールで, 2点以上の俳句を完成させると一発勝ちになる.

学生たちの使った戦略は大きく分けてつぎの3つ であった.

(1) 千住大橋を利用するもの

千住大橋が出てくるまでにゴールデンボールを 拾っておき、千住大橋ができたら日光街道をわ たって短冊につける

(2) 川に自前の橋をつくるもの

一台のマシンを川のエリアに進入させ,ロボッ ト自身を橋として利用して、もう一方のマシンが

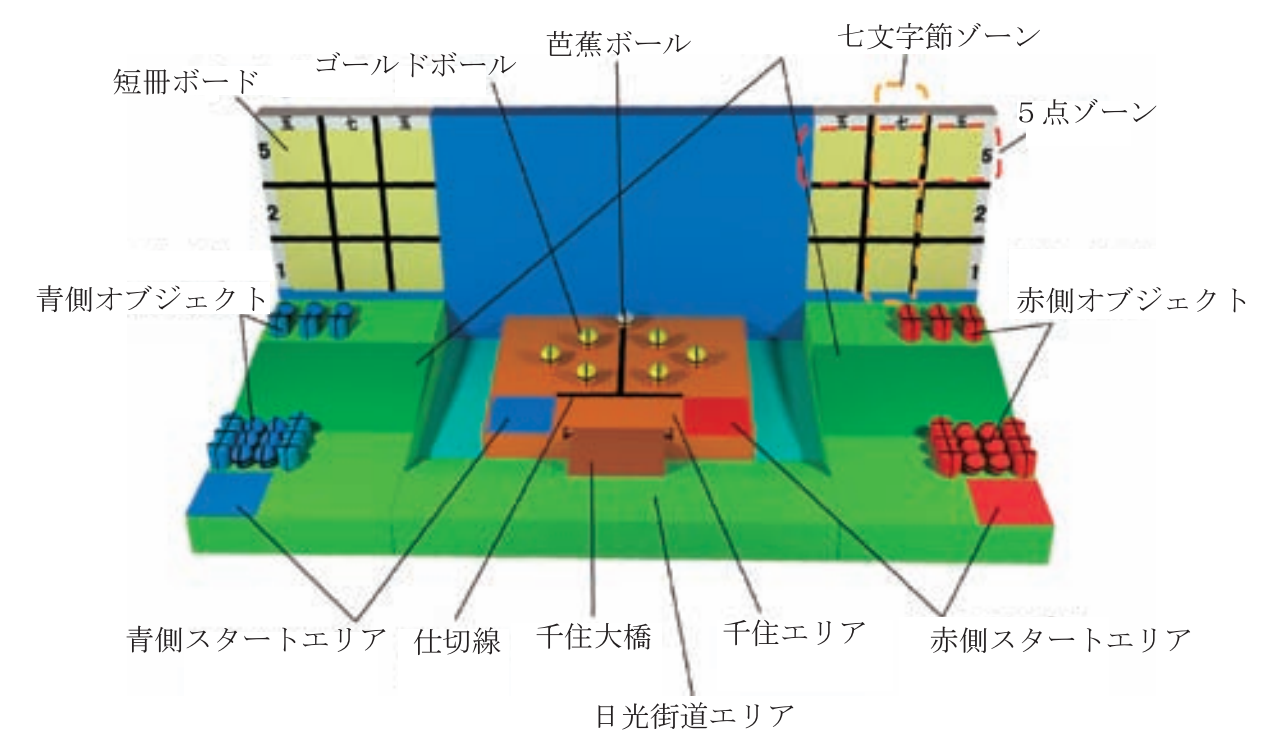


図1 コンテストフィールド構成

千住エリアに渡る

(3) ゴールデンボールをシュートするもの 千住エリアのゴールデンボールをひろって、そ こから直接短冊パネルにシュートして一発勝ちを 狙う.

この戦略にたいして、それを阻止することを主戦 法とするものとして、a)身軽なロボットで、すば やく相手の重要な位置に陣取ってじゃまをするもの、 b) 一発勝ちを阻止するために、相手のゴールデン ボールを川に落としてしまうもの、があった、

4. コンテストの結果

コンテストの結果は以下のようになった.

優勝:グリーンチーム 準優勝:ブラウンチーム

アイデア賞:スカイブルーチーム

グリーンチームは、重量のあるバッテリやコント ロールボックスをスタートエリアに置いたまま、長 いコードを引っ張って a) の戦略を用いて優勝した. ブラウンチームは(3)の作戦でもう少しのところで優 勝というところまでいったが、決勝戦ではうまく ゴールデンボールを集めることができなかった.ア イデア賞のスカイブルーチームはb)の戦略を採用 して会場を沸かせた.

5. IDC2012参戦記

IDC2012に参加した制御システム工学科2年生 6人の内2名の参戦記を以下に掲載する.



図2 優勝した瞬間のグリーンチーム

◆ピンクチーム 藤田哲平

IDCロボコンに参加してまず感じたことは、自分 が今までやってきた英語はまったく使い物にならな いということでした。初日のアイディアディスカッ ションではまったく意見をいうことができず、気付 いた時にはチームの方向性が決まっていました. そ の後も英語でのコミュニケーションには常に苦しみ ました. ただ, それでも2,3日で聞き取りはかな りできるようになり、こちらの意見も身振り手振り で何とか伝わるくらいにはなりました. また, アイ ディアそのものやそれを実現させる技術に関しては 外国の学生に劣るものではなく、むしろ日本人がそ ういった面でチームを引っ張れていると感じました. 自分の意見を伝えられるようになってからは、アイ

ディアがどんどん採用されるようになり、世界でも 通用しているという実感を持つことができました.

このIDCロボコンで自分に足りない部分と、自分 の持つものでも十分戦える部分がわかったことは大 きな収穫であったと思います. このことは自分に とって自信になったし、その後の勉強のモチベー ションにもつながりました.

国際交流という意味でも、普通に生活していれば 知り合うことのないような外国の学生たちと交流す ることができ、よかったと思います、外国の有名大 学の学生と対等にディスカッションし、一緒にご飯 を食べ、雑談で笑いあえたことは、とても貴重な体 験でした. 最初は自分の実力不足が不安で参加を 迷っていましたが、思い切って参加を決めて本当に よかったと思います.



図3 ピンクチームのメンバー

◆パープルチーム ファンゾァンフク

私は2012年のIDCに参加しました. 8月の5日 から18日まで外国人と生活したりロボットを作っ たりすることは本当にいい経験になりました. チー ムの中で、日本の代表者は2人(自身はベトナムか らの留学生で東工大代表)、フランス人1人、中国 人1人と韓国人1人です.

最初に、ロボットの設計を決めました. 皆はいろ んな意見を出して、いっぱい良い意見が出ました. しかし、誰の意見が一番よいかということを決めに くくなりました. そのとき, 皆で一緒に協力し, 一 番良い意見に決定しました. このことは一番難しい と思いますが皆は良くできました. その後は皆と工 作しながらロボットのアイデアを改善して、ロボッ トの設計はだんだんできました。 時々, ロボットの 設計が良くなくて、設計をもう一度変えなければだ めでした. うまく変えられるか、皆はとても心配し ました. そのとき, 私は大変だと感じましたが, 経 験したら非常にいい体験になりました. 将来, 成功 だけでなく失敗も経験するので、失敗しても冷静に 修正することは、自分で訓練しなければならないと 思いました.

ロボットを一緒に作っただけでなく、チームは昼 ご飯も一緒に食べていました. ロボット以外の話を いっぱい聞いて、他の国の習慣や言語など勉強にな りました.

IDC2012に参加して、いろんなことがわかって 来ました。チームで仕事するときに、リーダーシッ プは一番大事なことです. リーダーは皆の意見をま とめるので、能力や知識が必要です。 今回私がリー ダーでしたが、ロボットの知識は十分良くなかった ので、チームの結果は良くありませんでした. しか し、結果が大切ではなく、皆で楽しく一緒に生活し たり、協力してロボットをつくったりすることが大 事だと思います、そのことは、私のチームは良くで きました. IDC2012は本当にすばらしかったです.



図4 パープルチームのメンバー

6. おわりに

ことしのテーマは俳句ということで、せっかくの 機会なので、海外から来た学生にも俳句という文化 に少しでも親しんでもらおうと、「夏休み」「ひまわ り」「夏の空」を季語として各チームに一句ずつ 作ってもらった. その中からベストに選ばれたのが グリーンチームのつぎの句であった.

ひまわりが 広がるように つながる輪

Made new connection. Just like how sunflowers bloom, Circle of friends grew.

コンテスト開催の時期は難しい国際問題が顕在化 していたが、コンテスト参加者には俳句のような友 情の輪が大きく広がっていたように感じられた. IDCロボコンを通じて、科学技術の振興を促進する

だけではなく、参加国間の友好の輪を広げていけた らと思っている.

今年以後の開催地は以下のようになっている.

2013年 サンパウロ サンパウロ大

2014年 パリ イオニス工科大学

2015年 シンガポール シンガポール技術・デ ザイン大学

複数の国から集まった学生が、国籍を超えた混成 チームによるマシンデザインを行うIDCロボコンと いう、非常にユニークな派遣型プロジェクトによる 学生の貴重な経験の場を、今後も維持していきたい と思っている. この経験がエンジニアとして, 国際 人として、学生を大きく成長させるきっかけになる ものと期待している.

IDCの開催に当たっては、一般社団法人日本フ ルードパワーシステム学会、社団法人日本フルード パワー工業会をはじめ、多くの関係企業からご支援 をいただいた. 最後に、皆さまにこの場を借りて御 礼申し上げるとともに、今後のご支援をお願いする 次第である.

詳細なルールや協賛いただいた機関は下記Web サイトでご覧いただけます。ぜひご覧になってくだ さい.

http://www.idc-robocon.org/

(原稿受付:2012年10月10日)

学会誌「フルードパワーシステム」フォーマット変更のお知らせ

編集委員会委員長 吉田 和弘

編集委員会では、会員に情報を提供するとともに学会の …・本文の文字フォントを変更しました. 広報活動にも役立つ、内容が充実し読みたくなる学会誌の 実現を目指しています、このたび、学会誌充実の一歩とし て、フォーマットの変更を行うことにいたしました。主な 変更点は以下のとおりです.

- ・各記事において、所属の情報を含めた著者紹介を最初の ページに、原稿受付日を最後のページに掲載すること とし、記事題目における著者名および脚注を削除しま
- ・記事題目、章・節の表題、記事分類のデザイン、文字 フォントおよびサイズを変更しました.

- ・図の表題および参考文献の文字フォントおよびサイズを 変更しました.
- ・行間隔を±10%程度調整できるようにしました.
- ・和文目次を2ページとしデザインを変更しました.
- ・会告記事のデザインを変更し、各記事の後に配置するよ うにしました.

今後も、学会誌のさらなる充実を目指して編集委員一同 努力してまいりますので、よろしくお願いいたします. ご 意見、ご要望をお待ちしております.

解説

PBLを志向した設計製図教育「EV-Mileage」

者紹介



藤 佐

横浜国立大学大学院工学研究院 〒240-8501 横浜市保土ヶ谷区常盤台79-5 E-mail: yasukazu@ynu.ac.jp

1994年横浜国立大学大学院博士課程修了. 同 年横浜国立大学講師。1998年同助教授、現在、 同教授、メカトロニクス、電気・流体・機械系 の動力伝達と制御の研究に従事、日本フルード パワーシステム学会, 日本機械学会, 自動車技術会などの会員. 博士 (工学)

1. はじめに

横浜国立大学工学部生産工学科*では、1年次か ら3年次で習得する専門科目の体験的な理解と、学 生の創造的能力の育成を目的に,「EV-Mileage」と 題した一人乗りEV(電気駆動車両)の企画、設計、 製作,および走行競技会による製作したEVの評価 (図1, 図2) を実施している. EV-MileageはEVの 航続距離という意味であるが、当学科では、EVの 企画から評価に至る一連のものづくり教育の総称と して用いている.

当学科の学生は、1,2年次は機械工学、材料工 学の共通的な基礎教育を受け、3年次からは機械系 3コース (機械プロセス, 熱流体, 機械システムの 各コース)と材料系1コース(材料設計コース)か らなる4コースのいずれかに属して、所属コースの より専門的な教育を受ける. この機械系3コースの 学生には、3年次に応用機械設計製図という設計製 図教育の必修科目が課されており、それまでに習得 したいわゆる四力学(材料力学,熱力学,流体力学, 機械力学), 自動制御, 機械設計, 製図などの機械 工学に関わる知識をものづくりに結び付ける設計課 題に取り組む. EV-Mileageはこの「応用機械設計



図1 EV-Mileage 走行競技会の様子(その1)



図 2 EV-Mileage 走行競技会の様子(その 2)

製図」の一環として実施されているもので、当授業 の通常の設計課題が流体機械や内燃機関などを題材 とし、設計計算書の作成につづく図面の作成で完結 して単位が与えられるのに対し、EV-Mileageでは、 さらに設計、製図にもとづいて学生自らが一人乗り EVを製作し、その出来栄え(性能)を走行競技会 で競う. EV-Mileageの走行競技会は, 毎年, 夏休 みの終了間近の9月下旬に実施され、今年度で15 年目を迎えた.以下, EV-Mileageの背景, 概要, 教 育効果を紹介したい.

^{*2011}年度より理工学部機械工学・材料系学科に改組. 今 年度のEV-Mileage参加者は、改組前の工学部生産工学科3 年生であるため、本稿では改組前の学科名称を使用してい

2. ものづくり教育におけるEV-Mileageの 位置づけ

2.1 EV-Mileage実施の背景

EV-Mileageは、1997年度に前述の応用機械設計 製図の一部として開設された、その目的は、従来の 設計製図科目の履修目標に加えて, 下記の体験を通 して、総合的に機械工学を活用する実践力を身につ けることである.

- (1) 座学や机上の作業で完結せず、学生自らが手を 動かして設計対象の製作までを行うことで、それ までに習得した機械工学の基礎を駆使することを 体得する.
- (2) 設計,製作に関わる課題,問題をどのようなア プローチでどのように解決するかを学生自身が考 え、実行する.
- (3) 限られた期間の中での資材調達や設計・製作計 画の遂行能力を養う.
- (4) 課題に対してチームで取り組むことで、チーム ワークやマネジメント力を養う.

これらはPBL (Problem-based learning, Projectbased learning) を志向した創造性教育の主要素と なっている. また、学生自らが課題や問題点を見つ けて解決することが重要と考え、授業でありながら 教員は"教えない"という立場を取ることも、この 教育の特徴である.

EV-Mileageは、応用機械設計製図の履修者約100 人の中から、20名を上限とした希望参加制として いる. これは. 車両製作や走行競技会における安全 確保による制約、教員、ティーチングアシスタント (大学院生)等のスタッフの人的制約, および車両 製作費用に充てる予算制約による. 実際の希望者も 毎回20名程度で、これまでに人数制限により参加 できなかった希望者は出ていない. うまく人数バラ ンスがとれている理由としては、学生にとってEV-Mileageは車両製作と走行競技会で夏休みがほとん ど潰れる負荷の大きい内容であること、当授業とは 別に、夏休み中の企業インターンシップなど、他の 選択肢もあることなどが考えられる.

2.2 EV-Mileageのレギュレーション

車両の安全と公平性の確保のため、車両の設計製 作に関わるルール,すなわちレギュレーションを設 けてあり、これに従った車両を設計製作することを 課している. 表1にレギュレーションの抜粋を示す.

学生の創造的能力の育成が主目的であるから,安 全が確保されることは大前提であるが、設計の自由 度や、車両に盛り込むアイデアを抑制することがな いよう,一般のエコランなどのMileageレースと

EV-Mileage ルール、レギュレーション

走行競技

あらかじめ供与されたバッテリ(定格12V, 7.2Ah)を4 個用いて、周回約1kmの学内コースを2時間走行し、2 時間以降にゴール位置を通過するまでの周回数と所要時 間によって順位を決める.

下記の条件を満足するものとする(抜粋)

1) 一人乗り形式, 2) 乗降が容易なこと, 3) 4輪,ま たは3輪車両であること、4)車両サイズは長さ3m、幅 1.2m, 高さ1.6m以内であること. (他にも, ブレーキ性能, 後方視界等の車検項目に関するレギュレーションがある)

チーム編成

原則4名/チームで、最大5チーム、チーム内で、リーダ、 ドライバ, 車体構造, 操舵系, 懸架系, 駆動系, 電装系 (電力マネジメント)の設計担当をおく.

費 用

1チーム(1台)あたり基準費用20万円. ただし, 共通 仕様のモータ, コントローラ, バッテリ, 充電器, 車輪 のハブは大学から支給し、基準費用外とする.

> 製作場所 学内機械工場

ドキュメンテーション (設計計算書, 図面など), 走行競 技会における周回数順位、設計製作に掛るプレゼンテ・ ション, 車両製作コストを総合して評価する.

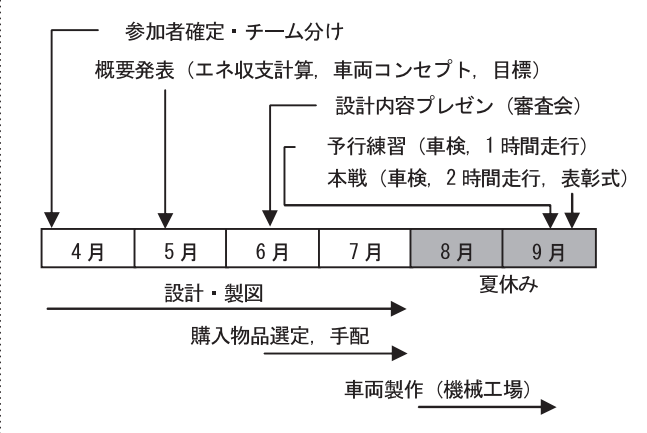


図3 EV-Mileage スケジュール

違って事細かい明文化されたレギュレーションは設 けていない. これにより、チームごとにレギュレー ションを満たし、かつ、個性的、独創的な車両が設 計製作されることを狙っている. また, 車両の安全 性に問題があると判明した場合は、設計や製作の過 程で教員スタッフが改善を指導する体制をとってい る.

2.3 スケジュール

図3にEV-Mileageのスケジュールを示す. この 授業は3年次春学期(4月~9月)に実施される. 4月初めにEV-Mileage参加者を確定し、チーム分

けを行う. その後, 車両のコンセプトの検討から スタートし、設計および製図を進めていく、7月ま でに設計,製図と,並行して購入物品の選定と購入 手配の準備を行う. この間, 5月中旬には各チーム が概要発表を行い、エネルギー収支計算結果、車両 コンセプト,目標周回数などを報告する.6月中旬 には、より詳しい設計内容のプレゼンを行い、審査 会形式で教員が確認する. 7月末までに審査会での 指摘などを踏まえて設計,製図を完了し,購入物品 の発注も進める. 8月から夏休みで、8月初めに本 学機械工場で安全講習を受講した後、約1.5ヵ月の 車両製作期間に入る. 図4に本学機械工場での車両 製作の様子を示す. 9月下旬にEV-Mileage走行競 技会の本戦が実施されるが、その1週間前に本戦と 同じ車検と走行時間を半分の1時間に短縮した予行 練習を行い、各チームは、ここで明らかになった不 備を修復して,本戦に臨む.

3. EV-Mileageの教育効果

3.1 課題は何か?

EV-Mileage本戦で勝てるEVは、周回の途中でピッ トインや修理で止まることなく、効率よくバッテリ のエネルギーを消費し、2時間の走行で余すことな く使いきる車ということである. その様なEVの設 計, 製作には多様なアプローチが考えられ, 正解は 一つではない. 学生は、これまで正解のない課題に 取り組む経験があまりないため、最初に悩むことは, EV-Mileageの課題は何か?である.「レギュレー ションを満たして、EV-Mileage本戦で勝てるEVを 設計製作すること」という表向きの課題は提示され ているが、その下にどのような課題があるのかを見 つけるのに悩み、見つかった課題を具体的にどのよ うにして解決していけばよいかに、また迷う. たと えば, 走行を考えた場合, モータと駆動輪間の動力 伝達方式をどうするかという課題に直面し, 各方式 の特徴を踏まえて、自分で、またはチームで相談し て採用方式を判断する. チェーン伝動を採用すると なれば, つぎにスプロケットの歯数比や各歯数をい くつにするか、どういう手順で計算するかに悩む. そのうちに、他のチームでもチェーン伝動採用の情 報が入り、チームの特色を出すために歯車伝動では どうか、という欲が出たりしてまた悩む、等々、こ れらは、自ら課題を見つけ、ある期間で解決して判 断を下すという能力の育成には、非常によいトレー ニングになると考えられる. ティーチングアシスタ ントには、学部でEV-Mileageを経験したノウハウ をもった大学院生を主に採用しているので、学生が 悩み続けていつまでも決まらないというケースには、



図4 車両製作の様子

ティーチングアシスタントの「答えは教えないが解 決のきっかけとなるアドバイス」が有効に働く.

3.2 学生から見たEV-Mileage

本学の全授業に対して実施される学生による授業 評価アンケートや, EV-Mileage走行競技会後の表 彰式での学生からの感想によると、学生から見た EV-Mileageは下記のようであり、

- ・はじめのうちは何をしたらよいのかわからない.
- ・EVの構想が固まってくるにしたがって、次々に やるべきことが増えてきた.
- ・作業内容によって、チーム内での分担がうまく いったところと, 負担が偏ったところがあった.
- ・設計製図をしっかりやっておかないと、その成果 が製作段階になって役に立たないことがわかった.
- ・実際に自分が製作作業をしてみて、図面上の精度 を実現するのが難しいことがわかった.
- ・物品調達、コスト管理など、普段の授業にはない 体験ができた.
- ・座学で学んだことを実践に移す設計製作の一連の 流れを体験でき、有意義だった.
- ・とても苦労したが、チームで製作したEVが完成し、 走り出したとき,感動した.

など、EV-Mileageによる教育の狙いとおおむね合 致した学生の反応であった.

4. おわりに

EV-Mileageという一連のPBL型設計製図教育を紹 介した. 2009年度からは、首都大学東京でもEV-Mileageを実施し、同様のスケジュールで設計製作 したEVで本学の走行競技会に参戦しており、大学 間で連携したものづくり教育の形も確立してきてい る. 今後も, EV-Mileageの内容を少しずつ見直し ながら, 学生にものづくりの充実感と感動を与えら れる教育を検討していきたい.

(原稿受付:2012年10月12日)

解説

東北大学機械系大学院教育改革プログラム 「機械工学フロンティア創成」

著 者 紹 介 田 和 哉 百 東北大学 大学院工学研究科 〒980-8579 仙台市青葉区荒巻字青葉 6-6-1 E-mail: yoshida@astro.mech.tohoku.ac.jp

「986年東京工業大学修士課程終了、同大学助手、東北大学助教授を経て、2003年東北大学大学院工学研究科教授、現在に至る、宇宙ロボッ 子成エ子が九将教技,既任に主る。 デヨロホットの力学と制御の研究を中心に,小惑星探査機「はやぶさ」,小型人工衛星「雷神」,原発対応ロ 「はやぶさ」,小型人工衛星「雷神」,原 ボット「クインス」の開発などに従事.

1. はじめに

東北大学機械系(機械システムデザイン工学専攻、 ナノメカニクス専攻, 航空宇宙工学専攻, バイオロ ボティクス専攻,情報科学研究科の一部,および医 工学研究科の一部)では、2007年度より「機械工 学フロンティア創成」と名づけた新しい大学院教育 プログラムを実施している. 文部科学省・大学院教 育改革支援プログラムに採択(平成19年度~21年 度) されたこの取り組みの背景には、資源に乏しい わが国を人材立国として発展させ、国際競争力に秀 でた人材、リーダーシップのとれる即戦力を育成す る、という教育施策・目的がある、本プログラムで は、このような時代の要請に対する答えとなること を目指して、大学院にて新しい教育への試みを実践 している.

「機械工学フロンティア創成」プログラムの大き な柱として「機械工学フロンティア」と名づける新 しい授業科目を開設した. これは修士(博士前期) 課程の1年生を対象に、修士研究の導入となるよう なミニ・プロジェクトを第1学期に実施するもので あり、最初に明確な達成目標を定め、3~5名程度 でチームを組み、メンバー間で作業を分担・協力し、 半年間という限られた時間で結果を出すことが求め られる目的達成型の研修を行う. 研修のテーマは, 「航空宇宙」「ロボティクス」「ナノテクノロジー」 「バイオ」や「医工学」など、機械工学の基礎から 先端的な応用に至るまで幅広い分野をカバーする. 入学直後のフレッシュな大学院生がそれぞれ希望す

るテーマに分かれて、実践的な研修活動を実施する. 本稿では、「機械工学フロンティア」において実 施している「ものづくりプロジェクト」を中心とす る新しい大学院教育について、概要を紹介する.

2. プログラムの概要

「機械工学フロンティア創成」プログラムの大学 院履修モデルを図1に示す.この中で,「機械工学 フロンティア」は本プログラムを特徴づける新規授 業科目であり、博士前期(修士)課程の1学期に開 講した. 平成19年度50名, 平成20年度131名, 平 成21年度118名の学生が受講した. 文科省からの 補助金終了後の平成22年度以降も,毎年80名前後 の学生が受講している.

同授業科目では、学生が「ものづくり」を主体と したプロジェクト研修を行う. 研修実施のスケ ジュールを図2に示す.



「機械工学フロンティア創成」の履修モデル

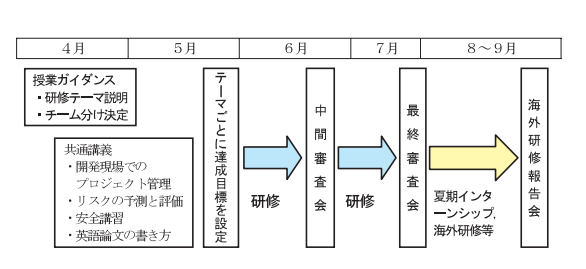


図2 「機械工学フロンティア」の授業スケジュール

3. 研修内容

プロジェクト研修のテーマは、原則として各研究 室より提示し、それを学生が選択する方式をとって いる. よって研修のための設備の提供や具体的な指 導は、研究室を中心に行われる、複数の研究室が協 力してひとつのテーマを実施すること、および学生 が自分の所属以外の研究室のテーマを受講すること も認めており、学生がフロンティア研修→修士研修 へと進んで行く過程で複数の研究室を経験すること を可能としている.

「機械工学フロンティア」の個々の研修内容につ いて詳しく紹介することは、限られた紙面では困難 であるので、ここでは、平成21年度に実施された 研修テーマのうち、いくつか代表的なものを紹介す る.

「原子レベルシミュレーションに基づく新機能材料 と試作評価」では、カーボンナノチューブを樹脂に 分散させたひずみセンサを開発し、その特性を評価 した. 夏休みには、MIT(米国)にてワークショッ プを開催し、同大の学生と研究交流を行った. (図 3)

「航空ロボットの開発と飛行実験」では、自律制御 機能を搭載した模型飛行機を製作し、自動離発着お よび自律的な経路追従飛行の実験を行い、大きな成 果をあげた. 飛行実験には、東北大学青葉山キャン パス内の実験フィールドおよび宮城県南部にある角 田滑空場を用いた(図4).

「自律探査ロボットとフィールド実験」では、最高 時速15km/h以上で走行する重量1 kgの小型自律 走行ロボットを開発し、米国ネバダ州で開催された 国際競技会 (ARLISS)にて優勝を果たした (図5).

「ロボットアームの運動制御実験/移動ロボットの 運動制御/人間の運動計測・解析」の3テーマでは, それぞれのロボットを実現する基礎技術の開発に取 り組み、これらの研修を行った計8名の学生は、フ ランスで開催された国際会議に出席し研究発表, 研 究交流を行った.

「要救助者情報収集ロボットの開発とフィールド実 験」では、地震等の災害時に瓦礫や倒壊した建物内 の被災者を発見するロボットの、自律・遠隔制御シ ステムの開発を行った. 開発されたロボットを携え て、2009年7月にオーストリアにて開催された 「ロボカップ世界大会」に参加し、4部門において 優勝もしくは準優勝の成果を挙げた(図6).

「火星探査のための飛行システムと制御法の検討し では、火星を取り囲む希薄大気中で飛行探査を行う 飛翔体の基礎研究として、プラズマアクチュエータ を用いた飛行制御方式を検討し,模型飛行機を用い た飛行実験により有益な基礎データを得た.

「全日本学生室内飛行ロボットコンテストへの挑戦」 では、競技ルールに則した超軽量模型飛行機を製作 し、コンテストに参加した、また、上記「火星探査 ……」のチームも合わせた学生の中から選抜チーム を募り、米国パデュー大学に派遣し、無人飛行口 ボットに関する先端技術について研究交流を行った (図7). なお、米国パデュー大学とは、平成17年 度以来このような学生交流を深めている.





MITにおける研究交 図4 流会

航空ロボットの飛行実





米国ネバダ州での 図6 ARI ISS大会

ロボカップレスキュー世 界大会参加チーム



米国パデュー大学での研 究交流

プロジェクト研修の一環として、学生を海外に送 り出し経験を積ませることも積極的に推進している. 文部科学省から大学院教育改革支援プログラムの補 助金をいただいていた平成20年度には43名,平成 21年度には31名の学生を海外に派遣した。平成22 年度以降は, 研究室の自主財源等により可能な範囲 で、学生に海外経験の機会を与えている.

研修内容についてのさらに詳しい情報は、Web ページ¹⁾をご覧いただきたい.

4. 発表会と成績評価

「機械工学フロンティア」の受講生には、研修を 開始して1ヶ月半ほど経過した6月中旬に中間発表, 研修終了後には最終発表会と最終報告書の提出を課 している.

本科目の研修テーマは、上述のように研究室より 提示するが、それはあくまでも大枠であり具体的に 何を目標とし、それを達成するためにどのようなア プローチで研修を進めて行くかについては、学生に 考えさせている. 中間発表では、プロジェクトとし てのフルサクセスは何かを定義させ、それに至るス ケジュールと、グループ内の役割分担を明確にして 発表させている.

最終発表会は、ポスターセッション形式の発表会 とし、実物展示やデモ等を行うことを推奨している. 教員が各ポスターを巡って発表を聞き, 評価を行う. また、学生どうしで他のテーマの発表を聞き、イン タラクティブに質疑応答を行うことも、効果をあげ ている.

全日程終了後には受講者全員に自己評価を含む詳 細なアンケートを行い、本授業科目で学生が何を学 び、どこで苦労したかを問い、本科目をより効果的 にするためのフィードバック情報として学生の声を 収集している. 学生回答の一例を示す.

問1. あなたは、どのような動機および達成目標等を 持って、本授業科目および研修テーマを選択しまし たか?

回答1. **の課題について、プロジェクトを計画し、 メンバーへの役割分担、実験計画の立案、問題の解 決などを通して一つのプロジェクトを行うことを体 感的に経験することを目的とした.

問2. 本科目を終了するにあたり、当初の目標はどの 程度達成されましたか?

回答2.

- ・プロジェクトを行うことの経験 100%
- ・計画の予定通りの遂行 50%
- ・問題の解決 70%
- ・メンバーとの連携 80%
- ・トータル 70%

試料の準備などに手間取り,実験を始める時期が ずれ込んでしまったために、すべての試料で定量的 評価のフルサクセスを得られるほど実験データを多 くとることができなかった. しかし、観察方法など メンバー内で情報共有を行うことでより精度の高い

観察を行うことができプロジェクトとしてはなんと かまとめることができた.

問3. チームの中で、あなたはどのような役割を担当 しましたか? 自分に点数をつけると何点になると 思いますか?

回答3. プロジェクトリーダーとして計画立案や発表 準備などで中心となった.また、4つの試料のうち **を担当し観察を行った. 自分の結果としてはう まくまとめることができたので計画の遅れと合わせ て点数は80点.

- 問4. 本科目で、一番楽しかったこと(うれしかった こと) は何ですか?
 - ・きれいな結果が得られた時.
 - ・全員の成果がひとつのポスターとして形になった時.
- 問5. 本科目で、一番大変だったこと(つらかったこと、 苦労したこと)は何ですか?

回答 5. 観察がうまくいかなかったとき、またその原 因を考えているとき.

問6. 本科目を通して、あなたは何かを得ることがで きましたか? 箇条書きにて、記してください.

回答6.

- ・複数人で分担し計画を進める際には、メンバー間 の情報共有が重要であること. それぞれの進展度 合いをもっとこまめに聞くことができればよかっ たと思う.
- ・物事は計画通りにはいかないこと.
- ・実験、観察は面倒くさがらずに一歩一歩着実に進 めていくことが結局は一番の近道になること.
- 後からみたときに他の人でもわかるデータ整理を しておく必要があること.

学生たちは半年間という限られた時間の中で, 目 標達成のために試行錯誤を繰り返し、失敗や計画変 更,メンバー間のコミュニケーションの問題に苦心 しながら、問題解決のプロセスを実体験したことが 読み取れる. そしてほぼ全員の学生が. 本研修に対 してやりがいや満足感を得たと回答している.

本教育プログラムでは「自ら手を動かして挑戦し、 小さな失敗の中から大きなものを学ぶこと」を体得 させることを目指しており、この目的は十分に達成 できていると考える.

参考文献

1) http://www.mech.tohoku.ac.ip/MechFrontier/

(原稿受付:2012年10月21日)



岐阜大学金型創成技術研究センターにおける ものづくり教育

者 紹 介 剛 志 岐阜大学工学部 〒501-1193 岐阜県岐阜市柳戸1番1 E-mail: zgwang@gifu-u.ac.jp 1992年名古屋大学大学院工学研究科博士後期 課程修了、富山県立大学助手, 岐阜大学助教授 を経て, 2006年岐阜大学工学部教授, 現在に至 る. 塑性加工, 型工学の研究に従事. 日本塑性 加工学会、日本機械学会などの会員、博士(工

1. はじめに

大学における機械系ものづくり教育の目的は何で あろうか. 卒業生のほとんどがものづくり企業に就 職している事実から、教育は従来の4力を中心に据 えつつも企業の国際競争力の向上を念頭にカリキュ ラムを組み直すべきではないかと思う. 大学を卒業 してから技術開発の戦力になるまで数年もかかるよ うな大学教育システムは早晩淘汰される. 即戦力を 輩出することができれば,企業での教育費用の削減 効果もさることながら、技術者として創造力盛んな 期間が延ばされ、その意義は大きいと思う、この思 いから2006年に岐阜大学金型創成技術研究セン ターが設立された. 即戦力を輩出するために企業の 新入社員研修プログラムを参考に、金型を用いるも のづくりプロセスの一貫教育を基本コンセプトにカ リキュラムが編成された. その後今日に至るまで受 講生の意見、産業界のアドバイスを取り入れながら 改善が重ねられてきた.

2. 基礎教育プログラム

本センターの人材養成教育は、金型基礎教育プロ グラムによる基本トレーニングと卒論・修論研究に よる技術開発能力の付与の二段構えとなっている.

図1に育成システムにとり入れるカリキュラムの 概要を記す. 金型に特化した科目構成とし, 実学を 重視した内容を特徴としている.実学教育に必要な マシニングセンター、放電加工機、プレス機械、射 出成形機などの各種機械は工作機械メーカーや地元 金型産業界のご協力によりセンターの付属加工工場 に一通り完備されている¹⁾. CAD/CAM/CAEも完備 されており、特にCAEは人材養成教育の中心ツール で鋳造、鍛造、板金プレス、射出成形のソフトウェ アが導入されている.

学部4年生は、鋳造コース、鍛造コース、板金プ レスコースおよび射出成形コースのいずれかに所属 し,一学期かけて課題に取り組みながら、図2に例 示するように、製品設計、工程設計、金型設計、金 型製作、成形加工の一連のものづくりプロセスをス ルーで実体験し、基本スキルを習得する. 博士前期 課程生は学部4年生と同様に各コースに所属するが、 CADによる金型設計、CAEによる成形予測、CATに

◎育成対象人材 ②社会人

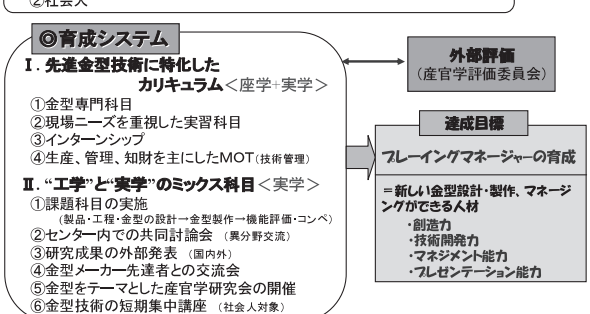


図1 基礎教育プログラムの概要



基礎教育プログラムの実施形態

よる計測に重点をおき、金型のCADデータと実金型 の形状差異、CAEによる予測値と実成形品の差異を 論理的に分析する能力の養成に力点をおく. 表 1 に 博士前期課程生の修得すべき知識・スキルと到達レ ベルを示す. 新しい金型の開発設計能力, マネジメ ント能力、後進の指導能力の修得を修了要件として おり、即戦力の育成を目標にしている.

一例として図3に博士前期課程生に開講した板金 プレスコースの実習内容を示す. 演習課題はタンデ ム工程ではなく,空間的な想像力を必要とする順送 金型とした. CAD/CAM設計, 金型加工演習の後, 金型の形状計測を行う. 成形加工の後, 成形品の不 具合確認や詳細な寸法測定を行い、不具合対策を施 す. CADデータと金型実寸法との比較分析、被加工 材の材質による成形品の寸法差を詳細に解析する流 れとなっている.

表 1	博士前期課程生の到達レベル
- ✓ I	単一

	到達スキル	到達レベル(認定基準)	認定 方法
(1)	新しい金型の開発 設計能力の修得(創 造力,技術開発力 強化)	①金型創成技術専門科目12単位, 演習科目2単位以上の修得 ②金型に関する修士論文研究の単 位取得	
(2)	マネジメント能力 の修得	①金型創成技術基礎科目4単位以 上の修得 ②インターンシップの参加	修了書の授与
(3)	後進の指導能力の 修得(技術開発力, プレゼンテーショ ン能力の強化)	①金型先達との交流会の参加(発表・討議) ②センター共同討論会の参加(発表・討議) ③研究成果の公表(国内・国外発表各1件)	授与



図3 博士前期課程生プレス金型コース実習内容(順送金 型によるアース端子の製作)

実習した学生にアンケート形式で配属を希望した 理由、実習教育について聞いてみた、配属を希望し た理由の第1位:「従来にない実習を多く取り入れ たカリキュラムであるから(88%)」,第2位:「技 術を身につけたいから(76%), 第3位:「金型を 基本にしたものづくり産業が強い日本の将来に重要 であるから(59%)」であった、受講した教育・実 習の第1位:「いろいろ学ぶことがあって、大変興 味があり、やりがいを感じる(88%)」、第2位: 「実習でモノを創ることは楽しい(82%)」,第3 位:「CAD設計,製図,成形加工のプロセスは楽し い(71%)」と拮抗している。アンケートの結果か ら判断して、座学中心の教育に実学を重視したカリ キュラムは学生の希望であると受け取れ、金型人材 育成教育の効果が出ていると認識している. また, ものづくり実習教育は学生全員が興味とやりがいを 感ずると共に、楽しみを享受している。平成24年 度の金型教育には学部4年生18名,博士前期課程 生35名が参加している.

3. 技術開発能力の付与

上記の基本トレーニングに加え、卒論・修論研究 を通じて技術開発に必要な基礎能力の訓練を行って いる. 創造力, 技術開発力を養うためには未知な領 域に踏み込んだ技術開発への参画は有効と考え、企 業との共同研究を積極的に展開している. いくつか の事例を通して教育のプロセスを述べることとする.

図4はプレスブレーキ用高精度V曲げ加工制御シ ステムの開発例を示す²⁾⁻⁴⁾. プレスブレーキによる 高精度の曲げ加工を実現するためには多数回の試し 曲げが必要で、作業時間と材料の無駄が発生する. 開発したシステムは2回目の加工で目標角度を確実 に得ることを目標にしている. この開発には延べ4 名の博士前期課程生が参画し、従来システムの問題 点の洗い出し、新しいシステムのコンセプトと曲げ 基礎式の構築、実証実験、実用化の一連のプロセス を分担した、研究の進め方と方向性を提示し、具体 的な課題への対処法を極力学生に考えさせ、出され たアイデアに修正を加えて研究を進めるように心が けた. 担当した学生は先輩の研究成果を吸収しつつ、 当面の課題の解決策を模索し、後輩の教育をも担う. 好運にも当初のコンセプトを修正することなく最後 までやり遂げることができ、担当した学生に技術開 発の喜びを体験させることができた.

図5は板鍛造によって製作したものである⁵⁾. 板 鍛造は板状素材に曲げ、絞りといった板成形の工法 と据込み、押出しといった鍛造加工の工法を組合わ

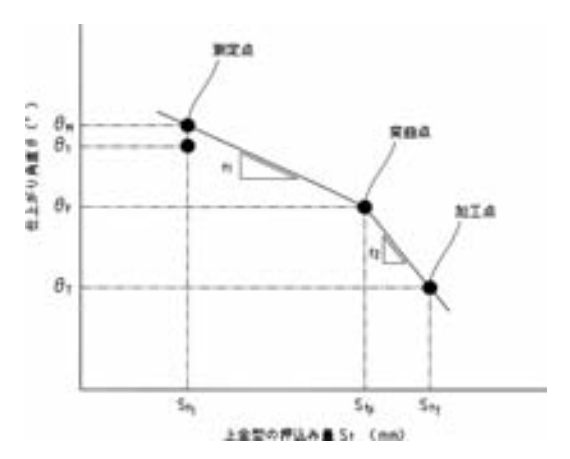


図4 プレスブレーキ用V曲げ加工制御システム

せて、製品形状を高精度に制御する新しい加工法で ある. 板鍛造は塑性加工製品の設計の自由度を広げ る手段として今後多用されると思われる. 図示の製 品は絞り、端面圧縮工法によって製作されたもので、 圧縮パンチの耐圧限界を超えないように工程設計の 工夫を要する、また、上下ボスへの分流鍛造となる ため、分流点の近くで被加工材の表面積が数十倍に 拡大され、金型への焼付きを防止する潤滑設計が必 要である. このような難易度の高い技術開発に参画 させることで、高付加価値の工法開発に必要な能力 を付与している.



板鍛造によるトリプルカップ(被加工材:SPCE,板 厚:2.6mm)

4. おわりに

本センターは、平成18年度の文部科学省科学技 術振興調整費プログラム「地域再生人材創出拠点の 形成」の分野で採択されたプロジェクト「次世代金 型人材育成拠点の形成」を推進するために岐阜大学 に設置された. このプロジェクトは、本学と岐阜県 および大垣市との連携の下で、世界に冠たる日本の 金型技術の伝承とさらなる高度化を担い得る創造的 かつ意欲的な若手技術者の育成を目的としている. それゆえ、ものづくりプロセスの一貫教育を基本コ ンセプトとして、実習を多く取り入れたカリキュラ ムを編成し、即戦力の育成に注力してきた. その結 果、平成18年度から平成22年度までの5年間のプ ロジェクトの成果に対する平成23年度の科学技術 振興機構の総合評価では「S」(所期の計画を超え た取組が行われている)を獲得し、同期に採択され た10プロジェクトの中で唯一,最高の評価を受け た. いただいた高評価は、産業界、地元自治体なら びに学内の支援と協働の賜物だと感謝している.

以上のような高評価を裏付けるものとしていくつ かの嬉しい成果が生まれつつある. たとえば、平成 21年度からスタートした日中韓大学生金型グラン プリ大会で、本センターの学生が製作・出展した金 型は、素人作品の域を超えた実用レベルにあるとの 評価を3年連続で来場者からいただいた. また. 昨 今の不況下における就職においても、本センターの 修了生に対する求人依頼が全国から寄せられ、毎年 約20名の修了生のほとんどが希望通りの企業に就 職している。修了生の就職先からは、"技術者の基 本は完成しており、即戦力となっている"、"期待を 満足するものであり、大いに活躍している"などの 高評価が寄せられている.

なお、平成24年度から「金型人材育成における 教育高度化事業」が国に認められ、新たに3年間の 事業費が交付されることになった. この新しい教育 事業では、これまで通りの即戦力となる人材育成を 念頭において、ものづくり技術の全体像を俯瞰でき るように、生産管理などを実践ベースで学び、かつ 環境負荷低減技術や国際展開力を身に付けるための 国際交流も取り入れている. また, ものづくり教育 にもかかわらず、より高度な教育を求めて博士後期 課程へ進学する学生が増えてきたので、企業の価値 観で新技術を開発できる博士の育成にも注力したい と考えている.

参考文献

- 1) 王志剛:岐阜大学における金型人材育成の実践, 塑性 と加工, Vol.49, No.573, p.943-947 (2008)
- 2) 王志剛, 池井戸翔太, 金田宣弘:プレスブレーキ用V曲 げ制御システムの開発(第1報 曲げ基本計算式の構 築), 平23塑加春講論文集, p.299-300 (2011)
- 3) 王志剛, 池井戸翔太, 金田宣弘:プレスブレーキ用V曲 げ制御システムの開発(第2報 変曲点および加工荷 重の算出法),平23塑加春講論文集,p.301-302(2011)
- 4) 王志剛, 池井戸翔太:プレスブレーキ用V曲げ制御シス テムの開発(第3報 システムの加工精度),平23塑加 春講論文集, p.303-304(2011)
- 5) 王志剛, 吉川泰晴: 板鍛造による中空ボス製品の成形 技術の開発,型技術, Vol.26, No.12, p.12-13 (2011)

(原稿受付:2012年10月9日)

「FPIC会議報告)

2012年度日本機械学会年次大会における フルードパワー研究の動向

者 紹 介



中

法政大学デザイン工学部システムデザイン学科 〒102-8160 東京都千代田区富士見 2-17-1 E-mail: y_tanaka@hosei.ac.jp

1985年東京工業大学大学院修士課程修 の後東工大精密工学研究所助手を経て, 法政大学講師, 1992年同助教授, 2002年同教授, 現在に至る. 工学博士(1991年東京工業大学)

1. はじめに

年に1回開催される2012年度の日本機械学会年 次大会は「日本再生に向け新たな未来を切り拓く機 械工学」をキャッチフレーズに、2012年9月9日 (日)~9月12日(水)まで,創立150周年の金沢 大学・角間キャンパスで開催された. この年次大会 は、機械工学の全分野に関わる研究者・技術者が一 堂に会して議論を行う国内最大の機械系学会のイベ ントである. 今回は, エネルギー, クオリティーオ ブライフ, オープンイノベーションをテーマとして, 大会期間中, 2件の特別講演, 14件の市民開放行 事(市民フォーラム), 25件の基調講演, 20件の ワークショップ、14件の先端技術フォーラム、4 件の特別企画と数多くのオーガナイズドセッション や一般技術講演セッションが、広大な金沢大学キャ ンパスのA, B, Cの3つの会場に分かれて企画・開 催され、約2,400名の参加登録があった.本稿では、 この年次大会におけるフルードパワー技術の研究動 向について紹介する.

2. 基調講演と先端技術フォーラム

機素潤滑設計部門のアクチュエータシステム技術 企画委員会の企画により「フルードパワーアクチュ エータの動向と将来像」と題して、著者による基調 講演が行われた、フルードパワーと電動のアクチュ エータの特長を比較しながら、油圧や空気圧、水圧 を用いたフルードパワー駆動が電動と比較して大き な出力密度が取れる特徴を持っていることやその技 術動向、今後の展望に関する紹介があった1).

また同じ技術委員会の企画により「フルードパ ワーアクチュエータ技術の最前線」と題する先端技 術フォーラムが開催された. 6人の講師により、風 力や波力発電などのエネルギー関連技術²⁾, HST フォークリフト³⁾,機能性流体によるマイクロフ ルードパワー4)、空気圧や水圧技術を用いた医療用 手術機器50,60や介護福祉機器70など油圧や空気圧, 水圧、機能性流体によるフルードパワーアクチュ エータの特長を活かした最新の事例や研究が紹介さ れ、フルードパワーアクチュエータの特長や新技術 への展開の可能性に関する熱い議論が講師と参加者 の間で行われた.

3. 技術講演セッション

オーガナイズドセッション「次世代アクチュエー タシステム (オーガナイザー:岡山大・鈴森康一教 授, 東工大・吉田和弘准教授, 著者)」の中で13件 のフルードパワーに関する技術講演があった. 写真 1にオーガナイズドセッションの様子を示す.

吉田ら8)は一本の配管のみで作動流体の供給と排 出が可能で、配管側とアクチュエータ側の作動流体 を水と機能性流体(ERF)で分離して配管部でのエ ネルギー損失を低減させた交流圧力源を用いた多自 由度ERアクチュエータシステムを提案し、ラージ



OS次世代アクチュエータシステムの様子

モデルによる特性実験により動作原理の検証を行っ

眞田⁹⁾は空気圧シリンダを利用したパワーアシス ト椅子の制御に、動作感応形制御手法を導入し、実 験により動作の緩急に応じてアシスト力が調整され ることを明らかにした.

早川ら10)は、介護用移乗機の安定性を向上させ、 被介護者への負担を軽減するため、背負い式の人体 把持部と旋回機構や高さ調整機構を持つ移乗機を試 作検討し、移乗に関する動作解析の比較から、負荷 分散効果により負担が改善されることを指摘した.

塚越ら11)は、柔軟構造の流体アクチュエータとし て,装備したチューブの自然長と同じストローク長 が得られる遮断部スライダ駆動方式(Λ-Drive)を 提案し、安定な駆動力生成や動作原理、駆動力の解 析や試作機を用いた駆動力の測定, 適用例の検討を 行った.

三浦ら¹²⁾は、安全性の高いMRアクチュエータに 外乱オブザーバによるロバスト加速度制御を適用し, リハビリテーションで使用される負荷を想定した環 境の再現実験を行った.

赤澤ら13)は、ロボットアームの関節部に組み込む ことを想定した水圧揺動ベーンアクチュエータを水 圧用比例弁で駆動するシステムについて、そのアク チュエータの性能測定実験を通して課題や改善提案 を行った.

畑山ら14)は、水圧用シリンダと水圧揺動アクチュ エータ, 水圧比例弁を組み合わせた二自由度マニ ピュレータのモデル化とシミュレーションおよび速 度測定実験結果について報告した.

村木ら15)は、静圧案内で支持されたステージを空 気圧ベローズで微動駆動する超精密位置決めシステ ムを試作し、レーザースケールによる測定実験の結 果から、良好な再現性を保ちながら0.01±0.9nmの 位置決め精度と1nmの分解能が実現できることを 示した.

山口ら16)は、ノズルフラッパ型空気圧サーボ弁を 用いて圧力制御を行う時のPI制御系設計手法を提案 し、その手法の妥当性と有効性をシミュレーション と実験により明らかにした.

山本ら17)は、マッキベン型空気圧アクチュエータ を複数本束ねてバンドル化することを想定したアク チュエータの小形化のため、金型により螺旋状の溝 を有するゴムチューブを成型し、外径 1 mm, 内径 0.5mm, 収縮部20mmの細径マッキベン型アクチュ エータを試作し、動作特性の測定結果を報告した.

岩田ら18)は、マッキベン型水圧人工筋を並列に組 み合わせて用いた重作業用の全方位湾曲高出力マニ

ピュレータの開発を目的として, 中心に収縮型, 周 囲に伸長型を配置した放射状配置アクチュエータを 試作し、駆動実験を行って、大きな湾曲量と高い剛 性および基本原理の妥当性を確認した.

今村ら¹⁹⁾は、電界共役流体(ECF)を用いた流体 レートジャイロにおいて、MEMS技術による構成部 品のワンチップ統合化と、偏流検出部の性能向上の ための改良結果と良好な性能特性について報告した.

金ら200は、冷却性能が高く、騒音や振動の小さい、 強制液冷システムを実現するため、電界共役流体を 用いた環状閉流路ECFマイクロデバイスを提案・試 作し、流路内におけるECFジェット流速の測定結果 について報告した.

また、その他の一般技術講演セッションやオーガ ナイズドセッションの中から, フルードパワー, 特 に空気圧を用いた福祉医療への応用や精密位置決め に関する以下の6件の研究発表が行われた.

勝又ら21)は空気圧ベローズを用いたイモムシ型 管内走行ロボットに関する報告を行った. また則次 ら²²⁾は空気圧ゴム人工筋を用いた腰部パワーアシ スト装置について、早川ら²³⁾は布アクチュエータを 用いた鬱血防止マットの血流促進効果について報告 した. また北脇ら²⁴⁾は空気圧アクチュエータによる アシストウェアの評価にさまざまな生体情報を用い た. さらに中西ら25)は上肢リハビリテーション支援 装置に、柔軟性と安全性があり、出力重量比が高い 空気圧シリンダを用い、リハビリテーション専門家 からこの装置の評価を行った. 辻村ら²⁶⁾は超精密位 置決め用アクチュエータとして、 高速高精度な空気 圧サーボ弁と多連型静圧軸受機構を組み合わせたシ ステムを提案し、オープンループで位置決め分解能 10nmを実現した.

4. おわりに

会期中の二日目の午後には、金沢大学医薬保健研 究域教授の渡邊剛氏による「日本におけるロボット 心臓外科手術」と、コマツ取締役常務執行役員開発 本部長の髙村藤寿氏による「建設機械における新技 術の展望」と題する特別講演があった、渡邊氏は、 手術ロボットのダビンチを日本でいち早く導入し, 高いロボット心臓手術の成功率を誇っている. 驚く べきことに、難しいといわれる心臓手術の患者が、 術後1週間程度で退院が可能で、ロボット手術は患 者への負担がきわめて少ないとのことである. また 髙村氏は省エネルギーやハイブリッド、IT技術を駆 使した建機の稼働管理システムなどの紹介を通じて, 建設機械メーカーとしてのグローバルな展開を紹介 し、フルードパワーの底力を感じさせてくれた.

フルードパワー技術, 特に油圧・水圧の液圧技術 は、重作業や建設機械、エネルギー関連技術への今 後のますますの発展展開が期待でき、また人間親和 性の高い空気圧技術やマイクロ化に適した機能性流 体は、医療や福祉機器・システムへのより一層の展 開が期待できる. 今回の日本機械学会年次大会では, 基調講演や先端技術フォーラム企画、オーガナイズ ドセッションで、多くのフルードパワーの研究や事 例紹介が活発に行われ、フルードパワーの将来への 幅広い展開を予感させる大会となった。なお2013 年度の年次大会は岡山大学にて開催される予定であ

参考文献

- 1) 田中豊, フルードパワーアクチュエータの動向と将来像, 日本機械学会2012年度年次大会講演論文集DVD, No. 12-1, K11500, 基調講演, 2012. (以下, すべて同じ DVD論文集)
- 2) 浦井隆宏, フルードパワーシステムのエネルギー関連 への技術展望、先端技術フォーラム
- 3) 平岩秀幸, HSTフォークリフト, 先端技術フォーラム
- 4) 竹村研治郎、マイクロフルードパワー源としての電界 共役流体, 先端技術フォーラム
- 5) 小俣透, 流体を用いた手術機器, 先端技術フォーラム
- 6) 川嶋健嗣, 力覚提示機能を有する空気圧駆動多自由度 鉗子マニピュレータ, 先端技術フォーラム
- 7) 早川恭弘, 空気圧を用いた福祉介護機器の開発, 先端技 術フォーラム
- 8) 吉田和弘, 三好智也, 嚴祥仁, 横田眞一, 交流圧力源 を用いた多自由度ERマイクロアクチュエータシステム、 .1113015
- 9) 眞田一志、パワーアシスト椅子用アクチュエータの動 作感応形制御, J113021
- 10) 松永拓也、早川恭弘、侯野有毅、野口卓磨、人間親和 性を有する介護移乗機に関する基礎研究, J113022
- 11) 塚越秀行, 森庸太朗, 北川能, スライド式柔軟流体ア クチュエータ: Λ-driveとその応用, J113023

- 12) 三浦一将, 桂誠一郎, MR流体アクチュエータによる環 境再現システムの実現、J113024
- 13) 赤澤翔, 鳥居良介, 鈴木健児, 中尾陽一, 水圧駆動用 90°回転型アクチュエータの性能評価, J113025
- 14) 畑山敏毅, 赤澤翔, 鈴木健児, 中尾陽一, 水圧比例弁 を用いた水圧シリンダ制御系のモデル化, J113026
- 15) 村木雄飛, 藤田壽憲, 榊和敏, 川嶋健嗣, 香川利春, 空気圧ベローズを用いた静圧案内微動ステージの超精 密位置決め、J113031
- 16) 山口大裕, 藤田壽憲, ノズルフラッパ型空気圧サーボ 弁の動特性を考慮した圧力制御, J113032
- 17) 山本陽太, 脇元修一, 鈴森康一, 和田晃, 細径マッキ ベン型アクチュエータの開発, J113033
- 18) 岩田和大, 鈴森康一, 脇元修一, 伸縮人工筋の放射状 配置による全方向湾曲高出力ソフトマニピュレータ, J113034
- 19) 今村恒彦,NGUYEN Vinh Xuan Thanh,金俊完,横田 眞一, 枝村一弥, MEMS技術によるECFマイクロレー トジャイロの開発と性能評価, J113035
- 20) 金俊完, 宮川裕史, 横田眞一, 枝村一弥, マイクロチッ プ冷却用環状ECFマイクロデバイスの特性評価, J113036
- 21) 勝又大介, 佐藤知弘, 坂本誠, 大野学, 吸着ブレーキ を適用したイモムシ型管内走行ロボット(吸着ブレー キと体節を構成するベローズアクチュエータの特性), G150051
- 22) 則次俊郎, 塚村幸平, 高岩昌弘, 佐々木大輔, 空気圧 ゴム人工筋を用いた腰部パワーアシスト装置, J027043
- 23) 早川恭弘, 上治卓也, 鬱血防止マットの開発, J241041
- 24) 北脇知己, 藤長武士, 小西有人, 佐々木大輔, 則次俊郎, 岡久雄、生体情報を考慮した起立動作評価法(空気圧 アクチュエータを用いたアシストウェアへの応用), S153012
- 25) 中西祐貴, 北川真一貴, 土橋宏規, 嵯峨宣彦, 永瀬純也, 中本裕之、空気圧シリンダを用いた上肢リハビリテー ション支援機器に関する研究, S154014
- 26) 辻村修平, 網干大樹, 松岡敦, 平山朋子, 佐々木勝美, 超精密位置決め用多連型空気圧サーボ軸受アクチュ エータの特性評価, S114015

(原稿受付日 2012年10月7日)

教 室

おもしろ油圧機構 第10回 メカトロ油圧機器

者 紹 介 油研工業 〒252-1113 綾瀬市上土棚中4-4-34 E-mail: ak.ohashi@yuken.co.jp 1972年静岡大学大学院修士課程修了. 1972年 研工業入社. 主に, 油圧ポンプ・モータの開 油研工業入計 営業技術, 商品企画, 経営企画などの業務

1. はじめに

油圧機器の巧みな機構を土台にして、電子制御機 器, センサ, 制御ソフトなどを組み合わせた機器は, メカトロ機器と呼ばれる. 1970年代頃から比例電 磁式油圧機器としての実用化と普及が始まり、制御 性、操作性の良さ、使いやすさなどが加味され、 様々な製品群が出現した. 本教室でも, 比例電磁式 ロードセンシングポンプ2),比例電磁式パワーセー ビング弁3) などを紹介した、今回は主として油圧ポ ンプの斜板角制御と回転速度制御に関するメカトロ 油圧機器の作動原理と機構を解説する.

2. ポンプの斜板角制御

図1~3に、比例電磁式圧力・流量制御形ポンプ の図記号, カットモデル, 原理図を示す.

図1に示すように、必要な圧力と流量は、それら の入力電圧信号をポンプに搭載されたアンプに入力

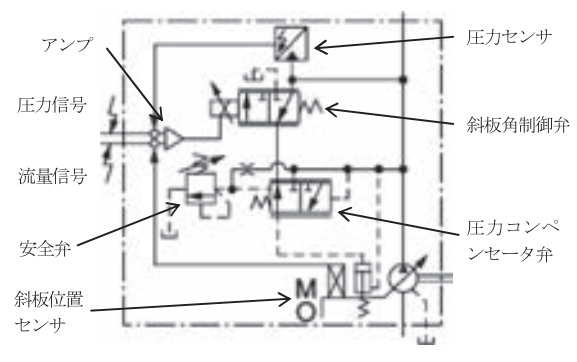


図1 比例圧力・流量制御形ポンプ図記号

することによって得られる. ポンプ吐出側に比例式 絞り弁と流量のコンペンセータ弁がないことが、比 例電磁式ロードセンシングポンプと大きく相違する. 流量は、斜板に取り付けた回転角センサ(ポテン ショメータ) からの電圧信号と入力信号を比較し, 偏差をなくす方向に斜板の角度を直接制御して調整 する. 同様に圧力は、搭載弁内の圧力センサからの 信号との比較による.



図2 比例圧力・流量制御形ポンプ

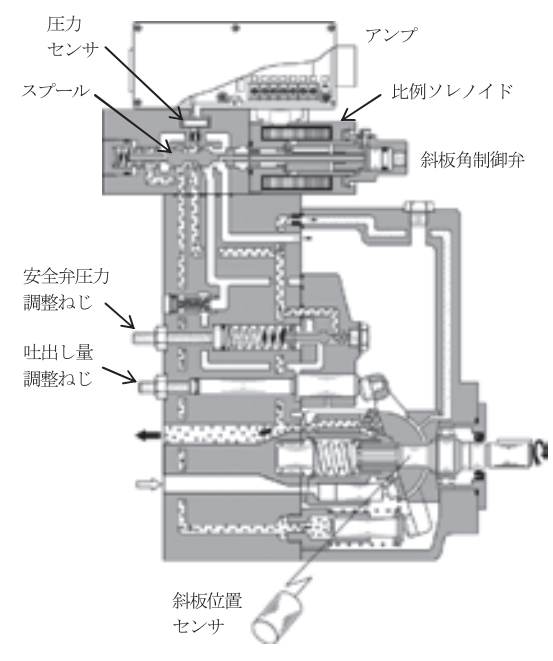


図3 比例圧力・流量制御形ポンプ原理図

この方式は、ロードセンシングポンプがオープン ループ制御であるのに対し、クローズドループ制御 である. 偏差信号はアンプ内で演算され, 電流信号 を比例ソレノイドに出力し、斜板角制御弁のスプー ル変位に応じてポンプ可変機構を動かす. 制御回路 に電気的な不具合が発生した場合は、異常圧力が作 用しないよう安全弁とコンペンセータ弁が作動する.

この結果,第3回 2 の図10に示すように,優れた 直線性やヒステリシス特性などが得られる. また, 絞り弁による流量制御のような弁差圧分のポンプ圧 力の上昇がないため、省エネ効果もあり最低調整圧 力も低く抑えられる. 各センサからの電気信号を流 量値(最大流量に対する%), 圧力値(MPa) に換 算してモニタ表示することもできる.

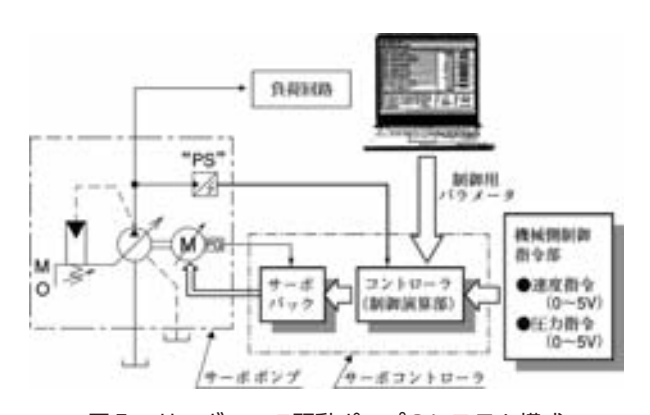
流量は、ポンプ回転速度に比例して変化すること に注意を要す. 誘導電動機で駆動する場合には. 使 用地域により電源周波数が異なるため,第3回20の 図10下図のように、同一斜板角でも得られる流量 が異なる. 逆にこのことを利用して、圧力の上昇に よるポンプの漏れ量増加や誘導電動機のスリップ量 を推定して補うことも可能であり、圧力値をセンシ ングしているからこその特長である.

3. ポンプの回転速度制御

図4は、サーボモータ駆動回転速度制御ピストン ポンプの外観であり、図5はシステムの構成図である. 流量・圧力の制御原理は、2章の斜板角制御に対



図4 サーボモータ駆動ポンプとコントローラ



サーボモータ駆動ポンプのシステム構成

して、サーボモータの回転速度制御であり、第3 回2)で示した式(1), および式(2)に基づく.

$$Q_{\rm th} = nq_{\rm th} = nZ\frac{\pi}{A}d^2D \tan\alpha \tag{1}$$

$$p = \frac{2\pi T}{a_{\rm th}} \tag{2}$$

式(1)は、斜板角 α によって決まる押しのけ容積 q_{th} が一定でも回転速度nを制御すれば、等価的に流量 を調整できることを意味する. 可変容量形ピストン ポンプでなく、ギアポンプ、スクリューポンプなど 定容量形ポンプを使用する製品も多い. 式(2)は, 圧 力pが入力トルクTと押しのけ容積g_{th}によって決ま ることを意味している.

回転速度は図5のモータに付属するパルスジェネ レータ (PG) により、圧力はポンプに搭載した圧 カセンサによってセンシングする。 圧力制御の原理 は斜板角制御ポンプと同等で、斜板角に代えて回転 速度変化により圧力補償制御を行なう.

一般に、油圧ポンプを駆動する電動機やエンジン には、出力動力と出力トルクに制限があり、最高圧 力かつ最大流量の高負荷状態では長時間使用できな い. 定馬力(定トルク)制御方式のポンプは,圧力 の上昇に応じて流量(斜板角)を減らし、油圧負荷 を軽減してエンジンのストールを防止するねらいが ある. 電動機も同様にトルク制限があり、サーボ モータ駆動ポンプでは、圧力と流量の設定信号を許 容使用範囲内で入力する必要がある.

図6は、圧力-流量特性の例であり、各工程の負荷 が線図内となるような機種を選定する、ここで、たて軸 の流量は回転速度に、よこ軸の圧力はトルクに対応する。

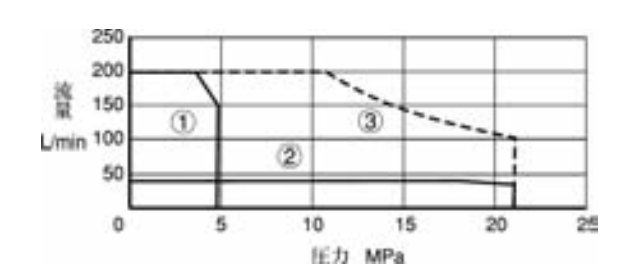


図6 サーボモータ駆動ポンプの特性例

①は最大斜板角にて連続使用可能な領域,②は斜 板角を制限して連続使用可能な領域の例、③は短時 間使用が可能な領域を示す. ①と③のコーナ部の放 物線は、油圧動力が一定となる圧力と流量の値であ る. また、①の斜板角設定ではモータのトルク定格か ら連続使用圧力が5MPaに制限され、②では21MPa まで可能なことを示している。②は斜板角を小容量側 に切換え, 小流量かつ高圧力で使用する工程に適用 される. この2容量形ポンプは、プレス装置や射出成 形機などにおいて、高圧の保圧時間が長い使用条件 に適し、比較的小出力のサーボモータが選定できる.

回転速度制御ポンプシステムの特長は、省電力・省 エネかつ低発熱である. 負荷の必要とする流量に応じ た回転速度を調整することから、低負荷時でも誘導電 動機を定格回転速度で運転するロードセンシング制御 ポンプや斜板角制御ポンプの場合に比し、損失動力も 低減でき低発熱につながる。また、サーボモータは広 い回転速度範囲にわたる高応答運転が可能なため、 油圧の静的高精度,動的高応答性を実現できる.

一般にサーボモータは高速で駆動するため、誘導 電動機を使用する場合と比べ、小容量のポンプで大 流量が得られることも小形化のメリットとなる.油 圧駆動に適した高トルク形サーボモータの開発など も活発に行なわれている4).

4. サーボドライブシステム

図7に、サーボモータ駆動ポンプにより、油圧シ リンダの速度・圧力・位置制御を行なうシステムの構 成を示す. 図8はパッケージ部の断面である.

このシステムは、サーボ弁を使用せずにポンプの 双方向(正逆転)回転速度制御により、油圧シリン

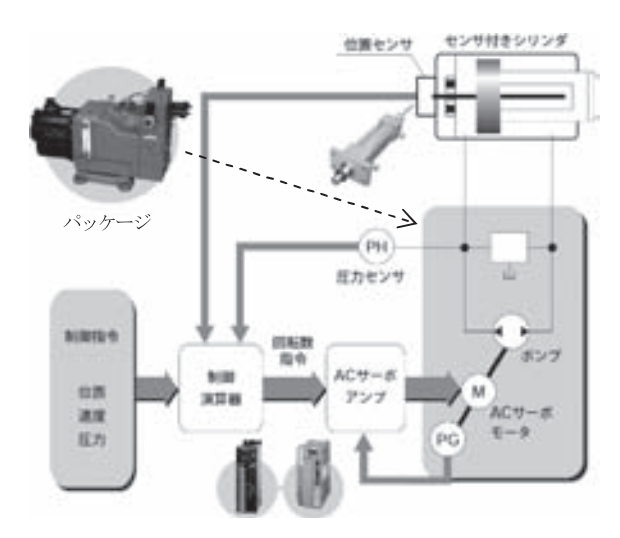


図7 サーボドライブシステム

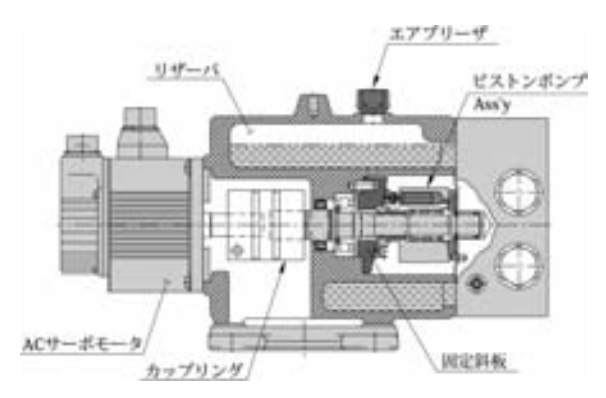


図8 パッケージ部断面

ダの一軸制御を行なう簡易サーボシステムである. ポンプとシリンダは閉回路を構成し、ポンプ・モー タはリザーバと一体である. シリンダ位置は位置セ ンサにより、回路圧力は圧力センサによりそれぞれ センシングする. 回転速度制御のフィードバック信 号は、サーボモータに付属するPGにより得られる. 3章のシステムとの違いは、双方向回転ポンプを使 用した閉回路であり、ポンプの正逆転によりシリン ダを押し引きする. サーボ弁・比例弁制御のような 圧力損失は発生せず, 負荷に必要な流量(回転速度) の制御を行なうため動力損失も少なく省エネ運転が できる. 特に圧力制御中は、回路の内部漏れを補う だけのポンプ流量で済み、低発熱、低騒音である。

5. おわりに

ポンプシステムのほか、図9に示すアンプ搭載形 制御弁や、サーボ弁を油圧モータやシリンダに搭載 したシステムもメカトロ油圧機器といえる.



図9 メカトロ油圧制御弁類

メカトロ機器は、比例ソレノイド、トルクモータ、 リニアモータ、ステッピングモータ、サーボモータ などの電気-機械変換要素とセンサ,アンプを含む 制御機器とソフトウエアの電気的制御が特徴である. 油圧の優れた増幅機能をより一層引き出して特性を 改善し,通信機能などを付加したシステムもあり, 用途を拡大している.

油圧補償弁の弁要素がセンサに置き換わった原理 などがお分かりいただけただろうか.

参考資料

- 1) 全般:油研工業カタログ,作動原理図集
- 2) 大橋:おもしろ油圧機構 第3回 比例電磁式ロードセン シングポンプ,フルードパワーシステム, Vol. 42, No. 5, p. 300-303 (2011)
- 3) 大橋:おもしろ油圧機構 第5回 流量制御弁, フルード パワーシステム, Vol. 43, No. 1, p. 40-42 (2012)
- 4) 大場:サーボモータ駆動油圧ポンプとその制御,フルー ドパワーシステム, Vol. 41, No. 4, p. 192-195 (2010)

(原稿受付:2012年8月9日)

教 室

おもしろ空気圧「イオナイザ」

著 者 紹 介

小 辻 雄

株式会社コガネイ 〒184-8533 東京都小金井市緑町 3-11-28 E-mail: kotsuji-ko@koganei.co.jp

1986年株式会社コガネイ入社. 主に流体機器, 空気圧機器, 静電気対策機器の開発に従事.

1. 静電気問題

静電気問題として、冬場の乾燥した時期にセー ターを脱いだ時や車から降りる時などに痛い思いを した経験があると思う. その静電気による問題は、 産業の中では製品の歩留りを向上する上で深刻な問 題であり、その対策は欠かせない課題となっている. たとえば、情報化社会の発展を支えるパソコンや携 帯端末、デジタルカメラなどの情報化機器は、その 機能性を高め進化し続け、これらの機器に搭載され るCPUや各種半導体メモリ、HDD、CCD、LCDな どの電子部品、電子機器も高速化、高集積化、大規 模化を余儀なくされている. その一方でダウンサイ ジングと省エネという課題も満足しなければならな い. これらの製品, 部品の製造工程では静電気障害 による多くの問題が発生している.

静電気現象による障害は、大きくつぎの三つの要 因に分類することができる.

- ○静電気放電(ESD)による部品,製品の損傷
- ○静電気放電により発生する電磁波の影響 (EMI)
- ○静電気力(クーロン力)によるゴミの付着および 製品の汚染、またシート状製品やガラス基板の帯 電による搬送異常

製造工程におけるこれらの現象はいずれもワーク の帯電が起因している. このワークに対して、治具 やゴミとの電位の差が放電や吸着といった現象を引 き起こすこととなる.

ワークが帯電する多くの場合、搬送時に帯電する ことが多いが、静止状態であっても帯電している場 合があるので、注意が必要である.

- 一般的な帯電メカニズムとしては次のようなもの がある.
- ○接触帯電: 2物体を接触させるだけで起こる帯電
- ○摩擦帯電:摩擦による帯電
- ○転がり帯電:回転体が他の物体の上を転がったと きに起こる帯電
- ○剥離帯電:接触面の分離による帯電,剥離速度が 速いと帯電量大
- ○噴出帯電:高圧ガスや液体の噴出に伴うノズルな どとの摩擦による帯電
- ○誘導帯電:静電誘導によって生じる帯電,接触さ せずに帯雷する

いずれも物体の移動、相対位置の変化と密接な関 係にあることがわかる. したがって製造工程におけ る静電気対策においては、ワーク自身の静電気に対 する特性だけではなく, ワークおよびワーク周辺に 存在する稼動部との位置関係を十分に考慮して、効 果的な静電気対策を考える必要がある.

静電気対策の基本は、帯電防止・抑制と除電、す なわちいかにワークに問題となる電荷を蓄積させな い工夫をするかということと、もしも蓄積してし まった場合にいかに効果的に電荷を取り除くのか, この二つの課題がある.

帯電防止・抑制にはワークおよび装置の材質、湿 度などエリアの環境、アースの取り方などの検討が 必要であり、蓄積してしまった帯電を取り除くには イオナイザによる電荷の中和が効果的である. また, イオナイザを常時用いることにより事前にワークの 帯電を予防することができる.

2. イオナイザの原理

2.1 イオンの発生方式

静電気障害対策のひとつの方法として,イオナイ ザによる除電は非常に効果的である.

前述のように静電気による障害発生のメカニズム はワークの材質、形状などワーク自身の特性ととも に、ワークの相対的な移動と密接な関係にあるため、 工程に合致した機種選定と設置および使用が必要で ある.

イオナイザによるイオンの発生には図1に示すよ うに種々の方式があるが、機器の取扱いの容易さか らコロナ放電式イオナイザがもっともよく用いられ ている.

コロナ放電式イオナイザは、針状の放電電極へ高 電圧を印加し、放電電極先端での電界集中により空 気を絶縁破壊し電離させることにより、プラス(正) とマイナス(負)の空気イオンを生成するものであ る.

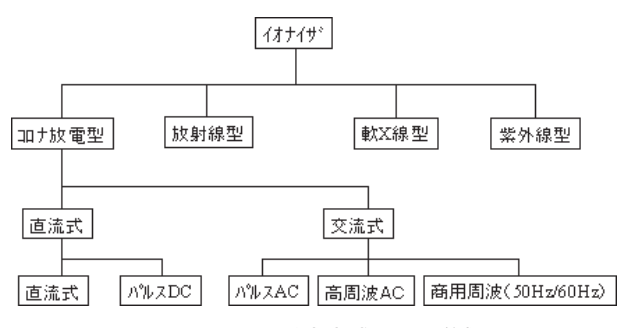


図1 イオン発生方式による分類

2.2 除電メカニズム

静電気を中和する除電メカニズムとしては、図2 に示すように放電電極の電界により生成されたプラ ス(正)とマイナス(負)の空気イオンは、圧縮空 気あるいはファンの送風により帯電しているワーク へと搬送される. このときワークがプラス(正)に 帯電しているとすれば、マイナス(負)の空気イオ ンは、クーロン力により引き付けあい中和する.プ ラス(正)の空気イオンは、クーロン力により反発 しあい空間へと放出される.

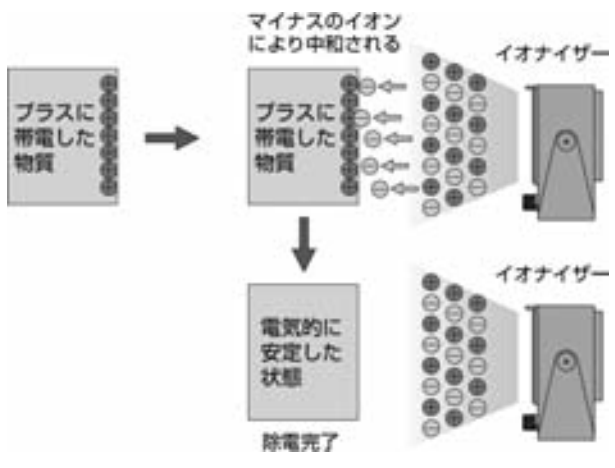


図2 除電メカニズム

このとき、ワークは搬送されてくるプラス(正) とマイナス(負)の空気イオンによりプラス(正) とマイナス(負)の帯電を繰り返す. イオンクラス ターが大きければ帯電電圧は高くなる. すなわち イオナイザの周波数が低く電荷が大きいほどイオナ イザから放出される正・負の電荷による帯電の危険 性が高くなる. 当初のワークの帯電を中和した後. イオナイザからのイオンクラスターが大きすぎるた めに逆の極性に帯電させてしまうことがあるため, 特に静電破壊電圧の低いワークの除電にはイオナイ ザの選定に注意が必要である.

3. イオナイザの種類

3.1 イオナイザの種類

イオナイザに必要とされる性能の一つには、帯電 したワークの静電気をいかに早く中和するかという 除電性能があり、その評価はチャージプレートモニ タという測定器を使い評価するのが一般的であるが ここでは詳細な説明は省く.

イオナイザの除電性能を向上させるためには、発 生した空気イオンを効率よくワークへ搬送すること が必要である.

その方法として, 圧縮空気を使い空気の流れに空 気イオンを乗せて搬送するものと、電動ファンを用 いてファンの風の勢いで搬送するものがある.

圧縮空気を使い空気イオンを搬送するタイプの用 途には、ワークの静電気を中和する除電用途と静電 気によってワークに張付いたゴミを取り除く除塵用 途がある.

また、イオナイザのタイプとしては、複数個の放 電電極を並べ幅広い除電範囲を有する図3の「バー タイプイオナイザ」、除電および除塵用途に使われ、 さまざまな形状のノズルから空気イオンを噴出しス ポット的に除電を行うことができる図4の「ノズル タイプイオナイザ」、そして、静電気により張付い たゴミの除去に使用する図5の「ガンタイプイオナ イザ」がある.

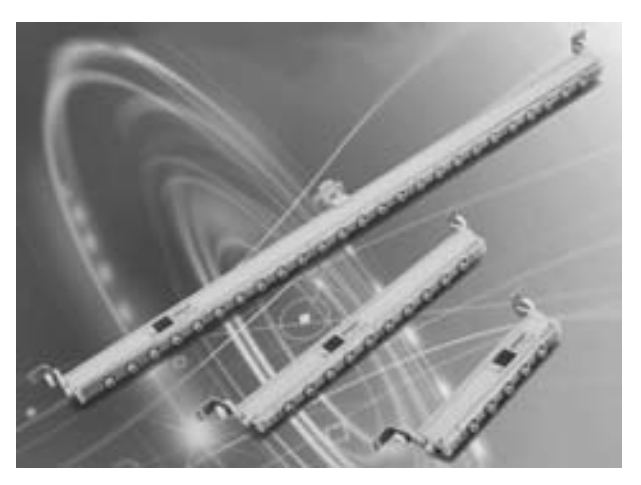


図3 バータイプイオナイザ

そのほか、電動ファンの風を利用して空気イオン を搬送し除電を行う「ファンタイプイオナイザ」が ある.



図4 ノズルタイプイオナイザ



図5 ガンタイプイオナイザ

3.2 イオナイザの使用

イオナイザの種類には、形状やイオンの発生方法、 イオンの搬送方法などの違いによる各種タイプがあ り、使用する用途により適切なものを選定し使い分 ける必要がある.

圧縮空気を利用するイオナイザの一つの用途とし てワークに張付いたゴミの除去がある. ノズルタイ プイオナイザやガンタイプイオナイザでは、圧縮空 気が噴出する勢いを利用してワークに付着したゴミ を除去すると共に、静電気で帯電しているワークの 除電を行い除塵と除電を同時に行うことができる.

圧縮空気のみで付着したゴミを除去することも可 能であるが、ワークが帯電しているとゴミの再付着 が発生するため、イオナイザを使用することにより ワークのゴミを取り除くと同時に除電を行うことが 有効である.

また、ゴミを除去する際にイオンを搬送する圧縮 空気を間欠で吹き付けることにより、ワークに付着 しているゴミを剥がす効果が上がり、ゴミを効率よ く除去することができる場合がある.

図6に示すようにワークが固定または一定方向に 移動しているような工程では、圧縮空気を間欠に吹 き付けること(間欠イオンエアブロー)により除塵 効果が向上する.



図6 間欠イオンエアブローのイメージ図

4. 静電気対策

ここに紹介したイオナイザによる除電, 除塵以外 にも、静電気障害の問題と対策方法は種々あり、特 に静電気による帯電においては、むしろイオナイザ の使用は静電気対策の方法のひとつとして考える必 要がある。また、帯電現象および放電現象による静 電気障害は、対象物のみならず環境も含め対策を講 じることが重要である.

イオナイザによる静電気障害の対策は非常に有効 な場合がある.しかし、使用方法を誤るとイオナイ ザの効果が出ないばかりか逆にワークを危険にさら すことにもなりかねない. イオナイザを使用する際 は、それぞれの特性を生かした機種選定とイオナイ ザの効果が失われないような設置方法を検討する必 要がある。また、イオナイザを設置した際の効果を 確認しておく必要がある.

参考文献

1) 静電気学会:静電気ハンドブック (1998)

(原稿受付:2012年10月1日)

教 室

入門講座「流体力学」 第3回:噴水はどこまで上がる?

者 紹 介



勉

長岡技術科学大学工学部 〒904-2188 新潟県長岡市上富岡町1603-1 E-mail: ttaka@nagaokaut.ac.jp

1989年東京理科大学大学院理工学研究科博士期課程修了. 同大学助手, 長岡技術科学大学 1989年末... 後期課程修了. 向人。 後期課程修了. 助教授, 准教授を経て, 2011年同 複雜流体力学 大学工学部教授、現在に至る。 流体関連振動の研究に従 日本機械学会などの会員.

1. はじめに

いよいよ流体の運動について勉強を始めよう.流 体の運動を理解するということは何を求めれば良い のであろうか、それを求めるにはどんな考え方や式 が必要なのだろうか. まずはまさつを無視できる流 体(理想流体)の流動を検討しよう. 皆さんよくご 存じの質点および剛体の力学と流体の力学の類似点、 相違点を考えながら流体力学の考え方の基礎を学ん でいただきたい.

流れ場を表す4つの次元と4つの物理量

問題3-1:流れを完全に理解した,というため には何を求めればよいか?

流れ場について考える前に単純な仮想物体である 質点と剛体の運動について確認しよう. 物体の運動 は移動(平行移動、回転)と変形に分けられる.質



質点および剛体の運動を表す物理量

点は質量のみで大きさのない物体であり、平行移動 のみを議論すればよい. 質点の速度の時間的な変化 $\mathbf{v}(t)(v_{\mathbf{x}}(t), v_{\mathbf{y}}(t), v_{\mathbf{z}}(t))$ がわかれば移動する軌跡や 加速度も算出できる. 剛体とは大きさはあるが変形 しない物体であり、図1(b) に示すように重心位 置の平行移動に加えて回転(角速度 $\omega(t)(\omega_x(t))$ $\omega_{v}(t), \omega_{z}(t)))$ を考慮しなければならない.

それでは流れ場を理解するには何を求めれば良い であろうか、第2回の講座で学んだとおり質点や剛 体の運動はひとつの物体の運動を時間とともに追い かける方法,ラグランジュの見方により観察する. これに対して流れ場ではオイラーの見方, すなわち 時刻と場所の関数として各種の物理量を取り扱う. オイラーの見方では速度vの3つの成分(v_x , v_y , v_z) はそれぞれが時刻と場所の関数として表される.

$$v_x = v_x (t, x, y, z), v_y = v_y (t, x, y, z),$$

 $v_z = v_z (t, x, y, z)$ (1

剛体の運動で考慮した回転(角速度)は流れの場 において必要な物理量であろうか?流れにおいて回 転は「渦」という現象に関係し、きわめて重要な因 子のひとつである.しかし、剛体と異なり形が不定 である流体の回転は単純に角速度で表すことはでき ず、回転の中心も無数に発生する. このため、流れ の中の回転は渦度という指標で評価する. 渦度は空 間的な速度差より算出されるため速度分布(式(1)) がわかれば求めることができる. 渦度は少しややこ しい概念なので次回以降に解説する.

流れ場を理解するには速度以外に必要な情報はあ るだろうか. 温度, 密度, 流体や壁面に作用する応 力なども流れ場に関係する物理量だろうか?

液体は通常,非圧縮性の物体として取り扱う.気 体は密閉容器内で圧力を加えると圧縮するが、風の ような自由な流れや停まっている空気の中で移動す る物体のまわりの流れにおいて圧縮の効果が現れる のは超音速に近い高速の場合に限られる. 普段の生 活で目にする流れ場では気体であっても非圧縮性と して取り扱うことができ、流体の密度は定数となる. また、非圧縮性であれば外部からの加熱・冷却がな いかぎり温度変化を考慮する必要もなく、温度の関

数である流体の粘度もこの場合は定数として扱える. 流体内部や流れに接する壁面に作用する応力は本講 座第1回で学んだニュートン流体の構成方程式であ るニュートンの粘性法則を用いれば速度分布から算 出することができる。では、圧力はどうであろう? 圧力は面に垂直に作用する応力(法線応力)と等価 であるが、流動により誘起される法線応力と大気圧 に代表される静圧(運動状態とは無関係に流体に作 用する周囲からの圧力) は別のものであり分けて考 慮すべきである. 魚は海の表面近くでも深海でも同 じように泳ぐことができる. つまり、遊泳に関する 流体力学は静圧の大小に影響されない. 一方で, 水 深が下がると静圧が上がり圧迫される. 底に穴のあ いたバケツに水を入れると水位が高いときには勢い よく水がもれ、水位が下がると漏れ量も小さくなる. 水位は底にかかる静圧に関係することから圧力が流 れ場(この場合は漏れ量)に影響することは容易に 予想できる. つまり、圧力は速度分布から予測可能 である応力とは分けて検討しなければならない流れ に関する物理量のひとつであり、オイラーの見方で は速度と同様に4つの次元の関数として表される.

$$P = P(t, x, y, z) \tag{2}$$

式(1)と式(2)を合わせて、図2のように流れ場は4 つの次元 (t, x, y, z) と 4 つの物理量 (v_x, v_y, v_z, P) により表すことができる. 言葉で定義すると「流れ 場の中の任意の座標と任意の時刻を指定したとき, その位置における速度ベクトルと圧力が答えられる 状態にあれば流れを完全に理解したといえる」とな る.

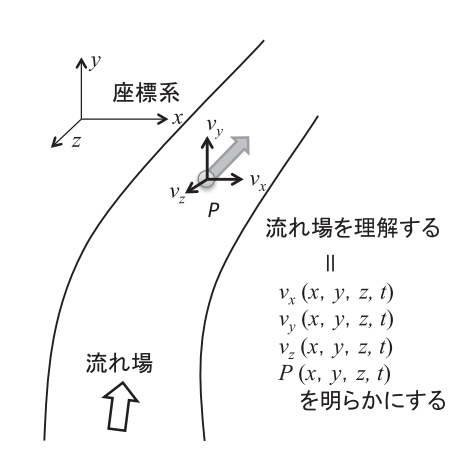


図2 流れ場を表す4つの次元と4つの物理量

本講座第2回において物体の運動を次元と定常・ 非定常で分類することで問題を簡単にできる場合が あることを学んだ. 流れの問題でも一次元や二次元 で表すことが可能な場合がある.このとき式(1)、式 (2)で示した流れに関係する4つの次元のうち1個な いし2個の次元および速度成分を現象に影響しない

ものとして無視することができる. 定常な流れ場を 対象とする場合は時間的な変動を無視できるので次 元の中から*t*を無視することができる.たとえば、 水の二次元定常流動状態を理解するためにはv_v(v) とP(x) のみを求めればよい(詳細は次回に説明予 定).

このように、対象とする流れをよく観察すると4 つの次元, 4つの物理量のいくつかを無視できる場 合があり、未知数や次元を減らすことで解析を簡単 化することができる.

3. 流れの問題を解くツール

流れに関係する物理量が流速と圧力でありこれら を求めればよいことはわかったが、解析にはその関 係式が必要である. 代数学で学んだとおり問題を解 くには未知数の数だけ方程式が必要になる、そこで つぎに流れの問題を解くための方程式を導こう.

問題3-2:一般力学においてよく用いられる保 存則を3つ述べよ.

流れの問題に限らず自然科学においては保存則を 用いて基礎方程式を得ることが多い. 力学における 基本的な保存則は「質量保存則」、「運動量保存則」、 「エネルギ保存則」の三つである. 質点の力学の基 礎方程式もこれらの保存則より導かれている. これ らと比較しながら流体力学に関する基礎式を求めて みよう.

もっとも単純な流れ場として、まさつを無視でき る流体(理想流体)のパイプ内の定常流動を考える. 図3のように途中で直径が細くなる円管流路の定常 流れを例としよう. まさつを無視すると流体は壁で 滑ることから流れに垂直な断面では半径方向のどの 位置でも速度は同じとなる. 流れの速度成分は軸方 向(x)のみとなり、時間的変化もないことからv, は流れ方向の位置に関する関数 $v_x(x)$ となる. 圧力 も同様である. これより, この流れ場は一次元定常

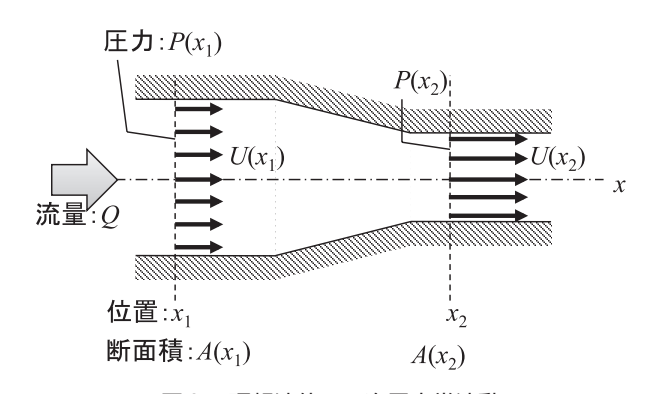


図3 理想流体の一次元定常流動

流動として取り扱うことができると考える.

$$v_x = v_x(x), v_y = v_z = 0, P = P(x)$$
 (3)

いま、1秒間にQ [m] の流体が流れているとし よう. *Q*を体積流量という. ある位置x₁に注目する とこの断面を1秒間に体積0の流体が通り過ぎるこ とになる. この断面における平均的な流速 $U(x_1)$ は Qをこの位置における断面積 $A(x_1)$ で除すればよい.

$$U(x_1) = Q/A(x_1) \tag{4}$$

断面にわたって流速は一定であるから、x₁における 軸方向の速度 $v_{x}(x_{1})$ は断面の平均流速 $U(x_{1})$ と等 しい.

つぎに、断面x2での速度を考える. x2では断面積 が $A(x_s)$ に変化している. では速度はどのように求 まるであろうか. この管路は途中で水漏れやまわり からの流れ込みがないので,x方向の位置が変わっ ても1秒間に流れる流体の質量は一定に保たれなく てはならない. つまり、質量保存則が成り立つ必要 がある. 流体は非圧縮としているので密度は不変で あり1秒間に流れる質量が一定なら体積も一定とな る. つまり、どの断面においても1秒間に流れる流 体の体積はQであり、位置 x_2 における流速 $v_2(x_2)$ は

$$v_x(x_2) = U(x_2) = Q/A(x_2)$$
 (5) となる.式(3)と式(4)より、流量 Q と断面積 $A(x)$ 、流速 $v_x(x)$ の間には以下の一般的な関係が成り立つ.

$$Q=AU=$$
一定 (6)

式(6)はまさつを考慮しない流体の一次元流れにおけ る質量保存の法則を表すものであり「連続の式」と よぶ.

つぎにエネルギ保存則の適用を検討しよう. 質点 の力学では位置エネルギと運動エネルギの和が等し いことを学んだ. 質量m[kg] の物体が速度v[m/s]で垂直上方に投げ上げられるとき、時間経過にかか わらずある瞬間の物体の高さhと速度の間には以下 の関係が成り立つ.

$$mgh + \frac{1}{2}mv^2 = -\Xi$$
 (7)

ここで、gは重力加速度を表す.これを流体の力学 に置き換える場合、質点と異なり流体は連続してい ることから質量の代わりに単位体積あたりの質量, すなわち密度 $\rho[kg/m]$ を用いる。図3の例では 位置なにおいて断面積が減少し流速が高くなること から運動エネルギが大きくなる. x₁とx₂の位置で流 体の持つエネルギが保存されるためには増加した運 動エネルギと同等の何らかのエネルギ低下が生じな ければならない. この管路が水平に設置されている とするとx₁とx₂の位置では流体の持つ位置エネルギ は変化しない. 流れを表す物理量が速度と圧力であ ることから, 低下したエネルギは圧力に関するエネ ルギと予測できる. 単位をチェックしてみよう. 流 体の持つ運動エネルギと位置エネルギの単位は.

$$\frac{1}{2}\rho v^{2}, \rho g h \sim \left[\frac{kg}{m^{3}} \left(\frac{m}{s}\right)^{2}\right] or \left[\frac{kg}{m^{3}} \frac{m}{s^{2}} m\right] = \left[\frac{N \cdot m}{m^{3}}\right] = \left[\frac{J}{m^{3}}\right]$$

$$\approx \left[\frac{N}{m^{2}}\right] = [\text{Pa}] \sim P \tag{8}$$

のように単位体積あたりのエネルギ「J/mil で表さ れ、これは圧力の単位[Pa]と同じであることが わかる. これより式(7)の質点のエネルギ保存則を単 位体積あたりの流体のエネルギ保存則として書き直 すと以下のようになる.

$$\rho g h + \frac{1}{2} \rho v^2 + P = - \overleftarrow{\mathcal{E}} \tag{9}$$

なんだかトリックのようであるので, 具体的な例 を挙げて考えてみよう.

問題3-3:図4(a)~(d)に示すように質量mの質 点,剛体,垂直なパイプ内および底 に穴のあいたタンク内に保持された 密度ρの理想流体がある. それぞれ 時刻/=0において重力により落下を 開始する.そのときx1の位置で観察 される各物体(流体)の速度を求め

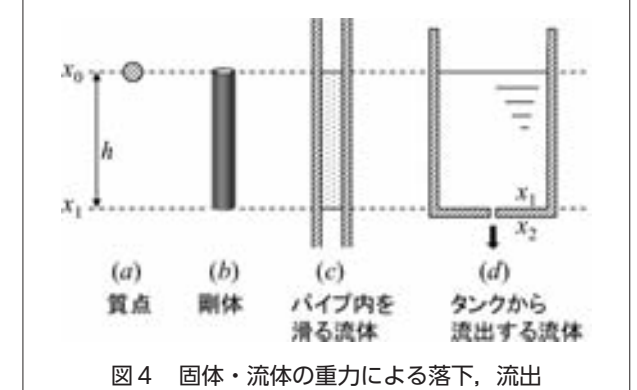


図 4(a) に示す質点は時刻tにおいて x_0 の位置に あり、重力加速度gにより落下する。位置 x_0 と x_1 で の速度をv₀、v₁とすると、式(7)に示したエネルギ保 存則より各位置でのエネルギは以下のようになる.

$$mgx_0 + \frac{1}{2}mv_0^2 = mgx_1 + \frac{1}{2}mv_1^2$$
 (10)

 v_0 はゼロであり、 x_0 と x_1 の距離をhとすると、式(10)よ りx₁における質点の通過速度は以下のようになる.

$$mg(x_0-x_1) = \frac{1}{2}mv_1^2$$

$$\therefore v_1 = \sqrt{2gh} \tag{11}$$

ラグランジュの見方では質点は時間とともに加速し ながら落下するが、位置x1において物体の通過速度 を観察している人にとっては時刻が経過しても何も 起こらず、ある瞬間に物体が速度√2ghで通過したよ

うに見える (図5参照).

図4(b) の剛体(長さh) の場合は, 落下運動は 平行移動であるので重心に全質量が集中している質 点の運動と全く同等になる. すなわち、剛体が距離 hだけ落下するときその落下速度は√2ghで与えられ る. しかし、位置x.で観察している人は質点の場合 とは異なり落下開始時刻 t=0から目の前を物体が 移動しているのが見えており、図5に示すようにそ の速度はゼロから時間とともに増加するはずである. x_0 にあった剛体の上端が x_1 を通過する際の速度は $\sqrt{2gh}$ となる.

図 4 (c) はまっすぐなパイプに長さhの範囲だけ 理想流体が満たされている. まさつを考慮しなくて よいので流体は質点や剛体と同様にパイプの中を変 形せずに重力により滑り落ちる. 形が変わらないの で剛体の運動とまったく同じと考えてよい. すなわ ち,位置x1において観察している人は流体の速度が 時刻tとともに増加し、流体の上端面が通過する瞬 間の速度は√2ghに達する、と感じる.

図4(d) はタンクに流体が蓄えられており水面か らhの深さの底面に穴があいている場合である. 図 4(c) との違いは、タンクの断面積に対して穴の面 積が小さければわずかな時間であれば水面が下がら ないと仮定できること, そして穴を通過する流体が 変形を伴う「流動」をすることである. 水面が下が らないと仮定できるなら流体全体の重心に相当する 位置は移動せず、穴から流出する流体の速度は質 点・剛体の運動では説明できない. では、なぜ流体 は穴から流れ出すのであろうか. タンクの中の流体 は重力により下に引っ張られており、それをタンク の底面が落ちないように支えている.底面に作用す る力は流体の全質量と重力加速度の積である. タン クが底面の面積Aの筒であるとするとタンク内の流 体の全質量は ρAh [kg] と表される. したがって底 面に作用する力Fは ρAhg [N] となる. タンク底面 に作用する圧力P」は底面に作用する単位面積あたり の力なので

$$P_1 = \frac{F}{A} = \rho g h \text{ [Pa]} \tag{12}$$

と表される. ただし、大気圧は無視する.

穴から流出する流体の速度を計算するには式(9)を 用いて各位置でのエネルギの比較を行う. 比較を行 う位置として、流体の上端面x₀、タンクの内側の底 面 x_1 , および流体が流出するタンクの底面の外側 x_2 の3カ所を検討してみよう.

$$\rho g x_0 + \frac{1}{2} \rho v_0^2 + P_0 = \rho g x_1 + \frac{1}{2} \rho v_1^2 + P_1 =$$

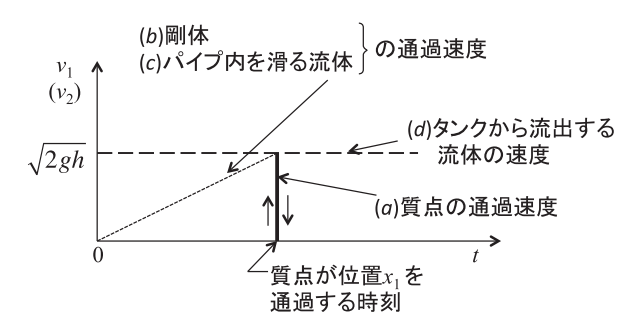
$$\rho g x_2 + \frac{1}{2} \rho v_2^2 + P_2$$
(13)

タンクの底の壁面は薄くx1とx2は高さの差が無視で きるとすると $x_0-x_2=h$ となる. タンクの水位がほ とんど動かないとするとx₀とx₁では流速はゼロとい える $(v_0=v_1=0)$. 大気の圧力を無視するなら, 開放されて大気と接している位置x₀とx₂では圧力は 大気圧と同値でありゼロとおける. x₁を基準の高さ $(x_1 = 0)$ とすると式(13)は以下のようになる.

$$\rho g h = P_1 = \frac{1}{2} \rho v_2^2 \tag{14}$$

これより、穴から流出する流速 v_2 は $\sqrt{2gh}$ となる. こ の結果は図4(a)の質点の落下速度とまったく同じ である. つまり、容器の穴から流出する流体の流速 は水面から穴まで質点を落下させたときの到達速度 と同じとなる. これを「トリチェリの定理」という.

ところで、図5に示すように質点や剛体が落下に よりこの速度に達するにはそれぞれ距離hを落下す るだけの時間経過が必要となる. これに対して容器 の底に空いた穴から流出する流体の速度は穴を空け た瞬間、たとえば穴に栓をしておいて栓を抜いた瞬 間にこの速度に達する. 図4(c) のように変形しな い流体の運動なら質点や剛体の運動とまったく同じ 考え方でよいが、流動する流体の場合には圧力とい う新たな物理量を導入することが必要となり、これ が栓を抜いた瞬間に√2ghという速度が発生するとい う現象の理由となる。 すなわち、静止した (運動工 ネルギがゼロの) 状態でも深さにより位置エネルギ と圧力の間にエネルギ保存則が成り立ち、タンクの 底面の流体は水面から落下してきた質点が持つ運動 エネルギと同等のエネルギを圧力として保持してい るのである. このため、質点や剛体と異なり位置エ ネルギを運動エネルギに転換するためにわざわざ水 面付近の流体が底まで運動する必要がなく、栓を抜 くと底面付近の流体が持つ圧力が時間遅れなく運動



位置x1における物体(流体)の通過速度の時間変化. 質点・剛体は手を離した瞬間を, 流体は栓を抜いた 瞬間をt=0とする.

エネルギに転換されて瞬時に所定の速度で流出す る.

4. 噴水はどこまで上がる?

式(9)はある位置(状態)における流体が持つエネ ルギの総量を表し、それがどの位置でも保存される こと、すなわち流体力学的エネルギ保存則を表すも のである. この式を「ベルヌーイの定理」という. パイプの中の流れや噴流の運動などは連続の式とべ ルヌーイの定理を用いることで簡単に流速や圧力を 知ることができる. では、今回の表題に掲げた問題、 噴水について考えてみよう.

問題3-4:図6に示すようにタンクに理想流体 が水深かとなるように満たされてい る. タンクの底に穴を空けチューブ を取りつけた. チューブの出口は底 面と同じ高さであるが出口は(a) 真上, (b) 斜め45度上方, (c) 真 横を向いている. チューブから噴出 する流体が描く軌道を求めよ.

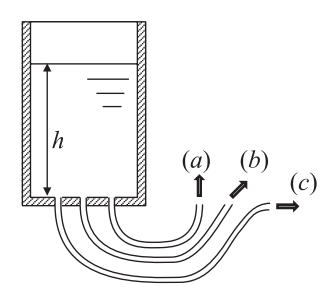


図6 チューブから噴出する流体の軌道

問題3-3(d) のタンクの底の穴からの流出問題と 流体の上端面x₀からタンクの内側の底面x₁までは同 じであるが、底面の穴にチューブが取りつけられて おり先端(出口)が底面と同じ高さとなるよう設置 されている. タンク底面からチューブに入ったとこ ろをx₂、チューブ内の出口手前をx₃、チューブから 噴出した直後をx4の位置としよう. チューブの出口 を指でふさいで流れないようにすると、すべての位 置で流速がゼロとなり圧力と位置エネルギの関係だ けで表される. タンク底面を基準の位置とするとx。 では位置エネルギが pgh, x₁からx₃はいずれも高さ ゼロであり位置エネルギはゼロとなり圧力Pのみの 状態となっている. すなわち, チューブ出口部内側 x_3 では圧力 $P = \rho gh$ である.

指を離して流体が噴出するとき, チューブから流 出した直後の噴流の直径はチューブの出口と同じで ある. つまり、連続の式から噴流の速度v₄はチュー ブ内の速度なと同じであり、 さらにタンクから チューブに入ったところx2での速度v2とも同じとな る. v_2 , v_3 , v_4 が同じ速度であることから運動エネ ルギも等しい. x₄では圧力は大気圧のみでこの場合 ゼロとおけるので、 x_1 で流体が持つ圧力が $x_2 \sim x_4$ の 位置ではすべて運動エネルギに変換される. 理想流 体は管内面をまさつなしで滑るためチューブは流れ のガイドとして作用するだけであり、チューブの中 の流れは問題3-3(c) のようにたとえ曲がりくねっ たチューブでも位置エネルギと運動エネルギだけを 考慮すればよく圧力は変化しない. また, チューブ の出口の向きが図6(a)~(c)のように変わっても, チューブを出た直後の噴流の速度以は変化しない. v_4 は水深hのみの関数となる. 空中を飛ぶ噴流は紐 のようにつながって移動するが曲がった軌道におい ても変形に対してエネルギ損失が生じない. 重力以 外の力を受けず圧力も大気圧で一定なので、軌道は 質点の飛翔軌跡とまったく同じとなる. (a)の垂直上 方に出口を向けたチューブの場合は運動エネルギが すべて位置エネルギに変換される位置、すなわち噴 流の最高到達点はもとの水面と同じ高さx₀となる. 角度が付くと噴出速度の垂直成分が角度に合わせて 減少するため噴流の到達点は下がる. 噴流の軌道は 放物線を描く. 質点の力学の知識を用いて計算して みて欲しい.

5. さて, 次回は?

以上のように噴水やパイプ内の流れに関して圧力 と速度の関係を簡単な式で予測することできた. し かし、これで十分だろうか、今回の説明に現実の問 題と合わない部分はなかっただろうか. 疑問が何も わかなかった方はぜひ, 疑いの目を持ってもう一度 読んでいただきたい.ここまで信じて読んでいただ いた方には大変申し訳ないのであるが、現実世界は もう少し複雑で厳しい. 次回の本講座のタイトルは 「『噴水はどこまで上がる?』のウソ」を予定してい る.

(原稿受付:2012年10月20日)

「トピックス)

油空圧に関するISO活動の現状

著 者 紹 介

葉 誠

一般社団法人日本フルードパワー工業会 〒105-0011 東京都港区芝公園 3-5-8

1972年上智大学大学院理工学研究科修士課程修了. 一般社団 法人日本フルードパワー工業会。ISO/TCI3I/SC7国際幹事。 本フルードパワーシステム学会会員。

1. はじめに

1968年9月、フランスおよびアメリカから国際 標準化機構(International Organization for Standardization:ISO)内に油圧・空気圧機器に関 する新規専門委員会 (TC: Technical Committee) の設置提案があり、翌1969年7月にISO中央事務局 からTC131 (Fluid Power Systems) の創設が認め られ、アメリカが幹事国に推薦された. これを受け て日本はP(Participation)メンバーとして参加す る旨をISOに回答するとともに、10月に油圧・空気 圧機器業界, 官庁, 学界を包括するISO/TC131国 内対策委員会を編成した.

1970年9月のTC131第1回総会において,分科 委員会(SC:Subcommittee)およびその下部組織 としてテーマごとの作業グループ (WG: Working Group) の構成が決められ、日本はSC1 (用語・分 類及び記号;現在はWGに分解)の幹事国に推薦さ れ、引き受けることになった. その後、1996年に アメリカのSC7と幹事国を交換し、SC7の幹事国と して現在に至っている.

1995年 1 月に発効されたWTO/TBT協定によっ て各国は自国の国家規格を制定・改正する際は、国 際規格を基礎として用いることが求められるように なり、わが国におけるISO規格の位置づけが大きく 変わった、これに対処するために、再び組織だった 対応が求められるようになった. そのため, 1996 年からは、担当する油空圧システムに関連するISO/ TC131の各WGのエキスパートを固定し、継続して 会議に出席するように体制を整えた. さらに, 1998年には標準化委員会の傘下にISO国内対策部 会を設置し、活動の強化を図ってきている. ここで は、最近のISO活動について報告する.

2. 活動状況

表1に油圧・空気圧関連のISO組織表を示す.各 TCはSCおよびその下部組織としてのWGから構成さ れる. SCがないWGは油空圧全体に関連することか らTC131の直轄下に置かれていることを示す.

各SCを担当する幹事国が決められており、SCの 議事を進行する者を議長(Chairman),WGの議事 を進行する者をコンビーナ (Convener), WGを構 成する各国を代表する委員をエキスパート(Expert) と呼んでいる.

なお、ISO規格制定への審議過程は、NP(提案段 階)→WD(作業部会段階)→CD(分科委員会段 階)→DIS(ISO規格案)→FDIS(ISO規格最終案) を経て規格発行へとつながる.

以下に各SC, WGの活動状況の概要を述べる.

2.1 TC131/WG1アキュムレータ

アキュムレータの規格には、気体式アキュムレー タに関するISO 5596, ISO 10945, ISO 10946の 3件の規格がある.

現在フランスは、欧州規格EN 14359を基にした 気体式アキュムレータの材料、設計基準、試験方法、 安全対策などを含む総合規格ISO/NP 16920を提案 し、各国が分担して原案作りを行い、現在WD段階 にある.

2.2 TC131/WG4空気圧機器の信頼性試験

2004年に始まったこの作業部会は、2007年に ISO 19973 4部作(Part 1, Part 2, Part 3, Part 4) を発行した. これらのISO規格は、JIS B 8672 空気圧―試験による機器の信頼性評価シリーズ(第 1部:通則,第2部:方向制御弁,第4部:減圧 弁)として発行された. 現在, これらのISOシリー ズは見直しに入っており、新たにPart5として チェック弁やシャトル弁などに関する規格を加えた 5規格がDIS投票段階に来ている.

2.3 TC131/WG5図記号

2006年にISO 1219-1 (図記号) の改正版を発行 した.

表1 ISO/TC 131油圧・空気圧システムの組織表

2012年8月現在

ISO		名称	幹事国
ISO/TC 131		油圧・空気圧システム	アメリカ
	WG1	アキュムレータ	フランス
	WG4	空気圧機器の信頼性評価	ドイツ
	WG5	図記号	ドイツ
	WG6	回路図	ドイツ
	WG7	用語	アメリカ
SC2		ポンプ・モータ及び集積伝動装置	ドイツ
SC3		シリンダ	ドイツ
	WG1	油圧シリンダの取付寸法	アメリカ
	WG2	空気圧シリンダの取付寸法	フランス
SC4		接続及び結合部品	アメリカ
	WG1	ポート及び継手端部	ドイツ
	WG2	フランジ・ポート結合	ドイツ
	WG4	油圧用急速継手	イタリア
	WG6	ホース及びチューブ継手との結合方 法	アメリカ
	WG9	空気圧用結合	フランス
SC5		制御用要素機器	フランス
	WG2	油圧用制御機器	ドイツ
	WG3	空気圧用制御機器	アメリカ
	WG5	空気の調質	フランス
SC6		汚染管理	アメリカ
	WG1	サンプリング・汚染分析・報告	イギリス
	WG2	フィルタ及びセパレータの評価	アメリカ
	WG3	機器及びシステムの清浄度	アメリカ
SC7		密封装置	日本
	WG2	シールハウジングの寸法	イギリス
	WG3	Oリングの設計基準	ドイツ
	WG4	回転軸用リップタイプ・シール	ドイツ
	WG9	流体と標準ゴムとの適合性	日本
SC8		要素機器の試験	イギリス
	WG1	油圧機器及びシステムの騒音測定	イギリス
	WG10	油圧電磁比例制御弁の試験方法	イギリス
	WG11	圧力定格	イギリス
	WG12	電子制御式ポンプの試験方法	日本
	WG13	容積式ポンプ及びモータ実容量の決 定方法	アメリカ
SC9		装置及びシステム	アメリカ
	WG1	油圧システム	ドイツ
	WG2	空気圧システム	イギリス

2.4 TC131/WG6回路記号

2012年にISO 1219-3 (回路図) の改正版を発行 した.

現在,新たにISO 1219-3(積層弁の記号表記) について審議を開始した.

2.5 TC131/WG7用語

2008年にISO 5598 (用語) の改正を20数年ぶり に行い、発行した.

2.6 TC131/SC2ポンプ・モータ

この分科委員会は、油圧ポンプ、モータおよび集 積伝動装置の寸法および性能特性について審議する. この委員会は, 現在は新規に規格を制定する活動 は行っておらず、既存のISO規格の見直しを投票で 行っている.

2.7 TC131/SC3シリンダ

この分科委員会は、揺動アクチュエータを含めて、 シリンダの寸法および性能特性について審議する.

WG1油圧シリンダにおいては、附属金具寸法お よび取付寸法について審議をしており, ISO 10762 シリンダの取付寸法―10MPaシリーズの定期見直 しにおいて、日本のコメントが採用され、日本がプ ロジェクトリーダとなって改正することになった.

WG2空気圧シリンダにおいては、シリンダの取 付寸法について審議している. ここでは、日本が提 案したショートストロークシリンダについての規格 案が採用され、ISO 15524として2011年11月に発 行された.

2.8 TC131/SC接続及び結合部品

この分科委員会は、継手、フランジ、急速継手お よびホースアセンブリなどについて審議している.

WG1継手については、ほとんどがすでに使用実 績のあるものについて審議しているため、特に問題 もなく進行している.

WG2フランジについては, ISO 6164について日 本からボルト強度について提案を行い、議題として 取り上げられることになっている.

WG4急速継手については、2008年ごろからイタ リアを中心に活発な審議が行われている. ISO/ CD7241-1急速継手シリーズ(Part1: 寸法及び要 求事項、Part 2:試験方法)について審議が行われ ている.

WG6ホースアセンブリの清浄度測定方法に関す る規格の提案がイタリアから出されたが、日本など の強硬な反対に合い廃案となる見通しである.

2.9 TC131/SC5制御用要素機器

この分科委員会は、制御要素機器の寸法および性 能特性について審議している.

WG2油圧用制御機器については、新規制定はな く, 改正が中心でISO/DIS 7790 (4ポートモジュ ラスタック弁の締付け寸法)では、モジュラスタッ ク弁の取付高さH2寸法が日本の製品に合致しない ことから修正を求め、受け入れられている.

WG3空気圧用制御機器については、流量特性試 験シリーズISO 6358の審議を行っており,日本提案 の(Part 1:通則及び定常流れ試験方法, Part 2: 代替試験方法) はともにFDISの段階に来ている. フランス提案の(Part 3:複数機器接続時の計算法) はDISの段階である.

WG5空気の調質については、日本が提案した減 圧弁や電空圧力制御弁の流量特性を求める代替試験 方法ISO 6953-3が2012年8月に発行された.

2.10 TC131/SC6汚染管理

この分科委員会は,作動油の汚染分析,フィルタの 評価およびシステムの清浄度について審議している.

2008年には、固形粒子によって汚染された液体 の清浄度をモニタするための手法に関する規格ISO 21018シリーズ(Part 1:一般原則, Part 3:フィ ルタ目詰り法)を制定した.

現在は、光学顕微鏡を用いた計数法による微粒子 測定法に関する規格ISO 4407:2002が定期見直し 投票にかかっている.

2.11 TC131/SC7密封装置

日本が幹事国を努めている唯一の分科委員会であ る. この分科委員会は、密封装置(0リング、オイ ルシール、ガスケットなど)の寸法および性能特性 などについて審議している.

WG2シール溝の寸法については, ISO 5597を 2010年に発行した. 現在, ワイパリングの規格ISO 6195 の改正を行っており、現行の4タイプから改 良タイプのE, Fを追加する提案がなされ、Eタイ プのみを追加することにしてDISへと進んでいる.

WG30リングの設計基準については, ISO 3601 Oリングシリーズの改正を行い(Part 1:Oリング の寸法、Part 2:ハウジングの形状・寸法、Part 3:外観品質基準, Part 4:バックアップリング) が2008年に発行された. (Part 5:ゴム材料の選定 基準)は、現在WD段階で各国の意見を調整中であ

日本は、ミリ系列のOリングシリーズの規格を提 案しているが、欧米の数の論理で否決されている.

WG4回転軸用リップタイプ・シールについては, ISO 6194シリーズPart 1 ~ Part 5 の改正を行い, 2009年にすべて完了した. 2011年には関連する熱 可塑性プラスチック製オイルシールに関する規格 ISO 16589シリーズPart 1 ~ Part 5 を日本がプロ ジェクトリーダとなって改正した.

2.12 TC131/SC8要素機器の試験

この分科委員会は、要素機器の性能特性の評価方 法について審議している.

WG1油圧機器およびシステムの騒音測定につい ては、ISO 10761-1 (油圧-システムと機器から発 生する圧力脈動レベルの測定方法-第1部:ポンプ の吐出し流量脈動と内部インピーダンスの測定方 法)の改正案を日本から提案し、現在DIS段階に来 ている.

WG10油圧比例電磁弁の試験方法については、 ISO 10770-1 (4方向流量制御弁)が2009年に発 行された. 現在, ISO 10770-2 (3方向流量制御弁) を改正中である.

2.13 TC131/SC9装置及びシステム

この分科委員会は、油空圧システムの設計、構成、 取付け、性能評価、運転、保全および安全などに関 わる事項について審議している. 安全に関する基本 姿勢は, つぎのとおりである.

- a) ISO 4413およびISO 4414:1998とEN 982: 1996との統合
- b) 欧州機械指令2006/42/ECに従った安全要求 事項との統合
- c) 機械安全に関する国際規格を考慮した安全要 求事項の更新

WG1油圧システムについては, ISO 4413 (油圧 一システム及びその機器の一般規則及び安全要求事 項)が、2010年に改正された.この改正によって、 適用範囲が、従来の工業の製造工程において用いら れる機械設備の油圧システムを対象とするものから、 設置式産業機械に車両機械を含めた機械全般に使用 する油圧システムを対象とするものに広がっている.

WG2空気圧システムについては, ISO 4414 (空 気圧ーシステム及びその機器の一般規則及び安全要 求事項)が、2010年に改正された. この改正に よって、適用範囲が、これまでの工業の製造工程に おける空気圧システムから、機械類全般に使用され る空気圧システムに広がっている.

3. おわりに

2012年6月8日付け日本経済新聞に『先行日本, 標準化ならず:電気自動車の充電規格、競争激し く』という記事が載った. すでに実用化している日 本の充電器に対し、欧米諸国は2013年に実用化予 定の欧米方式を規格化する意向があるという記事で ある.

一般に、ISO規格は各国のその分野の技術の専門 家が集まり高度な技術的審議を経て制定されるもの と思われがちであるが、実際にはISO規格の制定に は参加国の思惑が絡み合う. 欧州は欧州規格をISO 規格とするという戦略を立てて攻勢を強めてきてい る. 日本は、1996年以来、各WGのエキスパートを 固定し、継続して会議に出席することで対応してい るが、ISO規格に日本の意向を反映させるためには、 より積極的にJIS規格をISO規格に提案する、SCの議 長、WGのコンビーナを受け持つことなどが求めら れる. 新規ISO規格の提案は、ある程度増えてはき ているが、欧米諸国に比べると十分とはいえない.

わが国が技術的に先行する分野については、SC, WGといった場面で積極的に提案を行い早期規格化 の活動をより一層強化する必要があると考えている.

(原稿受付:2012年9月4日)

トピックス

韓国駐在員日記

著 者 紹 介



宮 俊 之

韓国油研工業株式会社 Rm 210, ASIA Bld., 413-49, Shindorim-dong, Guro-Gu, Seoul, 152-887, Korea E-mail: to.sannomiya@yuken.co.jp

2001年 神奈川大学経済学部卒 油研工業件入社

韓国油研工業㈱に出向、現在に至る 2008年

1. はじめに

2008年10月に韓国駐在員として韓国へ赴任し, 今月(2012年10月)で丸4年が経過した. 韓国駐 在5年目を迎え月日の流れの早さを感じるが、それ にもかかわらず、一向に上達しない筆者の韓国語レ ベルについて反省しながらこの原稿を執筆している.

2008年の赴任当時から現在までを,筆者の中で あらためて振り返りながら, 韓国生活を紹介してい きたい.

2. 韓国について

韓国の面積は約98,480平方キロで日本の約26%, 人口は約48百万人で日本の約38%である。首都ソ ウルには、人口のほぼ半数の約20百万人が住んで いる.

韓国経済を牽引する原動力は、自動車・船舶・携 帯電話・石油化学製品などから構成される輸出業で ある. ウォン安を背景に輸出競争力を発揮する韓国 企業に日本企業は苦しめられている.生活水準は日 本と変わらず, 多様な食材, 生活用品が手に入り, 拘りがなければ日本とほぼ同じ物を揃えることがで きるので特段不便は感じない.

社会問題として、日本以上の熾烈な幼少時からの 受験戦争, その後の就職難が挙げられる.

3. 韓 国 語

この文章を読んでいただいている方の中には、韓 国語の記号のようなもの、すなわちハングルが気に なっている方もおられると思われるので、まずハン グルについて説明をしたい.

結論からいえば、ハングルは日本語の平仮名や片 仮名に相当し、ハングルで構成される単語の50パー セント以上が漢字もしくは英語に当てはめることが 可能と思われる.

たとえば「沿小⇒感(カム)謝(サ)」と「진로 ⇒眞(ジン)露(ロ)」という具合だ. さらにそれ を元に「사진⇒写(≒謝)真(≒眞)」は「サジン」 と類推することが可能となるのである.

日本語と韓国語は基本的に文法が同じであるため, 筆者は上記のように単語だけを頼りにして 4年間の 韓国生活を乗り切ってきた. 韓国のインターネット サイトでの予約や購買、地図検索程度であれば特段 不便なくこなせるようになった.

しかし発音に関しては、たとえば同じ「ン」の発 音でも複数の種類があり、大した違いも無いように 筆者が思っても、相手にとっては致命的な間違いの ようで、なかなか聞き取ってもらえずに心が折れる こともしばしばある.

4. 食

平日の昼食は会社の外で食べることがほとんどで あるが、一食あたり6.000~8.000ウォン程度(600 円位)で食べることができる、メニューは辛いもの が多いが、美味しいものが多く、赴任当初は体重が 急増した (図1).

基本的には会社のメンバー皆である程度固まって 食べに行く. 会社の韓国人メンバーが一人で食べに 行くことはほとんどない.理由を聞いてみると,お 店で一人で食べている人はおかしな人に見え、そう 見られるのも嫌なのだそうで日本人の感覚からする と不思議に感じる. 若いメンバーに聞くとあまり気 にならないという回答もあるので生活スタイルが変 わってきているのであろう. いずれ, コンビニエン スストアで買ってきた弁当(韓国ではまだ種類や味 が劣る)を、事務所で一人で食べるというスタイル も一般的になるかもしれない.



サムギョプサル(豚焼肉)

5. 韓国の交通

韓国語が読めるようになると、筆者は韓国の安い 交通料金もあって日本在住時よりも週末に出かける 頻度が増えた.目的地に行くことも楽しいが、出発 当日までの計画立案・交通手段、宿泊場所の手配が 面白く感じることも大きな理由だ(図2).



図2 KTX (韓国高速鉄道)

さて、韓国の主な公共の交通機関は地下鉄・バ ス・タクシーである. 料金は総じて安く, 地下鉄は ソウル市内であれば一律1,000ウォン(約70円)程 度で乗車可能で、日本のように細かく区間別に料金 は設定されていない. 車内での携帯電話の使用につ いては、周囲に配慮して通話すれば問題はない. 優 先席に若者が座っている姿はあまり見かけず,一般 席であっても高齢者がいれば即座に譲ったり誘導し たりするところはさすが儒教の国だと思った. 駅や 車内には日本語のアナウンスもあり, 初めて韓国に 来られる方でもわかりやすいと思う.

つぎに市内バスについてだが、こちらも地下鉄同 様料金は安く,市内であれば大抵1,000ウォン程度

で移動可能である. 運転は、急ブレーキ急発進は当 たり前でスピードも速く車内で立っている場合は気 を抜けない、運転手さんは自分の好みの音楽やラジ オをかけていることが多く, 気分が高揚しているの かもしれない. ちなみに韓国のバスと電車は下車後 30分以内であれば料金が発生することなくつぎの 交通機関に乗ることができる.

最後にタクシーについてだが、運転の部分では基 本的に運転はバスと大差ない. バスに比べ座席・手 すりは確保されているので一応は安心できる.

これらの交通機関は日本同様, カードに金額を チャージして料金を決済するシステムに対応してい る.

6. 週末の思い出

6.1 登 Ш

韓国には地形的にたくさんの山があるが,一番高 い山でも2.000メートル未満である。韓国では登山 を趣味にしている人が多く、街中でも登山スタイル の方をよく見かけるし、登山用品専門店も多い.筆 者は、現時点で韓国の上位3位までの山を登頂した. 登頂といっても登山道はよく整備されていて、ハイ キングに近い(図3).

登山中は、日本語で話しかけられることもしばし ばで日本語を喋れる人の数の多さに驚く、うっかり 変なことはいえないと思った.

また、待避所で夕食を作る際、お湯が無く困って いたところ隣の家族の方からお湯を分けていただき, さらに食事にまで混ぜていただいたことがあったが. 今でもいい思い出となっている.

ところで韓国の有名な山はほぼすべて国立公園に 指定されていて、公園内では待避所など、指定され た場所以外, 火気厳禁である. 自然保護の観点から 一定期間入山禁止になる場合もあり、自然に対する



図3 智異山頂上

姿勢が伺える.

6.2 板門店

韓国にいる間に一度は行っておきたかった場所が 軍事境界線、板門店(パンムンジョム)である、板 門店とは韓国と北朝鮮の軍事境界線上の村の名前な のだが、政府認定のツアーでしか来ることができな い. 参加の際には、服装や持ち物も厳しくチェック された.

ソウルからバスに乗って1時間ほどで板門店に到 着. 注意事項の説明を受けた後、軍事停戦委員会・ 本会議場と呼ばれる建物に入るとサングラスをした 韓国軍兵士が立っている. サングラスをかける理由 は、北朝鮮側の兵士に表情を読み取られてトラブル が起こるのを防ぐためらしい. 本会議場内はかなり 緊張感があるのだが、観光スポット化していること が面白く感じられた. なお. 北朝鮮でも同種のツ アーが行われているらしいので機会があれば北朝鮮 側から来てみたい (図4).



図4 板門店にて

7. おわりに

駐在生活は、現地での習慣・風土・考え方の違い もあり、毎日のようにさまざまなことが、予想外の 角度から起こるので本当に刺激的である. 高層ビル での引越しが高所作業車を使って外から行なわれる こともしばしば見かけた(図5).



図5 韓国の引越し

あとどのくらいの期間駐在しているのかはわから ないが、このような良い経験を今後にどう生かして いくかをよく考えながら生活していきたい.

(原稿受付:2012年10月30日)

研究室紹介

東京工業大学横田・吉田研究室

著 者 紹 介



いち 横 田

東京工業大学精密工学研究所 〒226-8503 神奈川県横浜市緑区長津田町4259-R2-41 E-mail: syokota@pi.titech.ac.jp

1975年 東京工業大学大学院修士卒,同大学 助手,助教授を経て, 1995年同大学精密工学研 究所 教授 機能性流体を応用したマイクロア クチュエータ・センサ・システムの創成研究に 従事. JSME, JFPS, AEMなどの会員.



弘 田 和

東京工業大学精密工学研究所 〒226-8503 神奈川県横浜市緑区長津田町4259-R2-42 E-mail: yoshida@pi.titech.ac.jp

1989年東京工業大学大学院博士課程修了,同 授). 2008年10月~2009年3月米国UCSB客員研究員. 流体マイクロマシン, 機能性流体の研究に JFPS, JSME, IEEEなどの会員. 工学博士

1. はじめに

東京工業大学横田・吉田研究室は、1995年に横 田が教授になって以来,今日に至っている. その間, フルードパワーシステムとくに油圧および機能性流 体に関する基礎およびその応用についての研究を共 同で行ってきている.機能性流体については、「マ イクロ」をキーワードとして研究を進めてきている.

2. 研究室の概要

研究室の教員は横田教授, 吉田准教授, 金俊完助 教、嚴祥仁助教の4名である、学生は、博士課程は この9月に2名修了して現在はいない. 修士課程学 生は、2年次が4名、1年次が5名、学部卒論生が 3名である.これにフランスから修士課程の研究員 1名,中国浙江大からYSEPで学部4年生1名が加 わって14名の学生がいる. この他に, 鈴木事務員 と西岡技術員がいる。図1は、9月に撮影した、研 究室の集合写真である.

研究室は, 東急田園都市線すずかけ台駅から3分 のすずかけキャンパス内R2棟2階にあり、最近耐



図 1 研究室構成員

震改修が行われたため、建物および周囲は比較的き れいな環境にある.

周囲は、ぶな林が多く自然環境には恵まれており、 たまに、道でへびとかたぬきを見かける.

3. 最近の研究テーマ

・横田研究室:現在は機能性流体ECFを対象とした 研究に主眼を置いている. とくにECFジェットを 用いた「マイクロ液圧」の可能性を探っている1).

3.1 MEMS技術を用いたECFマイクロ液圧源

マイクロ液圧を考えたとき、ポンプのマイクロ化 がネックとなる. これを解決して、ポンプ一体形ア クチュエータを実現できるECFマイクロポンプの開 発を行っている.

ECF効果をより密度高く, 再現性良く得るために, MEMS技術を応用して平面電極を高さ方向に積み上 げてアスペクト比を大きく取った2.5次元ともいう べき三角柱-スリット電極対を提案・試作してい る²⁾. この三角柱-スリット電極対を直列あるいは 並列に並べて製作すれば望みの圧力流量を得ること は可能である. これを二次元に並べて展開したポン プの一例を示すと図2のようになる. 縦10列横3 列になるように試作した電極対の体積あたりのパ ワー密度は、 ECFとしてFF101_{EHA2}を用いたとき 4 kV印加時に0.16W/cmを示して、ほぼ針-リング電 極対と同じ体積パワー密度が得られている. このパ

ワー密度は、体積が1cm以内のマイクロポンプでは 世界最高水準である.

これをさらに高さ方向に立体的に積むことを現在 試行中である. この3次元集積のポンプを圧力駆動 のマイクロアクチュエータに内蔵することにより、 マイクロ液圧アクチュエータの高機能化を実現でき ると期待している. 現在, 助教の金俊完と修士2年 の山田嘉穂がおもに担当している.

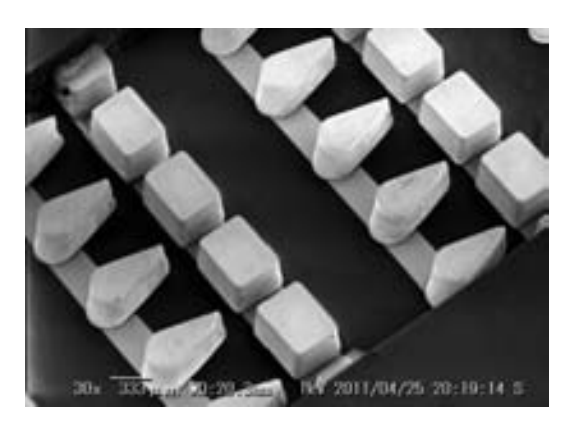


図2 MEMSによる並直列三角柱-スリット電極対

3.2 ECFマイクロ液圧源1体形マイクロアクチュ

ECF効果に注目して、そのジェット圧力により、 ソフトマイクロアクチュエータ駆動に用いてきてい る. そのジェット発生器としては、針-リング電極 対をこれまで使用してきたが、この針-リング電極 対は、体積あたりのパワー密度は高いものの、三次 元形状をしている上に手作りでしか調整できないた め、自由な組み込みや大量生産によるコスト削減を 困難にしている. これはMEMS技術を応用した三角 柱-スリット電極対導入で解決できる.

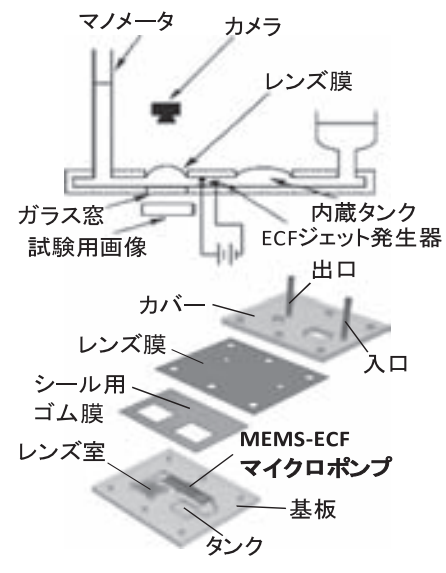


図3 ECF可変焦点レンズの装置展開概略⁴⁾

この三角柱-スリット電極対を縦1列に並べたマ イクロポンプはすでに、ECFマイクロレートジャイ 口³⁾およびECF可変焦点レンズ⁴⁾ などに応用を試み ている. 図3は、ECF可変焦点レンズの原理確認用 に試作した装置の概略である. 現在、修士2年の山 下悟がおもに担当している.

3.3 ECF駆動マイクロレートジャイロ

これまでに、ECFジェットを利用した液圧マイク ロレートジャイロを提案している. これは振動ジャ イロよりも衝撃に強く、マイクロポンプ組み込みの ため薄く小形化できる. このジャイロを大量生産す るためには、MEMS技術によるECFポンプの実装が 欠かせない. このマイクロレートジャイロは. 図 4 の写真に見えるように2つの戻り流路と中央流路に 分けられており、内部は三角柱-スリット電極対を 直列に有するECFマイクロポンプと中央流路部のノ ズルから構成されている. 両側のマイクロポンプか ら噴出したECFジェットの圧力を利用することで中 央のノズルから再度ECFを噴流として噴出させる. ここで, ジャイロ本体平面と直交する軸回りの角速 度が加わると、ノズルから噴出された噴流が角速度 に応じたコリオリ力により偏流する. この偏流量を, 図4中のホイートストンブリッジ回路で検出するこ とによってマイクロレートジャイロが実現できる.

現在、図4の写真に示す、ECFマイクロ液圧源、 ノズルを含むマイクロ流路、ホットワイヤを一体化 したマイクロチップを基板上に作製し, 流路をECF で満たした1チップECFマイクロレートジャイロを 試作検討している。現在、博士修了の今村恒彦がお もに担当している.



1 チップ化したECFマイクロレートジャイロ³⁾

・吉田研究室:以下二つはERFに関する、吉田研を 中心としたテーマである.

3.4 FERMA

分岐管を走行する管内作業マイクロマシン、医 療・福祉用マイクロデバイスなどのため、FERVを 用いたFERMA (Flexible ER MicroActuator) を提案, 開発している. FERV (Flexible ER Valve) とは, ERF (Electro-Rheological Fluid) の見かけの粘度を 印加電界により変化させその流れを制御するERバ ルブを柔軟構造で実現したものである.

カンチレバー形FERVは、主に柔軟なフォトレジ ストSU-8製で、厚さ方向に屈曲することができる. MEMSプロセスを開発し,流路部の長さ5mm,幅 2.4mm, 厚さ0.2mmのFERVを試作し, 屈曲のER効果 への影響がほとんどないことを確認するとともに FERMAに応用し、その動作を確認している.

また、ERバルブの電極を軸方向に分割し柔軟な ゴムチューブで接続した電極分割形FERVを提案, 長さ10㎜のアーム2本から成るグリッパに応用し、 図5に示すように把持機能を実現している⁵⁾. 現在 修士1年の塚本昇がおもに担当している.

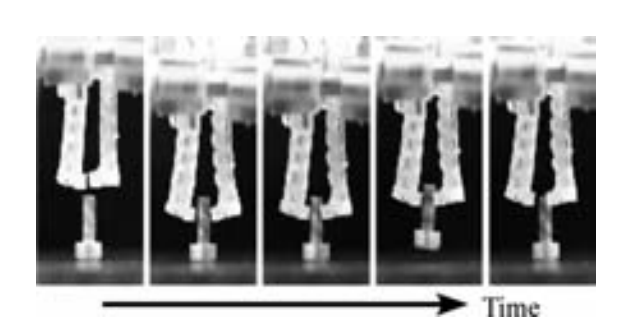


図 5 電極分割形FERVを用いたグリッパ⁵⁾

3.5 交流圧力源を用いた多自由度ERマイクロアク チュエータシステム

従来のERマイクロアクチュエータは、1個につ きERFの配管が供給用と排出用で2本必要であり, またERFの基底粘度が比較的高く各配管を細くでき ないため、配管のスペースが多自由度化の限界を与 える. そこで、1本の配管で作動流体の供給・排出 を行うとともに、配管側とアクチュエータ側の作動 流体を水とERFに柔軟膜で分離することで配管を細 くできる、交流圧力源を用いた多自由度ERマイク ロアクチュエータシステムを提案, 開発している6. 本システムはERバルブとゴム製チャンバの組合せ を有し、圧力源の交流圧力と同期してERバルブを オン/オフすることでゴム製チャンバの伸縮を行う. ラージモデルとして長さ16㎜のアーム2本から成 るグリッパを試作し、動作確認している. 現在、修 十1年の三好智也がおもに担当している.

4. 学生の視点から

今年度の横田・吉田研究室は、学生数が前年度の 9人から今年度14人に大増員され学生室が非常に にぎやかになりました. また, 9月からフランスと 中国から留学生が来ており,英語による会話が研究 室で頻繁に行われているので、学生室内に少しグ ローバルな雰囲気が漂っています.

本研究室では、学生が積極的にものづくりを行っ ており、特にECFやERFなどの機能性流体はその動 作原理が不明確な部分も存在するので、学生が自身 で製作したデバイスを用いた実験を頻繁に行ってい ます.機能性流体を用いるデバイスを製作するとき に主に用いられるのがMEMSプロセスによる精密微 細加工で、学生は毎日クリーンルームに足しげく 通って日々試行錯誤に取り組んでおります.

図6は今年の8月上旬の研究室臨海合宿の写真で す. 本研究室では臨海合宿以外にも春のハイキング, 鹿沢林間合宿を毎年恒例の行事として行っておりま す. また, 月に1度行われる研究報告会の後にもワ イン会(横田先生がチョイスなされたおいしいワイ ンを皆でいただく会)を行っており、学生は日々研 究に悪戦苦闘しながらも、楽しい研究生活を送って (三好 智也)



図6 臨海合宿の様子

5. おわりに

生き方として、昔からアクティブに研究活動をす ることを心がけてきた. 学生にも, 故中田孝東京工 業大学名誉教授が提唱してきた「学遊一如」を実践 することを薦めているが、実際におもうように実行 することはなかなか難しい. 研究会の後には、オフ サイドとして飲み会を毎月している. 少なくとも, 横田研究室を出るとワインの飲み方は多少身につく という程度にはいつも努力しているつもりである. また、修士学生には費用研究室持ちでの海外での学 会発表をなるべく勧めているが、ようやく最近希望 者が増えつつあるのはうれしいことである.

参考文献

- 1) 横田眞一:マイクロ液圧(基調講演), 平成22年秋季フ ルードパワーシステム講演会講演論文集, p.1-6 (2010)
- 2) Kim, J.-W., Suzuki, T., Yokota, S., Edamura, K.: Tubetype micropump by using electro-conjugated fluid (ECF), the Journal of Sensors & Actuators, A, 174, p. 155-161 (2012)
- 3) 横田, 今村, 鈴木, 竹村, 枝村, 熊谷: 電界共役流体 を用いたマイクロ液体レートジャイロの研究,日本機 械学会論文集C, 75-750, p. 496-502 (2009)
- 4) Kim, J.-W., Yoshimoto, T., Yokota, S., Edamura, K.: Concept of a Focus-Tunable ECF Microlens and

- Fabrication of a Large Model Prototype, the International Journal of Automation Technology (IJAT), 6-4, p. 476-481 (2012)
- 5) Yoshida, K., Hara, S., Eom, S. I. and Yokota, S.: A Novel Microgripper Using Flexible Electro-Rheological Valves, Proc. of 13th Mechatronics Forum Int. Conf., p. 834-839 (2012)
- 6) 吉田和弘・三好智也・嚴祥仁・横田眞一:交流圧力源 を用いた多自由度ERマイクロアクチュエータシステム, 機学2012年度年次大会DVD論文集, J113015 (2012)

(原稿受付:2012年10月5日)

平成25年春季講演会併設セミナー

「自動車技術とフルードパワー」

(編集・企画委員会合同企画)

開催日時:2013年5月29日(水) 13:00~16:30

開催場所:機械振興会館 本館

(東京都港区芝公園3-5-8)

旨:自動車において、フルードパワーは動力伝達系、 懸架装置系、操舵性能、制動性能等に深く関わる基盤技術 であり、今日の自動車技術の発展に大きく寄与しています. 一方、従来フルードパワーが担っていた機能のいくつかは、 電動化が大きく進展していることも事実であります. しか しながら、HV、PHV、EV等、新世代のエコカーにおいて は、電動とフルードパワーの競合といった側面よりも、電 気・電子技術とフルードパワー技術を融合することで、お 互いの特徴をより引き出すとともに、地球環境問題を見据 えた、新技術開発を進めることがますます重要となると考 えられます. 以上のような背景から、標記のテーマで自動 車技術とフルードパワーに関する最新の研究、技術開発成 果に関するセミナーを開催いたします.

なお、本セミナーは学会誌を担当する編集委員会と, 講 演会やセミナーの企画を担当する企画委員会の合同企画事 業の第10回目です。 先に学会誌44巻第2号(次号)で同 じテーマで特集を組み、執筆された方々の中から講師を数 名お招きし、この学会誌をテキストとして、本セミナーに おいてご講演いただき、解説記事を深く理解する機会を設

詳細のご案内は次号の会告欄でお知らせいたしますが、 ご要望、ご意見等ございましたら学会までお知らせくださ い. 可能な限り皆様のご意見を盛り込んだ形で、本セミ ナーを開催させていただきます. 春季講演会との併設開催 ですのでフルードパワーシステムの最新情報を得る絶好の 機会であります。ぜひ春季講演会とセットでの参加登録を お勧めいたします.

お問い合わせ:

一般社団法人 日本フルードパワーシステム学会 〒105-0011 東京都港区芝公園3-5-22

機械振興会館別館102

Tel: 03-3433-8441 Fax: 03-3433-8442

E-mail: info@jfps.jp

(企画行事)

ステルソン教授の特別講演会

者 紹 介



中

法政大学デザイン工学部システムデザイン学科 〒102-8160 東京都千代田区富士見 2-17-1 E-mail: y_tanaka@hosei.ac.jp

1985年東京工業大学大学院修士課程修了, その後東工大精密工学研究所助手を経て, 1991年 法政大学講師, 1992年同助教授, 2002年同教授, 現在に至る. 工学博士(1991年東京工業大学)

1. はじめに

アメリカ合衆国の全米フルードパワー工業会 NFPA (National Fluid Power Association) は全米 科学技術財団(NSF)からの大規模な補助金と企業 からの出資により、2007年から小形で高効率なフ ルードパワーのための研究センター(CCEFP: Center for Compact and Efficient Fluid Power) を 設置し、核となる7つの大学(ミネソタ大学、イリ ノイ大学, ジョージア工科大学, パデュー大学, バ ンダーベルト大学、ミルウォーキー大学、ノースカ ロライナ州立大学) の大学間コンソーシアムと産学 連携により、次世代のフルードパワー教育研究を積 極的に進めている1).

この研究センターのディレクターであるミネソタ 大学のKim A. Stelson教授ご夫妻(写真1)が、日 本のフルードパワー教育研究の視察のため2012年 7月下旬から8月中旬にかけ来日され、7月下旬の 1週間ほど東京に滞在する予定との連絡が4月下旬 に学会関係者に入った. これを受け、学会の企画委 員会と国際交流委員会は、2012年7月25日(水) に東京・法政大学市ケ谷田町校舎において,特別講 演会と技術懇談会を企画開催した.本稿では,講演 に使用された図の一部を引用しながら、この企画行 事の様子を報告する.

2. フルードパワーによる効率的な輸送手段

特別講演は「Efficient Transportation with Fluid Power」のタイトルで行われた. 月末の平日の夕方



写真1 ステルソン教授ご夫妻(中央・右)と藤谷事務局 長(左)

CCEFP Test Beds



CCEFPにおける4つのテストベッド(講演資料より

からの設定であったが、企業や大学の関係者を中心 に50名ほどの参加があった.

まずCCEFP設立の経緯やビジョン、構成メンバー などの紹介が行われた. CCEFPはその名称からもわ かるように、小形軽量 (Compact)、高効率と省エ ネルギー (Efficient), クリーンで静粛・安全 (Effective) な次世代のフルードパワーシステムの 実現を目指した全米総合研究センターとして発足し た. したがって研究テーマは多岐にわたっているが, テストベッドと呼ばれる成果を実証する対象システ ムとして図1に示す4つの装置あるいはデバイスを 想定して活動を進めている. すなわち, 大きな仕事 を行う建設機械のような移動機械、省エネルギーな 油圧ハイブリッド自動車、高性能で高出力な小形作 業ロボット,人間をサポートする機器の4つを対象

としている.

こうした対象はすべて、フルードパワーの特長で ある、機器配置の柔軟性や双方向駆動、非常に大き な可変減速比、高出力・高トルク・高応答、小形・ 高出力密度、容易な拘束特性などに適していること が、フルードパワーと電動や機械式駆動方式との比 較を基に紹介された.

一方、フルードパワーの課題として、低い動力伝 達効率,騒音,漏れ,低いエネルギー蓄積密度,汎 用性と大衆性の欠如などが指摘され、特に建設機械 や油圧ハイブリッド自動車を対象とした取り組みに より、これらの課題を克服する研究がすすめられて いることが紹介された. 全米でフルードパワーの伝 動装置で消費されるエネルギーは、消費エネルギー 全体の2.3~3.0%に相当し、フルードパワーの平 均伝動効率が21%であることを考慮すると、効率 の改善はエネルギー消費に大きなインパクトがある とのことであった.

講演の後半では、主に油圧ハイブリッド自動車に 関する紹介が行われた. 3つのタイプの主要油圧ハ イブリッド自動車の構成において,油圧機器の効率 がさらに向上すれば、シリーズハイブリッドやパ ワースプリットハイブリッド方式の低燃費性が向上 することがシミュレーション解析により明らかと なっていること、すでにいくつかの小形コンセプト カーが試作されていることなどが紹介された. これ らの油圧ハイブリッド自動車の課題は,油圧ポン プ/モータの高効率化と、アキュムレータのような エネルギー蓄積素子の小形化と高性能化にあるとの 指摘であった.

最後に、風力エネルギーへのフルードパワーの可 能性についての言及があった. 油圧ポンプ/モータ (HST) による動力伝達の原理を用いて、図2に示 すように, 従来の機械式による風力発電のプロペラ の回転数増速用歯車列や発電機を風車本体塔上(ナ セル) に必要としない構成をとることができるため,

HST wind turbine with ground based generator



図 2 油圧駆動による風力発電の利点と構成(講演資料よ り抜粋)



写真 2 技術懇談会の参加者による記念写真

小形軽量で信頼性や維持管理の容易なシステム構成 とすることができる点が強調された、長い配管の抵 抗損失や動特性など課題も多いが、再生利用可能エ ネルギーの技術開発は、これからの日本の大きな テーマの一つでもある. 日本のフルードパワーの果 敢な挑戦を期待したい.

またCCEFPは、次世代のフルードパワーを担う若 手エンジニアの育成にも力を入れており、企業など とも協力して、インターンシップや奨学金による学 生の支援を積極的に行っている. こうした点も日本 のフルードパワーの産業界や学界は参考とすべきで

なお本特別講演の資料は、ステルソン教授のご厚 意により、日本のフルードパワー関係者に自由に配 布することができる. 資料入手をご希望の方は、学 会事務局か著者までお問い合わせいただきたい.

3. おわりに

講演会終了後、場所を高層階の会場に移し、都心 の夜景を眺めながら、多くの参加者がステルソン教 授ご夫妻を囲んで、和やかな技術懇談会が開催され た. 写真2は参加者による記念写真である. ステル ソン教授時夫妻はこれまで数回、日本を訪問されて おり、多くのフルードパワー関係者との再会を懐か しんでおられた.

今回のご夫妻の来日のもう一つの目的は、奥様の カレンさんがライフワークとして手掛けておられる, 長崎の被爆者・安井幸子さんの体験を綴った児童向 け英語書籍の出版準備のための調査であった. 書籍 はほぼ完成しており、最後に挿絵となる写真を探し ておられるとのことであった.ご夫妻が住むミネソ タ州のミネアポリス・セントポール市は長崎市と姉 妹都市の関係にあり、その関係で、カレンさんは長 崎在住の安井さんと親交があるとのことであった. 東京では、国会図書館や大学図書館で写真や新聞資 料を収集したり、当時の新聞や関連文献を検索した りした. 著者の研究室の女子学生が東京での4日間

の調査に同行し、様々な資料の収集整理を手伝った. 奥様は、8月から広島と長崎に滞在し、両市の平和 祈念式典にも招待されているとのことで、ミネアポ リス・セントポール市長から広島と長崎の市長に宛 てたメッセージも持参しておられた. こうしたご夫 妻の親日家としての一面は、フルードパワーだけで なく, 今後の日米両国の文化交流とさらなる友好交 流関係の強化を強く印象付けることとなった.

最後に、ご夫妻の今回の東京滞在中、見学対応を 快く引き受けていただいた東京工業大学, 上智大学, 芝浦工業大学、法政大学および機械振興協会技術研

究所の関係者の方々と, 見学や調査作業にボラン ティアで同行し, 手伝いを買って出てくれた法政大 大学院生の近藤瞳、坂間清子さんの両名に、この場 を借りて感謝申し上げます.

参考文献

1)田中豊、米国フルードパワー教育・研究の現状とERC について、フルードパワー(日本フルードパワー工業 会誌), Vol. 21, No. 1, p. 17-22 (2007)

(原稿受付:2012年10月9日)

会告

平成25年春季フルードパワーシステム講演会併設企画

「製品・技術紹介セッション」の講演募集案内

(一社) 日本フルードパワーシステム学会 企画委員会

本講演会では、企業関係の方々に製品・技術の紹介をし ていただくオーガナイズドセッション(「製品・技術紹介 セッション」)の通算14回目の開催を企画しました.本企 画は、企業関係の方々に、現在、企業がお持ちの製品・技 術あるいは検討課題などを、学会主要行事の1つである講 演会で発表していただき、会員間で問題意識を共有し、会 員相互の研究・技術の交流の促進を図ろうとするものです. また、本セッションの講演は、平成15年より表彰事業の 1つとして設立された「最優秀講演賞」社会人部門の審査 対象となります。企業関係の会員みなさまの参加を心より お待ちしております.

講演申込方法,前刷原稿の書式,申込および原稿の提出

期限などは、基本的には一般の講演と同じになりますので、 本誌会告の「講演募集要項」をご参照ください. ただし、 講演者が手軽に講演いただけるように、以下の3点が一般 の講演とは異なりますので、お気をつけください.

- (1) 講演内容は、新規あるいは従前の製品・技術、製品 開発の際発生した問題点や、検討課題、製品開発に 至った背景などを紹介していただきます.
- (2) 講演時間は、通常の講演より短く15分(発表11分、 討論4分)とします.
- (3) 講演原稿は、手軽に執筆していただけるよう2ペー ジと短くしました.

61

会 告

〈理事会・委員会日程〉

12月7日 委員長会議 12月14日 基盤強化委員会 情報システム委員会 1月8日 1月25日 理事会 1月28日 編集委員会 2月1日 企画委員会

〈第4回 理事会〉

11月19日 15:00~17:00 機械振興会館6-62 (出席者17名)

- 1) 平成24年春季講演会論文賞審査結果について
- 2) 学会紹介パンフレットについて
- 3) 平成25年度フェロー認定者推薦について
- 4) 会長・副会長会議に関する運営規程について
- 5) 表彰規程の改訂について
- 6) 各委員会の運営規程について
- 7) 財務基盤の強化について
- 8) 各委員会間の迅速な意思疎通と迅速なアクションにつ いて
- 9) 会員の推移と入退会者について
- 10) その他

〈委員会報告〉

第4回委員長会議

11月2日 15:00~17:00 機械振興会館B3-7 (出席者12名)

- 1) 平成24年秋季講演会の準備状況ついて
- 2) 平成25年度フェロー認定者推薦について
- 3)委員会の運営規程について
- 4) 学会誌掲載記事の体裁変更について
- 5) 国際シンポジウムに関する内規(案) について
- 6) 会員入会申込書について
- 7) 各委員会の報告
- 8) その他

第3回企画委員会

11月16日 15:00~17:00 機械振興会館 B3-3 (出席者21名)

- 1) 平成24年度実施事業に関する報告・審議事項
 - ・公益事業について、終了報告
 - ・オータムセミナーについて
 - ・平成24年秋季講演会について

- ・ウインターセミナーについて
- その他
- 2) 平成25年度実施の事業に関する報告・審議事項
 - ・春季講演会について
 - 講演会併設セミナーについて
 - ・秋季講演会について
 - ・オータムセミナーについて
 - ・公益事業について
- 3)確認事項
 - ・会誌11月号の掲載予定会告記事について
 - ウインターセミナー開催会告
 - ・企画委員会規程について
 - ・WGの構成について
 - その他

第4回編集委員会

12月4日 14:00~17:00 田町キャンパスイノベーションセンター (出席者20名)

- 1)会誌特集号の現状と企画について
- 2) トピックスについて
- 3)会誌フォーマットの改定について
- 4)編集委員会規程について
- 5) 学会誌44巻表紙カラーについて

平成24年度 ウインターセミナーのお知らせ

「アクアドライブシステム(新水圧駆動技術) の現状と将来」

開催趣旨:

水圧駆動技術)のスタート当初の目的は地球環境問題に立 脚するものであった. すなわち, 油圧作動油による環境汚 染を防止するため従来の油圧システムの代替という考え方 が主であった. しかしながら、現在では、油圧、空気圧、 電動駆動システムという従来の駆動システムを適用するの が困難な分野に用いる第4の駆動源としての位置づけを目

20世紀末にスタートしたアクアドライブシステム(新 … 指し、アクアドライブシステムの研究開発が各所で進めら れている。その結果、本学会の講演会にもその成果が徐々 に発表されるようになってきた。本セミナーでは、このよ うなアクアドライブシステムに着目し、その技術の現状と 将来を展望します、皆様の積極的なご参加をお待ちしてお ります.

開催日時:2013年2月22日(金) 10:55~16:40 場:機械振興会館 本館 地下3階 B3-1 〒105-0011 東京都港区芝公園3-5-8 http://www.jspmi.or.jp/about/access.html

プログラム:

10:55~11:00 開会の挨拶

企画委員長 大内 英俊(山梨大学)

11:00~12:00 「水圧駆動システムにおける省エネルギー化」

上智大学 池尾

環境融和性の高い水道水を用いた水圧駆動システムの利用が注目され、高効率の水圧駆動技術が求 められている. しかし、水の低粘性による内部漏れ等の問題により、可変容量型ポンプ/モータの 開発が困難であり、エネルギー回収による省エネルギー化を行うことは難しい、このような状況の 中で、水圧駆動システムの省エネルギー化の可能性について説明する.

12:00~13:00 休憩(昼食)

13:00~14:00 「水圧マッキベン型人工筋を用いた水中歩行訓練補助装具の開発」 芝浦工業大学 伊藤 和寿 近年、リハビリテーション分野においてもクリーンな駆動源である水圧技術の適用が進められてい る. 本セミナーでは水圧技術をマッキベン型人工筋に適用した例として、水中歩行訓練補助装具の 開発について紹介し、水圧システムの新しい可能性について考える。具体的には、水圧人工筋のモ デル化および補助装具に取り付けた人工筋の変位を推定するアプローチについて概説する.

14:00~14:10 休憩

14:10~15:10 「アクアドライブ技術の超精密工作機械への有効利用」 神奈川大学 中尾 陽一 超精密工作機械は光学部品の創成に利用されている.この場合,要求加工精度は数十nmオーダで あり、このような高い加工精度を達成するためには、スピンドルやテーブルの高い運動精度や熱的 安定性が必要不可欠になる。本講演では、アクアドライブ技術を利用した超精密工作機械用スピン ドルやテーブルについて紹介する.また、水静圧軸受を利用する際に、高い軸受剛性を実現するた めの軸受絞りの設計問題についても紹介する.

15:10~15:20 休憩

15:20~16:20 「ADS技術:最近の応用と展望」

KYB株式会社 宮川 新平

安全・衛生、クリーン、省資源、省エネルギーは民生、産業の中で確実に定着してきた。ADS(新 水圧技術)はこの様な社会的背景に高い貢献性を有している。ここでは、これまで学会、工業会、 企業が実施してきた研究、開発、製品化の実用化された具体的事例を紹介する。併せて、「水利用・

63

排熱利用」の視点からもADSの位置付けを考察して、将来技術と市場を展望する.

16:20~16:30 閉会の挨拶, アンケート記入

企画委員会幹事 桜井 康雄(足利工業大学)

参加費:参加費にはセミナーの聴講料およびテキスト1冊の代金が含まれます.

(1) 事前登録(締切日:平成25年2月12日厳守)

正会員 賛助会員企業の社員	名誉員 シニア員・ジュニア員 学生会員* ¹	工業会会員企業の社員 共催・協賛団体の正会員	一般
14,000円	5,000円	16,000円	19,000円

(2) 事前登録締切日以降

正会員 シニア員・ジュニア員* ² 賛助会員企業の社員	名誉員 学生会員	工業会会員企業の社員 共催・協賛団体の正会員	一般
15,000円	7,000円	17,000円	20,000円

- *1 会員資格について不明な点は、事務局までお問い合わせください.
- *2 事前登録締切日以降は、シニア員・ジュニア員の参加費は正会員と同じになります。

申し込み方法:

参加申込は、学会ホームページ(http://www.jfps.jp)上で行ってください.

詳細はホームページをご覧ください.

問合せ先:一般社団法人 日本フルードパワーシステム学会

〒105-0011 東京都港区芝公園 3-5-22 機械振興会館 別館102

- (1) 郵便振替貯金 00110-3-133690
- (2) 三井住友銀行 日比谷支店(普) 7611417
- * 口座名はいずれも「シャ)ニホンフルードパワーシステムガッカイ」です.

お詫びと訂正

本学会誌43巻,第6号(2012年11月)英文目次【Lecture】におきまして、以下のような著者名の記載ミスがありま した.

【誤】An Introductory Course of Fluids Mechanics: The second: Change your perspective! Osamu TAKAHASHI

(正) An Introductory Course of Fluids Mechanics: The second: Change your perspective! Tsutomu TAKAHASHI

関係各位に大変ご迷惑をおかけしたことを深くお詫び申し上げ、ここに訂正させていただきます。

〈編集委員会〉

日本フルードパワーシステム学会・日本機械学会 共催

平成25年春季フルードパワーシステム講演会のお知らせ

開催日:平成25年5月30日(木), 31日(金)

講演募集要項

平成25年春季フルードパワーシステム講演会を下記の とおり開催します。29日午後には編集委員会と企画委員 会の合同企画による併設セミナー「自動車技術とフルード パワー」を予定しております. また, 特別講演・基調講 演・製品技術紹介・技術懇談会などを計画しております.

詳細は後日、学会ページに掲載いたしますので、ご確認 くださいますようお願いいたします. 皆様の積極的なご参 加をお待ちしております.

1. **開催日時**:平成25年5月30日(木)~31日(金)

9:00~17:00 (予定)

2. 会 場:機械振興会館 本館

> 〒105-0011 東京都港区芝公園3-5-8 (http://www.jspmi.or.jp/about/access.html)

なお、講演会場は午前8:30から使用可能です。また、 受付は8:45から行います.

- 3. 講演会の種類:学術講演. 基本的に講演内容はフルー ドパワーシステムの分野に関連するものに限ります.
- 4. 講演申込者の範囲: 共催両学会の会員およびその会員 を含むグループ. ただし、講演者は会員に限ります.

5. 講演申込要領:

- (1) 申込方法:講演申込者は、当学会のホームページ (http://www.jfps.jp) 上で講演申込を行ってください. 詳細はホームページをご覧ください.
 - 注)郵送、FAXでの申込は受けつけません. なお、ま た、講演申込後の講演タイトル等の変更はできま せんのでお申し込み時に十分ご注意ください. ま た、ご講演日時のご指定はプログラムの編成作業 上承ることができませんので、ご了承ください.
- (2) 講演申込締切日:平成25年4月3日(水)
- (3) 前刷原稿の書式:1題目につき3頁(図・表含む). サンプルファイルを学会ホームページからダウン ロードしてご使用ください.
- (4) 前刷原稿締切日:平成25年4月17日(水)必着 締め切りを論文集作成に必要な最小日数で設定しま した. 締切日に未着の原稿は論文集に掲載できない 場合がありますのでご注意ください.

(5) 前刷原稿提出方法:PDF化した原稿ファイルを学会 ホームページ上からご提出ください. 詳細はホーム ページをご覧ください. PDF化に際しましては図・写 真の画質にご注意ください. なお, ファイルサイズ は2MBまでです.

6. 講演会の形式:

- (1) 講演時間:1題目につき20分(講演15分, 討論5 分)を予定
- (2) 座長:会員中からあらかじめ見識ある方を人選しま す
- (3) 講演論文集:申込講演の前刷原稿をオフセット印刷 し、一冊に編集します.
- (4) 討論:講演発表時に, 5分間討論の時間を設けてあ りますが、さらに講演会終了後1ヶ月間は会員より 「書面による討論」を受け付けています. 講演者はそ の討論に対して学会へ書面をもって回答することを 原則とします.
- (5) 論文集への投稿:講演者は講演会終了後の討論締め 切後、「日本フルードパワーシステム学会論文集」に 投稿できます.

7. 参加登録:

- (1) 講演会の参加者は参加登録が必要です。また、講演 会の講演者は前刷原稿締切日(平成25年4月17日 (水))までに事前登録が必要です。参加登録は、学会 ホームページ (http://www.jfps.jp) 上で行ってくだ さい. 詳細はホームページをご覧ください.
- (2) 登録料:登録料には各種講演の聴講料および講演論 文集1冊の代金が含まれます. なお, 参加登録者は, 技術懇談会に参加することができます.

事前登録(平成25年5月15日(水)まで 厳守)の方は、 つぎの表に示す割引料金となります.

※ただし講演者の方は上記7.(1)の通り、前刷原稿締切 日(平成25年4月17日(水))までに事前登録をお願 いいたします.

講演会と併設セミナーを同時に事前登録されますと、併 設セミナー分の登録料が2,000円割引となります.

65

	正会員 賛助会員企業の社員	名誉員・シニア員・ ジュニア員・学生会員	日本フルードパワー工業会会員企業の 社員,共催・協賛団体の会員(正会員)	一般
講演会	18,000円	10,000円	20,000円	23,000円
併設セミナー	14,000円	5,000円	16,000円	19,000円
講演会+併設セミナー	30,000円	13,000円	34,000円	40,000円

平成25年5月16日(木)以降(講演会当日を含む)のご登録の場合

	正会員 賛助会員企業の社員	名誉員 学生会員	日本フルードパワー工業会会員企業の 社員,共催・協賛団体の会員(正会員)	一般
講演会	20,000円	15,000円	22,000円	25,000円
併設セミナー	15,000円	7,000円	17,000円	20,000円

- 注1 シニア員, ジュニア員の割引料金は事前登録の場合のみ適用されます. 事前登録締切り以降の場合は, 正会員と同料金 での受付となります.
- 注2 会員資格について不明な点は、事務局までお問い合わせください.
- 注3 同一の講演者が複数の講演を行う場合、2件目以降は、1講演につき7,000円が加算されます。
 - (3) 別売り講演論文集料金:登録料に含まれる1冊の講 演論文集とは別に論文集を購入される場合、正会員・ 名誉員・賛助会員企業の社員6,000円,フルードパ ワー工業会会員企業社員,協賛・共催団体社員8,000 円,一般10,000円で当日受付にて購入できます。ま た, 学会ホームページ (http://www.jfps.jp) から講 演論文集申込書をダウンロードしE-mailに添付して学 会宛(info@jfps.jp)に送信する方法でも購入できま

す. ただし、発送は講演会終了後となります.

連絡先:一般社団法人日本フルードパワーシステム学会 〒105-0011 東京都港区芝公園 3-5-22 機械振興会館 別館102

> E-mail info@jfps.jp TEL 03-3433-8441 FAX 03-3433-8442

会告

会 員 移 動

会員の種	種類	正会員	海外会員	学生会員	賛助会員
会 員 (11月15日		905 (注1)	15	155	103
差引堆	自 減	+5	0	+2	0

(注1) 正会員の内訳 名誉員14名・シニア員22名・ジュニア員180名

正会員

谷口 浩成 (津山工業高等専門学校)

曽谷 康史 (川崎重工業株)

西股 健一(SMC(株))

清水 則雄 (SMC(株))

斉藤 啓司 (KYB(株))

学生会員

近村 真孝(早稲田大学)

Kamali Mohammadreza(東京工業大学)

会 告

一般社団法人 日本フルードパワーシステム学会 賛助会員会社一覧

アイシン・エイ・ダブリュ(株)

(株)明石合銅

アズビル(株)

(株)アドヴィックス

イートン(株)

(株)医器研

(株)IHI

出光興産(株)

イナバゴム(株)

(株)インターナショナル・サーボ・データ

㈱打江精機

SMC(株)

SMC(株)中国

NOK(株)

(株)大阪ジャッキ製作所

大瀧ジャッキ(株)

(株)オプトン

鹿島通商(株)

KYB (株)

KYBエンジニアリング・アンド・サービス(株)

KYB-YS(株)

川崎重工業(株)

キャタピラージャパン(株)

協和シール工業㈱

極東開発工業(株)

(株)クボタ

クロダニューマティクス(株)

(株)工苑

甲南電機(株)

(株)コガネイ

コスモ石油ルブリカンツ(株)

(株)小松製作所

ザウアーダンフォス・ダイキン(株)

(株)阪上製作所

(株)鷺宮製作所

三和テッキ(株)

CKD(株)

(株)島津製作所

(株)ジェイテクト

勝美印刷(株)

(株)ジコー

JX日鉱日石エネルギー(株)

新日鐵住金(株)

住友建機(株)

千住金属工業(株)

TACO(株)

第一電気(株)

(株)TAIYO

(株)タカコ

(株)タダノ

ダイキン・ザウアーダンフォス・マニファクチャリング(株)

ダイキン工業(株)

ダイワ(株)

大生工業(株)

(株)中央パッキング

調和工業(株)

株)TNK

天竜丸澤(株)

トーヨーエイテック(株)

東京メータ(株)

TOHTO(株)

東北特殊鋼㈱

東明工業(株)

DOOSAN CORPORATION

東洋機械金属㈱

同和発條(株)

東京計器(株)

特許機器㈱

特許庁

㈱豊田自動織機製作所

(株)豊田中央研究所

中村工機(株)

長津工業(株)

長野計器(株)

ナブテスコ(株)

ニッタ(株)

67

日新沪器工業(株)

日本アキュムレータ(株)

日本工業出版(株)

日本精器(株)

日本電産トーソク(株)

日本ムーグ(株)

(株)ハイダック

日立建機(株)

(株)日立製作所

広瀬バルブ工業(株)

ピー・エス・シー(株)

フェスト(株)

(株)フクダ

(株)不二越

二見屋工業(株)

ボッシュ・レックスロス(株)

昌富工業(株)

マサモト(株)

松巳鉄工(株)

(株)增田製作所

マックス(株)

ヤマシンフイルタ(株)

ヤマハモーターハイドロリックシステム(株)

油研工業(株)

理研精機(株)

会 告

共催・協賛行事のお知らせ

協賛行事

一般社団法人 日本機械学会 関西支部 第324回講習会

「事例に学ぶ流体関連振動(トラブル事例相談会付き」

共 催:機械力学・計測制御部門

催:2013年1月28日(月),29日(火)9:10~17:00 開

場: 大阪科学技術センター 8階 中ホール (大阪市西区靭本町1-8-4/電話(06)6443-5324(代)/地下鉄

四つ橋線「本町」駅下車,28番出口北へ400m)

次世代油圧伝達システムワークショップ

開 催:2013年2月25日(月) 13:30~17:00 (第1部), 17:15~19:00 (第2部)

場:法政大学市ヶ谷田町校舎(デザイン工学部棟)5階マルティメディア教室他

主 催:法政大学デザイン工学部

催:(一社) 日本フルードパワーシステム学会、(㈱)ティーエヌケー、タマティーエルオー(㈱)、先端モーションシミュ 共

レータ技術研究所

編集室

次号予告 - 特集「自動車技術とフルードパワー| —

〔巻頭言〕「自動車技術とフルードパワー」発行にあたって 五嶋 裕之 〔解説〕自動車と流体制御 田中 裕久 フルードパワーとショックアブソーバ技術 坂井 静 自動車用トルクコンバータ内の油圧解析技術 健 ШΠ 回生協調ブレーキ 上野健太郎, 大谷 行雄, 佐伯 秀之 電動油圧式電子制御パワーステアリング用オイルポンプの開発 倉田 昌和 泰宇, 手塚 英至, 橋場 New V6エンジン用VTEC with Vシステムの紹介 一雄 商用車向けACサーボモータ駆動ポンプ制御電動油圧パワーステアリング 佐藤 恭一, 平野 謙一, 田中 裕久 [FPIC会議報告] Mechatronics2012におけるフルードパワー技術研究 吉田 和弘 FPMC2012におけるフルードパワー技術研究動向 尹 鍾皓 日本ロボット学会第30回記念学術講演会におけるフルードパワー技術研究 佐々木大輔 ICMT2012におけるフルードパワー技術研究動向 器 祥仁 山梨講演会2012におけるフルードパワー技術研究動向 鈴木 勝正 計測自動制御学会Annual Conferenceと流体計測制御シンポジウムに観る フルードパワー技術研究動向 (仮題) 藤田 壽憲, 加藤 友規 〔教室〕おもしろ油圧機構 第11回 油圧で扱う量と計測機器 大橋 彭 入門講座「流体力学」第4回:噴水はどこまで上がる?のウソ 勉 高橋 〔トピックス〕TC131/WG4空気圧機器の信頼性評価 小根山尚武 アメリカ駐在日記 田村 和也 〔研究室紹介〕岡山大学大学院自然科学研究科知能機械制御学研究室 則次 俊郎 大内 英俊, 桜井 康雄 〔企画行事〕平成25年度企画行事紹介 平成24年度オータムセミナー開催報告 兵藤 訓一

平成25年度「フルードパワーシステム」編集委員

委員長 吉 田 和 弘(東京工業大学) 委 員 成 田 晋(KYB株) 副委員長 塚 秀 行(東京工業大学) 海 孝 夫 (防衛大学校) 越 員伊 藤 雅 則 (東京海洋大学) 田 壽 憲(東京電機大学) 内 堀 晃 彦 (宇部工業高等専門学校) 丸. 田 和 弘 (株)コマツ) 大 橋 彰 (油研工業株) 村 松 久 巳 (沼津工業高等専門学校) 小 倉 弘(日立建機(株)) 柳 \mathbf{H} 秀 記(豊橋技術科学大学) 加 藤 友 規(福岡工業大学) 山 田 真の介 (株)TAIYO) 木 原 和 幸 ()財工業所有権協力センター) Ш 田 敏 夫 (株)コガネイ) 俊 完 (東京工業大学) 金 吉 満 俊 拓(神奈川工科大学) 栗 林 直 樹 (川崎重工業) 担当理事 宮 川 新 平 (KYB(株)) 山 田 宏 尚(岐阜大学) 五 嶋 裕 之 (機械振興協会) 佐藤恭一(横浜国立大学) 妹 尾 編集事務局 藤 谷 秀 次 (学会事務局) 満 (SMC株) 多 田 昌 弘 (CKD(株)) 竹 内 留 美 (勝美印刷株) (あいうえお 順) 野 政 身(東北大学)

複写される方へ

本会は下記協会に複写に関する権利委託をしていますので、本誌に掲載された著作物を複写したい方は、同協会 より許諾を受けて複写してください.ただし(公社)日本複写権センター(同協会より権利を再委託)と包括複写 許諾契約を締結されている企業の社員による社内利用目的の複写はその必要はありません。(社外頒布用の複写は 許諾が必要です.)

権利委託先:(一社)学術著作権協会

〒107-0052 東京都港区赤坂9-6-41 乃木坂ビル

TEL: 03-3475-5618 FAX: 03-3475-5619 E-mail: info@jaacc.jp

なお、著作物の転載・翻訳のような、複写以外の許諾は、学術著作権協会では扱っていませんので、直接本会へ ご連絡ください.

日本フルードパワーシステム学会論文集

第44卷, 第1号 (2013)

平成25年1月

目 次

研究論文

- 1. 可動翼型吸込み・送風エアポンプにおけるブレード摺動トルク特性
 - 植木 忠博, 稲葉 一雄 1
- 2. カルマンフィルタを用いた管内非定常流量・圧力の推定
 - 小澤 明, 眞田 一志 8
- 3. 鉄道車両用真空式トイレにおける真空特性と消費エネルギー に関する研究

藤野 謙司, 山本 円朗, 谷口 宏次, 山本 寛

- 伊藤 正彦,黎 しん,尹 鍾晧,香川 利春 16
- 4. 油圧 L 字配管チェックボール挙動の実験的解析
 - 梶原 伸治, 田中 達也 23

TRANSACTIONS OF THE JAPAN FLUID POWER SYSTEM SOCIETY

Vol.44, No.1 January 2013

Contents

P	a	p	e	r
Г	a	p	e	ľ

ı a	per	
1.	Characteristics on Sliding Torque of Blades in a Slide-Blade Type Air Pump	
	Tadahiro UEKI, Kazuo INABA	1
2.	An Estimation of Unsteady Flowrate and Pressure in a Pipe using Kalman Filter	
	Akira OZAWA, Kazushi SANADA	8
3.	A Study on the Vacuum Characteristics and the Energy Consumption of the	
	Vacuum Toilet System for Vehicle	
	Kenji FUJINO, Nobuaki YAMAMOTO, Koji TANIGUCHI, Hiroshi YAMAMOTO,	
	Masahiko ITO, Xin Li, Chongho YOUN, Toshiharu KAGAWA	16
4.	Experimental Analysis of Check Ball Behavior for L-shaped Pipe	
	Shinji KAJIWARA, Tatsuya TANAKA	23

Published by
The Japan Fluid Power System Society
c/o Kikaishinko Building
3-5-22 Shiba-koen, Minato-ku, Tokyo, 105-0011, Japan

研究論文

可動翼型吸込み・送風エアポンプにおけるブレードの摺動トルク特性*

植木思博**.稲葉一雄***

Characteristics on Sliding Torque of Blades in a Slide-Blade Type Air Pump

Tadahiro UEKI**, Kazuo INABA***

Slide-blade type air pumps are utilized in printing machines as an air source which provides both the action of air blowing and suction necessary for the paper handling. In the air pump, a large part of the motor power is occupied by the sliding friction between blades and cylinder surface of the casing. So, it is necessary to clarify the mechanism of the friction quantitatively in order to design practical dry air pumps with longer life and less energy consumption.

In the paper, first of all, the sliding force by a single blade was measured experimentally through the axle torque, and its mechanism was made clear. Then, the torque by multi-blades was investigated similarly, and its characteristics which should be affected by chamber pressure were analyzed. As a result, the following conclusions are obtained:

- 1). The sliding torque by a single blade indicates a cyclic change with rotor rotation, the absolute value of which is far larger than the theoretical one estimated by the centrifugal force to the blade solely.
- 2). The sliding torque by a single blade is affected significantly due to the constraint of the blade movement at the rotor slit. Specifically, the sliding torque is the largest around a point between the maximum protrusion hight and the maximum thrust speed. Therefore, the set angle of rotor slits is an important parameter for the blades behavior.
- 3). In actual air pumps with multi-blades, the air pressure in the blade chambers as well as in the bottom space of the rotor grooves seriously affect the blade motion along the rotor slit. Therefore, air holes connecting the bottom of the rotors slits as well as air slots formed on the blade side-face are effective for decreasing the sliding torque.

Key words: Air pump, Air blow, Air suction, Blade, Power consumption, Sliding torque, Paper handling, Printing machine

1. 緒 言

枚葉印刷機や製本機械などの高速化に伴い,周辺機器の1つであるカットシートフィーダに対して,重送防止の性能アップが求められている。そのエアアシスト機構では、空気流をシートのサイドエッジに向けて噴きつけることによってシート同士の付着を解きほぐす一方,紙面を負圧吸引する。この2つの機能を同時に担うのが,可動翼型吸込み・送風エアポンプである(以後,エアポンプと略称)。偏心ロータの回転によって翼室容積を変化させるという作動原理は従来の可動翼型回転圧縮機と何ら変わるものではないがその構造と機能はかなり異なっている。要は、必要な吸引負圧と排気送風量が1台のエアポンプによって供せられるという利便性,圧力・流量の微調整への対応性など

して独自に発展し、国内外の専業メーカがその製造に当たっている。またエアポンプをヘリュームガス回収ポンプや排煙ポンプとして活用する新たな用途が検討されている。エアポンプの特徴は圧力比が小さいこと、ブレードの出入(突出し/後退)を遠心力のみに依存する単純構造であること、ブレードがケーシング内壁を直接摺動すること、およびブレードの枚数やロータのスリット角などに見出すことができる。なお実用に際しては、吸込み・送風効率が低いことに加え、軸動力の大半がブレードとシリンダの高速摺動摩擦によって占められるという機械効率の低さが弱点となる¹⁾。そのため潤滑には特段の配慮を要する反面、エアポンプ本体の温度上昇に加え吸込み負圧によりミスト化した潤滑油が、紙面はもとより作業環境の汚染源となること、あるいは劣化潤滑油の処理などへの対応上、潤滑油

が買われて、ペーパハンドリングアシスト用エアポンプと

このような背景から斯界では、オイルフリーのドライエアポンプが待望され、既にその実用化が始まっているが、 鋳鉄ブレードからカーボンブレードへの転換が定着しつつ

の消耗を極力抑えなければならないというジレンマも抱え

(所在地 〒135-8548 東京都江東区豊洲 3 - 7 - 5)

(所在地 〒140-0013 東京都品川区南大井1-16-1)

ている.

^{*}平成23年5月13日 原稿受付

^{**}芝浦工業大学工学部機械工学科

^{***(}株)ナピコ

あるドライエアポンプにとって、ブレード摩擦トルクの抑制は切実な課題である. また送風エア中に混入したカーボンブレードの摩耗粉による紙面の汚染、あるいはカーボン粉塵に対するフィルター等の保守にも悩まされている.

2. 研究目的

エアポンプの駆動トルクは、理論仕事とブレード摺動摩 擦の2成分からなる. このうち理論仕事トルクを試算して みると、たかだか0.2Nm程度であり、吐出圧をかなり高く 設定したとしても実駆動トルクに比べると遙かに小さいこ とから、その大半がシリンダに対するブレードの摺動摩擦 によって占められることは明白である. 問題はこのブレー ドの摺動トルクを支配する要因である. エアポンプと機構 が類似している可動翼型回転圧縮機や油圧ベーンポンプに 対してブレード摺動トルクの力学的解析がかなり行われて はいるものの^{2),3)}、仕様や運転条件などの大きく異なるエ アポンプではそれらからブレード挙動を類推するにはかな り無理がある。しかも観察が難しいという制約もあり、ブ レードの動的挙動については推測に頼らざるを得ない。恐 らくブレードに働く遠心力が作用因子の1つであることは 間違いないが、定量的な効果は不明である。 更にロータス リットにおけるブレードの出入あるいは翼室圧が駆動トル クにどれ程の影響を及ぼしているか、これらの究明が必要 である. その意味では、理論仕事や翼室圧の影響を受けな いシングルブレードによる摺動トルクを個別に分離・測定 することは、駆動トルク特性の本質を知るための参考とな る.

そこで、本研究ではまずエアポンプにおけるブレード摩擦挙動をシングルブレードによる摺動トルクサイクルを通して追跡した。次にその所見をもとに、翼室内圧の影響が加わるマルチブレード摺動トルク特性を測定し、ドライエアポンプの摺動トルク低減対策の手掛かりを得ようとするものである。

3. 実験方法および実験装置

本報告ではまず、シングルブレードによる摺動トルクの 観察を先行させた.次いで、配列に配慮しながらブレード の枚数を順次増やし、枚数に対する摺動トルクの変化を追 跡したのは、枚数による摩擦トルクの加法性を検証し、ブ レード前後の翼室圧差やロータスリット底の隙間圧力がこ の摺動トルクへ及ぼす影響を抽出するためである。用いた 実験装置と実験条件は次のとおりである。

3.1 実験装置

実験には市販のエアポンプ (㈱ナピコ製) を供したが, ブレードとシリンダ間の摺動トルクを測定するため,次の ような改造を加えた.まず,ロータとケーシングを独立に 回転できる構造とし,ケーシングとベース間に設置した荷 重計によって,回転中のブレードによる摺動トルクをロー

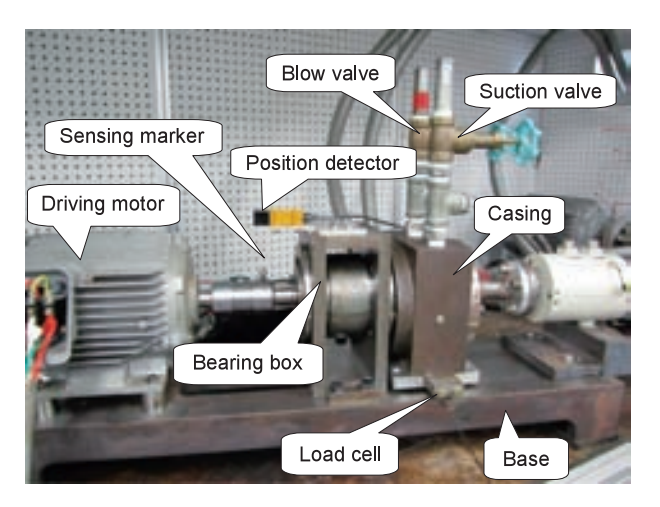


Fig. 1 A view of the experimental apparatus

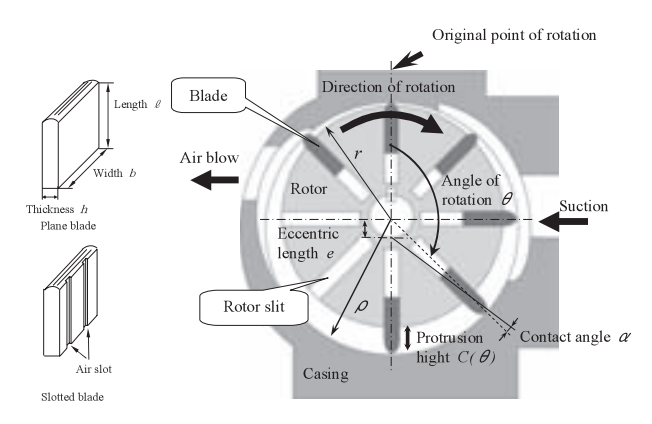


Fig. 2 Structure of a air pump

タの回転角度θに同期させながら検出できるようにした. なおトルク計を介して駆動モータと主軸を直結させて駆動 トルクを直接計測し、荷重計による測定データの信頼性を 確かめている^{4),5)}.

実験装置の全体構成をFig. 1に、エアポンプの機構部をFig. 2に示す。なお空転駆動トルク:約0.7Nm(ブレード未装着状態での駆動トルクで、軸受摩擦力がその主体である)を予め計測し、実験データを補正した。また荷重計を含む摺動トルク測定装置系の固有振動数は約120Hzであり、回転周波数を十分上回っている。

荷重計の出力はPCに取り込まれ、ロータ5回転分の平均値を実験値とし10度毎にデータ処理を行った.

3.2 実験条件

試供エアポンプの仕様をTable、1に一覧する。また、ロータの諸寸法をTable、2に示す。エアポンプの摺動トルクにとって、ブレード出入(突出し/後退)抵抗とスリット角ッとの関わりが大きいことは、ブレード重心に加わる遠心力 f_c とケーシング反力 F_o の関係から当然予想できることである。本研究では基本構造である求心スリットロータを主体にし、偏心スリットロータも比較のため実験に供した(Fig. 3)、ドライポンプ用に開発された偏心スリットロータは、摺動摩擦力 F_r のケーシング反力 F_o を高めることによっ

てカーボンブレードの破壊を抑制する目的で設計された.

一方、隣り合う翼室間の差圧がブレード出入の円滑性に大きな影響を及ぼす可能性は、当然予想されることである。そこで、ブレード出入に対する翼室圧の効果を確認する目的でブレード通気溝(Fig. 2)、およびロータスリット底隙間を結ぶ導通孔(Fig. 3)も実験因子に加えている。ただし、偏心スリットロータではカーボンブレードの破壊強度低下の理由により、すべて通気溝を持たない平滑ブレードが用いられている。そのため、ロータスリット底の隙間圧効果は導通孔(Fig. 3)の有無によって検討した。使用した鋳鉄およびカーボンブレードの仕様もTable. 1に併記している。

実験条件として回転数N, 風量Qは常用値程度としたが、不確定な影響因子をできる限り除く意味で、吸込みバルブと送風バルブを開放し、求心スリットロータでは滴下給油、

	•	1 1				
specifica	Type of rotor	Centripetal slit		Eccentric slit		
Suction	pressure Ps kPa	-40 ~ 0		-40 ~ 0		
Blow pr	essure <i>Pe</i> kPa	0 ~ 50		0 ~ 50		
Flow ra	te Q m³/min		0 ~ 0.3			
Rotation	speed N rpm	500 -	~ 750	1,500		
	Number of slit	8		4		
	Material	FC250		Resin-impregna- ted Carbon		
Blade	Size (Length × Width ×	$40 \times 80 \times 5$		$55 \times 75 \times 4$		
	Thickness) mm (Mass g)	(116)		(30)		
	Air slot	Plane	Slotted	Plane		
<i>-</i> :	Bore of cylinder mm	127		118		
Casing	Material	FC250		S45C		
Lubrica	tion	Drop-feed		Dry		

Table. 1 Specifications of the air pump

Table. 2 Specifications of the rotors

Size of rotor	_	type	Centripetal	Eccentric
Diameter of rotor	2r	mm	114	100
Width of rotor	b	mm	80	75
Number of slit			8	4
Depth of slit		mm	40	55
Thickness of slit		mm	5.1	4.2
Slit setting angle	γ	deg.	0	22

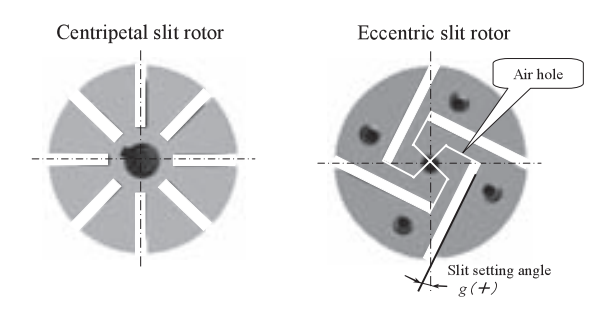


Fig. 3 Slit patterns of rotors

偏心スリットロータでは無潤滑(ドライ)条件の下でそれぞれ実験した。 ブレード頂部の初期形状(円弧半径R: 10mm)と表面粗さ($Ra:15\mu m$)は稼働時間とともに摩耗し、ある特定の曲面に収斂するため、実験は十分馴染んだ後に行われた。 ロータスリットとブレード厚のあそびは0.2mm以内である。

4. 実験結果および考察

エアポンプのブレード挙動を考察するに先立ち、その出入速度 $v(\theta)$ を、ブレードの回転角度 θ に対する突出し量 $c(\theta)$ の変化率として定義する(式(1))。ここで、ブレード突出し量 $c(\theta)$ とはロータスリット出口とシリンダ間の隙間であり、ロータ偏心量eによって発生する(Fig. 2)。

$$v(\theta) = d\{c(\theta)\} / d\theta \tag{1}$$

Fig. 4は、突出し量 $c(\theta)$ と出入速度 $v(\theta)$ の理論計算例を極座標で示したものである。突出し量は、偏心円状のサイクルを呈する。出入速度は突出し時と後退時で正負が逆転するがその絶対値は対称なサイクルを描き、最大値はブレードの最大突出し位置から ± 90 度位相がずれることが分かる。このような特性カーブは、回転する偏心ロータの幾何学から容易に算出できる。

以下、データはすべて極座標で表示され、中央にブレードの配置図が付されているが、回転角度のとポンプ構造(吸・排気ポートなど)の配置関係は全てFig.4に準じている。なおAppendixに関連する記号表を記載した。

4.1 シングルブレードによる摺動トルクサイクル

シングルブレードによる摺動トルクサイクルの解析モデル計算値と実測値を、求心スリットロータと偏心スリットロータについて比較した。その所見をまとめると次のとりである.

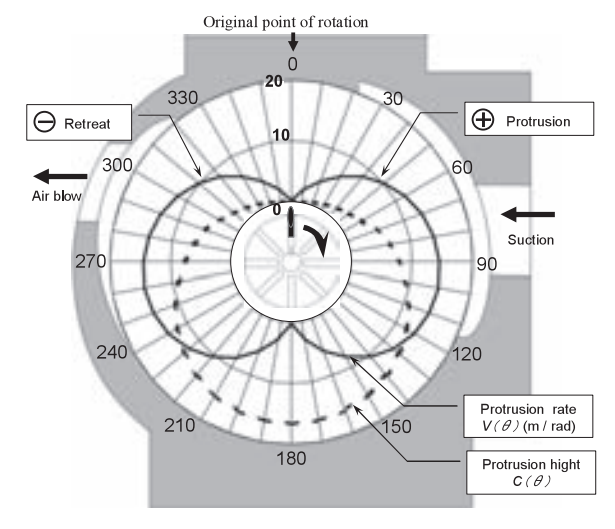


Fig. 4 Protrusion higth $C(\theta)$ and protrusion rate $v(\theta)$ of single blade (Theoretical results for a centripetal slit rotor)

4.1.1 求心スリットロータの摺動トルク特性

ブレードはロータの回転 N (rpm) が誘起する遠心力 f_C によって、ロータスリットとの摩擦に抗して、その頂部をシリンダ壁へ押付けられる。その垂直方向分力 F_N に滑り摩擦係数 μ_0 を乗じることによって摺動力 F_T ($=F_N \times \mu_0$) を概算できる。これらの数値 F_N , F_T , および合力 F_0 の間の力学モデルが、可動翼型回転圧縮機や油圧ベーンポンプに対して提案され 21,31,51,61 , ロータスリットにおける支点反力 F_T , F_2 の作用を考慮することによって、ブレードの出入に要する摩擦力 F_B ($=F_{IB}+F_{2B}$) は理論的に定義されている。しかし、ブレード側面に生じる擦過痕観察 11 から、 F_B の存在は間接的に確認されるが、理論モデルにおける F_B 数値の妥当性を具体的に検討した例は見当たらない。

摩擦係数の効果;本報では静力学的理論モデルの1つ3) を参考に、エアポンプにおけるブレード摺動トルク式を誘 導し(Appendix参照)、その摺動トルクサイクルを具体的 に数値計算した. なおその際, ブレード頂部を円弧形状と し、シリンダ面との線接触を仮定している. その計算結果 の1例をFig.5に示す.同図では、シングルブレードを想 定しているので翼室圧の影響を無視し、摩擦係数µ₀, µ₀ (Appendix参照) には常識的な数値を仮定している. この 解析モデル値はブレード突出し時に比べ後退時に数倍大き なトルク値の歪み円状サイクルを呈しており、最大突出し 量と最大後退速度 (Fig. 4) の中間付近に極大値が存在す る (Fig. 5). なぜなら, ブレードのスリット後退抵抗と突 き出し高さが摺動トルクを左右するために両者のピーク値 の中間あたりに最大トルクが現れるものと理解され、当然 のことながら、摩擦係数 μ_0 、 μ_B による影響が大きいことは、 容易に推察できる. このように仮定された摩擦係数の下で のシミュレーション結果は比較的妥当な傾向を示している が、ブレードの動力学モデルの検討および実摩擦係数の特 定が今後の課題である. なお参考までに, ブレード支点反 力 F_1 , F_2 および接触角 α をゼロと仮定し、遠心力のみによ るブレード出入を想定した単純モデルによって求心スリッ トロータのシングルブレードに対する摩擦トルクサイクル

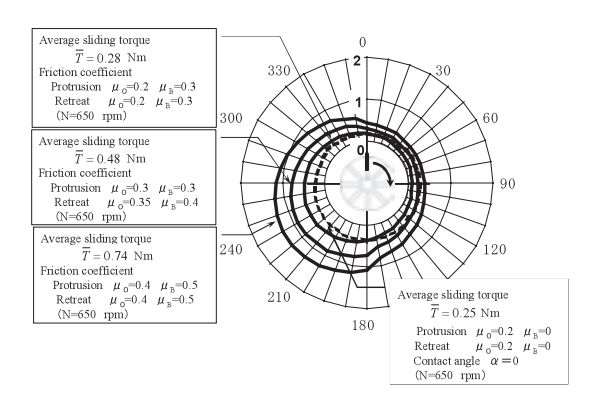


Fig. 5 Sliding torque by single blade (Theoretical results for a centripetal slit rotor)

を試算してみた. ブレード重量:約0.012N/1枚より,回転数650rpmにおけるブレードの遠心力は,20~29N程度となり平均値でも高々24Nに過ぎない. この摺動トルクサイクル(摩擦係数 μ_0 =0.2を仮定)はFig.5(破線)に見るとおりであり、平均摩擦トルク T_F は約 T_F =0.25Nm(最大摩擦トルクは約0.35Nm)となる.

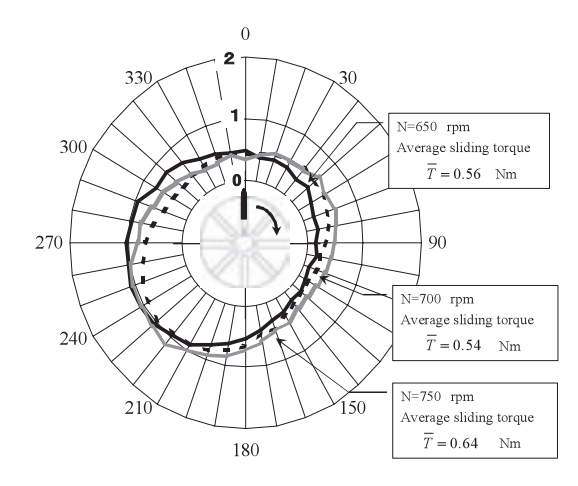


Fig. 6 Effects of rotation speed on sliding torque by single blade (measured value for a centripetal slit rotor)

またFig. 6にシングルブレードにおける駆動トルクの実測値(Fig. 5に対応する回転数: 650rpm)を示した. 実測値と解析モデル ($\mu_B=0$) の数値はかなり乖離しているのがわかる. このことからも, ロータスリットとブレード間の出入摩擦係数 μ_B が、摺動トルクに極めて大きな影響を及ぼすことが窺われる.

回転数(遠心力)の効果; ロータ回転数に関して言えば、回転数変化650~750rpmに伴う遠心力の変化量がせいぜい10Nと摺動抵抗の絶対値に比べ小さいものの、理屈上は遠心力が回転数の二乗に比例することから、高速になるに伴い摺動トルクも相応に増加するはずである.

Fig. 6に示した回転数の違いによる効果の特性的傾向は理論サイクル (Fig. 5) と近似しているが、回転数の変化に対して、650~750rpm程度では大きな差違が現れない。おそらく、前述のように摺動トルクの主体がブレードのスリット出入抵抗によって支配されているためと考えられる。しかし、回転数がある限界(本実験では600rpm辺り)以下の低速度になると摺動トルクサイクルパターンの再現性が急激に低下することが観察されることから、安定したブレードの出入を保証するには、それより大きい回転数の望ましいことが判明した。この原因はブレードに作用する遠心力効果にしきい値が存在するものと想像される。

ロータスリット底の圧力効果: ブレードの出入に伴うロータスリット底の隙間変化がその内圧を変動させ、出入運動の挙動に影響を及ぼすことは十分予想される. ロータスリット底と翼室を繋ぐブレード通気溝 (Fig. 2) はこの圧力変化を緩和(自動調整)させる意図で考案された.

Fig. 7はブレード通気溝の有無によるシングルブレードの 摺動トルクを対比したもので、実測した5サイクル分の データを示している。同図によると、平滑シングルブレードの方が通気溝を付したブレードに比べ、摺動トルクの平均値 (\overline{T}) は小さいもののトルクサイクルの再現性に劣っている様子が現れており、このことは恐らくブレードの浮き上りも含めてその出入の不安定さを示唆している。しかし、ブレード通気溝の得失はエアポンプの送風・吸気効率との絡みで駆動トルクの絶対値も含めて議論されなければならないものと考える。

4.1.2 偏心スリットロータの摺動トルク特性

まず、スリット角をロータ回転方向へプラス、その逆をマイナスと定めることにする(Fig. 3). ブレード摩擦力のうち後退ベクトル分力の大きいことから、理論上プラススリット角の方がブレードの出入運動にとって有利のはずである. したがって、カーボンブレードを用いた偏心スリットロータのドライエアポンプでは、プラススリット角が採用されることになる. 偏心スリットロータに対する摺動トルクの実測値の1例をFig. 8に示す. トルクの最大値が局

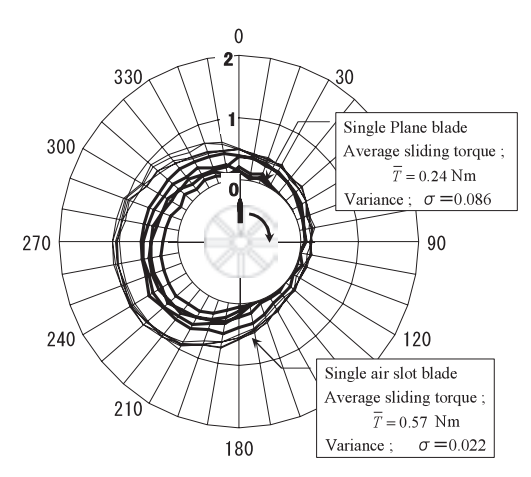


Fig. 7 Effects of air slots on sliding torqur by single blade (measured value of serial 5 cycle curves for centripetal slit rotor)

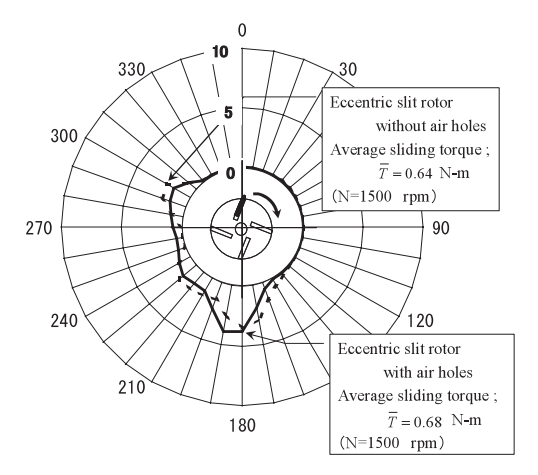


Fig. 8 Sliding torque by single blade on an eccentric slit rotor (measured value)

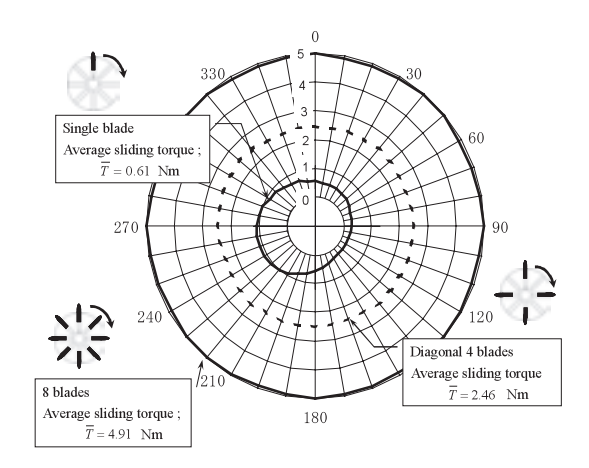
所に集中すると共に、その位置が求心ロータに比べ回転逆方向側に偏る(位相が進む)傾向を示す。これは、ブレードがケーシング壁面へ傾斜接触するため、最大突出し量 C_{max} に対する回転位置が早まることによって生じる現象であることは幾何学的にも理解できる。

Fig. 8では、シングルブレードの摺動トルクに対してロータ導通孔 (Fig. 3) の効果も対比されている。同図では両者の明白な差は確認できない。すなわち、ロータスリット底間に導通孔を設けても、駆動トルクに大幅な変化が見られない。しかし、ブレード側面の通気溝と同様、マルチブレードにおいて導通孔もまた出入運動の安定性に優位に作用する傾向が確認された。

4.2 マルチブレードにおけるブレードの出入挙動

421 翼室圧が求心スリットロータ/ブレード挙動へ及ぼ す影響

シングルブレードの実測したデータの摺動トルクサイクルをブレードの取付位置だけ位相をずらしてその枚数分を重ね合わせるという線形加法モデルは、エアポンプの摺動トルク特性を考察する上で1つの手がかりを与えてくれる.この手法によってマルチブレードにおける摺動トルクサイクルをシミュレーションした1例が、Fig.9(A)である.



(A) Simulated value by summing up single blade torque

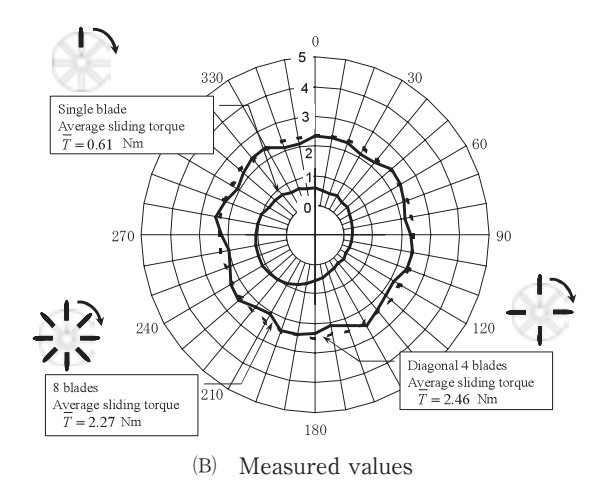


Fig. 9 Sliding torque by multi-blades with air slots

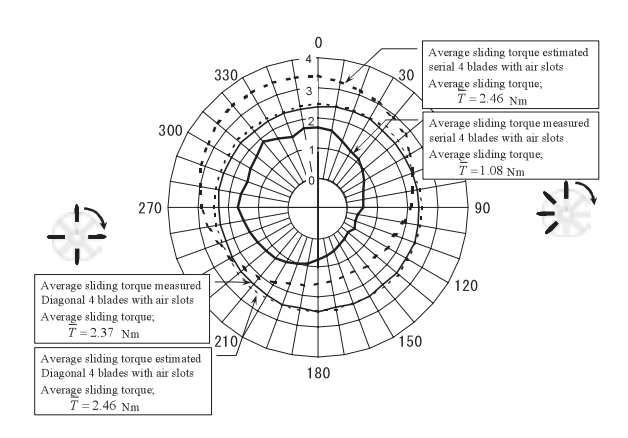


Fig. 10 Array effect of 4 blades on sliding

また比較のためFig.9 (B) に、この実測トルクサイクルを 示している. 両図の結果を対比させて見ると, シングルブ レードの加法モデルによるシミュレーション結果は実測値 と対角4枚ブレード配列(翼室圧は生じない)ではその傾 向がほぼ一致しているのに対し、8枚ブレード(翼室圧が 発生)では実測値がシミュレーションより遙かに小さな数 値を示している. このように顕著な相違は翼室圧によって もたらされる効果と予想される. 恐らく, マルチブレード におけるブレード出入の円滑性は隣り合う翼室圧差に敏感 に反応し影響を受けたものと考えられる。したがって、シ ングルブレードによる摺動トルクサイクルのブレード枚数 に応じた単純加法性は、翼室圧の生じるケースでは成立し 難いということになる. この結論の妥当性を検証する目的 で、ブレードの配列による摺動トルク効果を実測した. Fig. 10は、4枚マルチブレードについて、連続4枚配列 (翼室圧が発生)と対角4枚配列(翼室圧の変化なし)を 実測値と単純加法モデル値をそれぞれ対比させて示したも のである. 前者(連続配列)は隣り合う翼室に生じた圧力 の差圧がロータスリットにおける反力 F_1 , F_2 (Appendix参 照) に少なからぬ影響を及ぼした結果, ロータスリットで のブレード拘束を緩めその出入が円滑化し、加法モデル値 より実測値が大幅に低下したものと推測される. これに対 して、後者(対角配列)はその圧力差が生じないことから、 シングルブレードの単純な重ね合わせシミュレーションと 良い一致を見たものと解釈できる.

以上の結果より、ブレード出入の円滑化にとって、ロータスリットの寸法形状や表面粗さ、エッジ品質などが重要な影響因子となり得るものと推察される。とりわけ、マルチブレードにおける通気溝の調圧効果には、期待が大きい。Fig. 11には平滑ブレードと通気溝付きブレードの8枚ブレードにおける摺動トルクを比較している。シングルブレードでは平滑ブレードの摺動トルクが通気溝付きブレードに比べかなり小さかったにもかかわらず、8枚ブレードになると通気溝付きブレードの方が結果として、トルクサイクルが安定し、絶対値も若干小さくなる傾向を示している。

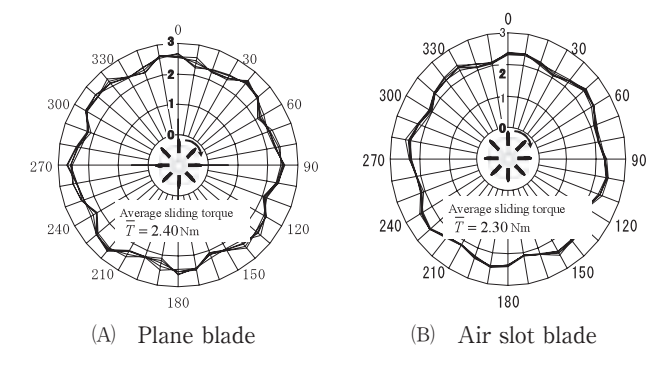
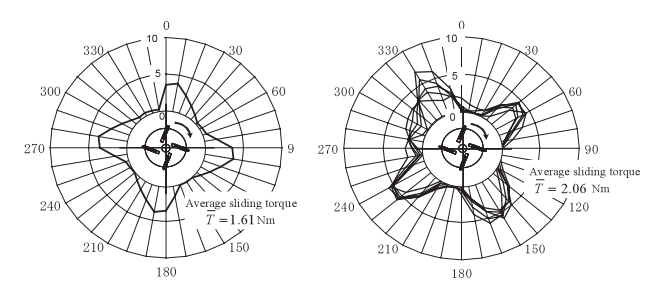
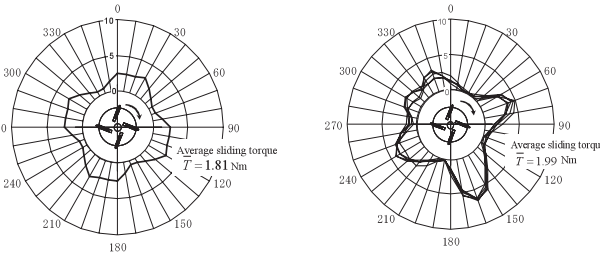


Fig. 11 Stability of sliding torque cycle for multi-blades (serial 5 cycle curves)



- (A) Value estimated by (B) summing up single blade torque
- B) Measured values (serial 5 cycle curves)

Fig. 12 A sliding torque cycle curve by multi-blades (an eccentric slit rotor without air holes)



- (A) Value estimated by summing up single blade torque
- (B) Measured values (serial 5 cycle curves)

Fig. 13 A sliding torque cycle curve by multi-blades (an eccentric slit with air holes)

4.2.2 偏心スリットロータ/ブレード挙動へ及ぼす翼室圧 の影響

偏心スリットロータによるマルチブレードの駆動トルク 予想にも、シングルブレードによる摺動トルクの加法シミュレーションを利用できる。Fig. 12(B)より明らかなように、平均実測トルクおよびその極大値は加法モデル Fig. 12(A)による予測値よりかなり大きく、トルクサイクル 間のばらつきも著しい。すなわちロータスリット底の導通 孔無しでは、ブレード出入運動が安定しにくい傾向を示しているといえる。

このような所見をもとに、ブレードの出入の円滑化を図る対策としてロータスリット底間を導通させることによる

調圧効果を予見することができる。例えば、ロータサイドにスリット底を連結するスロットを同心円状に設ける試みがなされた例がある。本研究では、ロータスリット底間を繋ぐ導通孔を設計した。すなわち、ブレードの出入によって生じるロータスリット底容積の変化がもたらす背圧変動をこの導通孔によって緩和することにより、ブレードの出入を円滑にし、摺動トルクの低減を図ろうとするものである。Fig. 12、13より導通孔有無の効果を対比すると、導通孔によって1サイクル中のトルク変動が緩和され、安定性も増している様子が認められる。このことよりロータスリット底に形成される密封隙間内の背圧を開放するために導通孔を設けることは、ブレードの円滑な出入挙動に一応の効果を認めることができたと考える5)。

5. 結 言

本研究では、以下の結論を得た.

- (1) エアポンプにおける軸駆動トルクは、理屈上は、ブレードに作用する遠心力 f_c がもたらす摺動抵抗 F_T ($=F_N \times \mu_0$)によって支配されるはずである。しかし、現実の摺動抵抗はそのような単純計算値よりも大きい。この原因は、ブレードとロータスリット間の摩擦によるブレード出入の拘束に因ることが、本実験によって推定された
- (2) ブレードとシリンダ壁間の摺動トルクはロータの回転 角度に連動してサイクル変化する. その大きさはブレー ドの突出し量とその変化率(出入速度)に影響され,両 者の極値の中間付近で最大となる傾向を示す.
- (3) 求心スリットロータと偏心スリットロータでは、シングルブレードのトルク極大値の位置に位相差が生じる. これはスリット角がもたらすものと考えられる.
- (4) マルチブレードにおいて、翼室圧はブレード出入挙動 にとって大きな影響因子となる.
- (5) ブレード通気溝および導通孔によるロータスリット底間自動調圧作用は、ブレード摺動摩擦の軽減にとって有効な対策となり得る.

轺 樵

本研究の実施に当たり、有益な助言を賜った芝浦工業大学名誉教授 柴田順二氏に深甚の謝意を表します.

参考文献

1) 植木, 稲葉, 柴田: 真空・圧縮ポンプのベーンとケーシング摩耗に関する基礎研究 (その2), 日本トライボロジー学会トライボロジー会議予稿集, p.95-96 (2002)

- 2) 伊藤, 他:容積型圧縮機, 産業図書, p. 184 (1979)
- 3) 上野, 岸岡, 森本:可変容量型ベーンポンプの特性に 関する研究(第2報 ベーンによる摩擦トルク特性に ついて), 油圧と空気圧, Vol. 9, No. 1, p. 38-45 (1978)
- 4) 植木, 稲葉, 柴田: 可動翼型送風・圧縮ポンプのベーン挙動観察, (社)フルードパワーシステム 平成18年春季 講演会, p. 85-87 (2006)
- 5) 植木, 稲葉, 柴田: 可動翼型送風・圧縮ポンプおける ロータ溝間の導通孔の効果, (社)日本フルードパワーシ ステム 平成19年春季講演会, p. 158-160 (2007)
- 6) 稲熊, 日比: ベーンポンプの摩擦トルク特性, 油圧と 空気圧, Vol. 25, No. 7, p. 843-849 (1994)

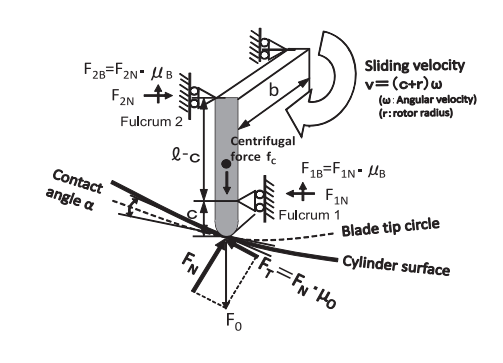
Appendix

3つの力のつり合い方程式(ブレード出入り方向とその 直交方向の力のつり合いおよびモーメントのつり合い)か ら、ブレード摺動トルクTは、次のとおり導かれる。

 $T = F_0 \cdot \cos \alpha \cdot (\sin \alpha + \mu_0 \cdot \cos \alpha) \cdot \rho$

$$= (W+F_0) \frac{\rho}{\mu_{\rm B}}$$

$$= \frac{W \cdot \{\cos \alpha \cdot (\sin \alpha + \mu_0 \cdot \cos \alpha)\} \cdot \rho}{\cos \alpha \cdot (\sin \alpha + \mu_0 \cdot \cos \alpha) \cdot \mu_{\rm B} - 1}$$



[記号表]

 f_c :遠心力(N)

ρ:ロータ中心からケーシング接触面までの距離 (mm)

α:ケーシングとブレードの接触角 (度)

μ₀: ケーシングとブレードの摩擦係数

μ_B: ロータ溝とブレードの摩擦係数

(前進+, 後退-)

 F_o : ケーシング反力 (N)

 F_N ; F_T : ケーシング壁面分力 (N)

 F_I , F_{IN} , F_{IT} ; 支点 1 各反力(N)

F₂, F_{2N}, F_{2T}: 支点 2 各反力(N)

W:ブレードの作用する遠心力(N)

研究論文

カルマンフィルタを用いた管内非定常流量・圧力の推定*

小澤 明**, 眞田一志***

An Estimation of Unsteady Flowrate and Pressure in a Pipe using Kalman Filter

Akira OZAWA**, Kazushi SANADA**

In this study, an experimental method of estimating fluid transients by combining a steady-state Kalman filter and an optimized finite element model of pipeline dynamics is discussed. In this method, spatiotemporal distributions of not only the flow rate but also the pressure in a pipe can be estimated from pressure at three points. Furthermore, fluid transients can be estimated without accurate setting of initial conditions, and it is also possible to exclude sensor noise in estimating the pressure and flow rate from the measured pressure including the noise. Steady flow rate was first estimated online in real time. The estimated flow rate was compared with the flow rate measured by a flow sensor. This confirmed that the estimated result coincide with the measurement result well. Next, unsteady flow rate and pressure were estimated offline. For comparison, unsteady flow rates and pressures were simulated with the method of characteristics using the same data. Unsteady pressure was also measured by pressure sensor. This comparison confirmed that the unsteady flow rate and pressure can be estimated even though the input includes sensor noise. Finally, estimation of the pressures and flow rates at uniformly spaced grid points in a pipe were discussed. The estimates showed good agreement with the simulation results. Therefore, it was confirmed that the spatiotemporal distributions of pressure and flow rate can be precisely estimated with the Kalman Filter.

Key words: Kalman Filter, Pipe Flow, Optimized Finite Element Model, Simulation

1. 緒 言

油圧管路は機器同士を接続する要素として油圧システムの動特性に影響をおよぼす。そのため、管路における圧力や流量は流体過渡現象の把握に役立つ情報となる。しかしセンサによる計測のみでは、圧力や流量を知りたい場所にセンサが取り付けられない場合など場所や構造による制限も多い。この問題を解決するためにセンサを取りつけていない場所の圧力・流量を推定する間接測定手法¹⁾⁻⁷⁾や、解析モデルを用いた数値シミュレーション^{8),9)}などの研究がおこなわれてきたが、近年は直接計測と解析モデルを組み合わせてオブザーバとして用いた計測融合シミュレーション¹⁰⁾⁻¹⁴⁾などの新しい手法も提案されている。

著者は、油圧管路における圧力と流量の時空間分布を得ることができる、管路の最適化有限要素モデル(OFEMモ

成法を示すと共に、基礎特性を数値シミュレーションによ り明らかにした15. その文献15)では、管路動特性の最適化 有限要素モデルを用いたカルマンフィルタを新たに提案す ることに主眼をおき、文献¹⁶⁾の実験管路(測定区間長32m) を利用して、本手法によって管路の流量・圧力が推定でき ることを従来の代表的な計測・解析手法1)-3),9)との比較と考 察から明らかにした. しかし, 実時間推定については今後 の課題となっていた. そこで本論文では、本手法による実 時間推定について述べる。そのため、実用上も受け入れら れるある程度短い管路(3.2m)の実験装置を新たに製作し、 本手法の特色を明らかにする. 非定常流量・非定常圧力の 推定に対するニーズは現時点では油圧分野の方が強いと考 えられるため、文献^{15),16)}では水圧管路を用いていたのに対 して、本論文では油圧管路を用いることとした. 短い管路 で実時間処理を実施する際に重要なパラメータ設定に関連 して、サンプリング時間、管路モデルのパラメータや使用 する圧力センサ、および周波数帯域について述べる.

デルと呼ぶ)8を用いたカルマンフィルタを提案し、その構

第3章ではカルマンフィルタの概要を説明し、特に32項ではリアルタイムで時空間分布を取得する際に必要な手続きについて他手法と比較し、本手法の特長を述べる。第4章では実験と検討を行った。42項では、コリオリ式流量計

(所在地 横浜市保土ヶ谷区常盤台79-5)

(E-mail: d09sb101@ynu.ac.jp)

(所在地 横浜市保土ヶ谷区常盤台79-5)

^{*}平成24年4月7日 原稿受付

^{**}横浜国立大学大学院工学府システム統合工学専攻

^{***}横浜国立大学大学院工学研究院

を用いて計測した定常流量値とカルマンフィルタのリアルタイム推定値を比較した. 43項では, さらに非定常流量について本手法のオフライン推定結果を特性曲線法 (MOC)のシミュレーション結果と比較した. 44項では, 推定に使用する3点以外の箇所に圧力センサを設置して非定常圧力を計測し, 推定結果との比較を行った. 45項では時空間分布を推定し, 特性曲線法と比較した利点を述べる. 最後に第5章で, 本論文で得られた結論を述べる.

2. 主な記号

A : 管路断面積

 A_p, B_p : OFEMモデルの係数行列

 B, E, F
 : 係数行列

 c
 : 波動伝播速度

 C
 : 出力行列

G : システムノイズゲイン
 K_T : 定常カルマンゲイン
 P : 推定誤差共分散行列

p : 圧力

 p
 : OFEMモデルの入力圧力

 p₄
 : 測定区間の3/4の位置の圧力

p_r : 圧力損失項

Q :プロセスノイズの共分散

q :流量

R :センサノイズの共分散

t : 時間

v : センサノイズ

w :プロセスノイズ列ベクトル

x : 状態変数ベクトル

ρ :密度

添字

N : 管路途中の圧力格子点の個数

up:上流端mid:中央点down:下流端

3. カルマンフィルタの概要

3.1 カルマンフィルタの構成

OFEMモデルでは、管内流れを一次元流れと仮定する. 対流項を省略した管内流れの運動方程式と連続の式を用い、 Fig. 1のように交互に配置した格子系をもとに近似を行う と以下の式を得る⁸.

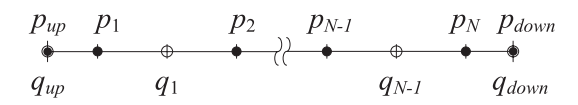


Fig. 1 Interlacing grid system

運動方程式

$$\frac{\mathrm{d}\mathbf{q}}{\mathrm{d}t} + \frac{A}{\rho} \mathbf{B}\mathbf{q} + \frac{A}{\rho} \mathbf{F}\bar{\mathbf{p}} + \mathbf{p}f = \mathbf{0} \tag{1}$$

連続の式

$$\frac{\mathrm{d}\boldsymbol{p}}{\mathrm{d}t} + \frac{\rho c^2}{A} \boldsymbol{E} \boldsymbol{q} = \boldsymbol{0} \tag{2}$$

これを状態方程式で表わし、圧力損失項などを整理すると、以下の式となる.

$$\frac{\mathrm{d}x}{\mathrm{d}t} = A_p x + B_p \overline{p} \tag{3}$$

OFEMモデルを用いた定常カルマンフィルタでは、状態方程式及び出力方程式は、ノイズ誤差v、およびシステム誤差wを考慮して以下の式で表される¹⁵.

$$\frac{\mathrm{d}x}{\mathrm{d}t} = A_p x + B_p \bar{p} + Gw \tag{4}$$

$$p_{mid} = Cx + v \tag{5}$$

ここで、システム誤差wは管路モデル両端に入力する圧力の計測値に含まれるセンサノイズと対応させて考えれば、システム誤差wと \bar{p} は 2×1 行列となり、システムノイズゲインGは B_{p} とおくことができる.

$$G = B_n \tag{6}$$

このとき、離散時間における定常カルマンフィルタは以下の式で与えられる¹⁷⁾.

フィルタ方程式

$$\hat{\mathbf{x}}[n] = A_p (\mathbf{I} - \mathbf{K}_T \mathbf{C}) \hat{\mathbf{x}}[n-1] + A_p \mathbf{K}_T p_{mid} + B_p \overline{p}$$
(7)

$$\mathbf{K}_{T} = \mathbf{PC}^{T} (R + \mathbf{CPC}^{T})^{-1}$$
(8)

ただしPは以下の代数リカッチ方程式の解である.

$$\boldsymbol{P} = \boldsymbol{A} (\boldsymbol{P} - \boldsymbol{P} \boldsymbol{C}^T [\boldsymbol{C} \boldsymbol{P} \boldsymbol{C}^T + \boldsymbol{R}]^{-1} \boldsymbol{C} \boldsymbol{P}) \boldsymbol{A}^T + \boldsymbol{G} \boldsymbol{Q} \boldsymbol{G}^T$$
(9)

ここでQ、Rは以下の式で表わされる。ただし、E(x) はx の期待値を示す。

$$\mathbf{Q} = E(\mathbf{w}[n]\mathbf{w}[n]^{T}) \tag{10}$$

$$R = E(v[n]^2) \tag{11}$$

Fig. 2にカルマンフィルタの概要をブロック線図で示す. 上流端圧力 p_{tor} および下流端圧力 p_{down} をOFEMモデルの入力

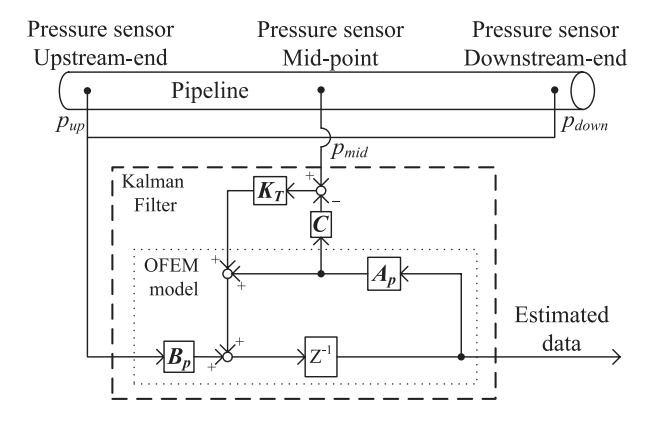


Fig. 2 Schematic diagram of a proposed Kalman filter

として各状態変数を得る。OFEMモデルから中央点の圧力 p_{mid} を出力し、これとセンサより得られた圧力信号 p_{mid} との偏差をフィードバックすることで、状態変数を圧力と流量の推定値として利用することができる。

3.2 他手法と比較した本手法の利点

リアルタイムで時空間分布を取得する際に必要な手続き について、本手法と他手法を比較する、センサが設置され ていない箇所の値を推定する手法には間接測定法や数値解 析がある. 間接測定法の代表として遠隔瞬時流量計測手法 ¹⁾⁻³⁾を挙げると、この手法は2点の圧力値や流量値からセ ンサが設置されていない箇所の流量値をリアルタイムで間 接測定するものである。機能拡張により、任意の箇所の値 を測定することができるが、一つの伝達関数で一箇所の流 量値を求める手法である3. 時空間分布を知るためには多 数の伝達関数を用意する必要があるため計算負荷が大きい. これに対して、本手法では出力行列の設定によって推定値 を取得する位置とその個数を簡単に変更することができる. 一方、管内流れの代表的な数値解析手法である特性曲線法 では、簡単に時空間分布を得ることができる。本研究にお いても推定結果の検討には特性曲線法を用いている. しか し固定刻みのサンプリング時間で計算を行う場合、"時間 刻み×波動伝播速度=管路の分割幅"の関係があるため、時 間刻みが先に決められていると管路の分割幅が決まってし まう. 管路長さは分割幅に分割数を乗じた値しか取ること ができないため、実際の管路長さと一致しなくなる. また, 実際の管路長さと解析する管路長さを同じにする場合、管 路の分割幅が決まる.このとき.時間刻みは分割幅を波動 伝播速度で割った値になるため、実際のサンプリング時間 と一致しない. これに対して、本手法ではOFEMモデルを 用いており、管路の分割幅とサンプリング時間は互いに独 立であるため、管路長さもサンプリング時間も自由に決め ることができる. この点はリアルタイムで時空間分布の推 定や短い管路で高い周波数の非定常流れを推定する場合に 適用しやすい特長であると考えられる. 本研究で比較検討 に用いた特性曲線法によるシミュレーションでは、時間刻 みとサンプリング時間のずれを線形補間によって補った.

4. カルマンフィルタを用いた推定実験

4.1 実験装置および実験手順

カルマンフィルタで使用する圧力信号 p_{up} 、 p_{mid} 、 p_{down} として実験データを使用する。実験装置をFig.3に示す。左から (1)油圧ポンプ,計測管路,(2)流量制御弁,(3)コリオリ式流量計の順に接続されている。(4)高速サーボ弁は計測管路の上流部から分岐して接続している。油圧ポンプの斜板角と流量制御弁の絞りによって流量を調整でき,高速サーボ弁で流量変動を発生させることができる。計測管路の(5)上流端,(6)中央点,(7)下流端に1.6m間隔で圧力センサを取り付け,アンプ,A/D変換ボードを通して信号を(9)PCに取り込

んだ.この実験装置では、上流端から推定区間長の3/4の位置にもう一台(8)圧力センサを設置し、圧力の推定結果の確認に用いた.コリオリ式流量センサのアナログ信号も(9) PCに取り込み推定流量と流量計の流量を比較する.実験の諸元はTable 1のとおりである.本実験では、共和電業製の圧力センサPGM-100KDと動ひずみ増幅器DPM-911Bを用いたまた、波動伝播速度は、3圧力変換器法による実験を別途行い1310m/sと求めた.油圧ポンプ(1)はアキシャルピストンポンプで、ピストン数は9本であり、定格回転数は1435min⁻¹であるから、ポンピング周波数は215Hzとなる.

本推定手法における周波数帯域は、主として①サンプリング定理による周波数帯域、②管路動特性のモデルとして利用する最適化有限要素モデルの周波数帯域、③圧力センサと動ひずみ増幅器の周波数帯域の影響を受けると考えられる。ここで、①については、サンプリング時間が1msの時、サンプリング周波数は1kHzであり、サンプリング定理からその半分の500Hz以下の周波数帯域が有効となる。②については、測定区間長L=32mの管路長さで、波動伝ば速度cが1310m/sの場合、固有周波数f

$$f_n = \frac{c}{4L} = \frac{1310}{4 \times 3.2} \approx 102 \,\text{Hz}$$
 (12)

となる.最適化有限要素モデルの管路内の圧力格子点の個 数Nを5としているため、モデルが再現できる最高次の固 有周波数は $2Nf_n=1020(Hz)$ である $^{16)}$. ③は使用するセンサ や増幅器によって決まる. 圧力センサPGM-100KDの固有 振動数は約113kHzである。また、動ひずみ増幅器DPM-911Bの応答周波数範囲は25kHzであり、ローパスフィルタ を用いずに使用した. 以上より, 要因①の500Hzが本実験 で本カルマンフィルタが測定できる周波数帯域と考えられ る. 一方, 管路長さLは要因②に示したように測定区間の 固有周波数 ƒに影響する。管路長さが長いほど測定区間の 固有周波数f。は低下する. 例えば管路長さを2倍の6.4mと した場合の固有周波数は半分の510Hzとなり、3倍の9.6m とした場合は1/3の340Hzとなる. 管路長さが長くなると, 要因②の最適化有限要素モデルの最高次の固有周波数が要 因①のサンプリング定理から定まる周波数帯域500Hzより 低くなり、本手法で推定できる非定常流量の周波数帯域が 要因②の最適化有限要素モデルで決まるようになる. また,

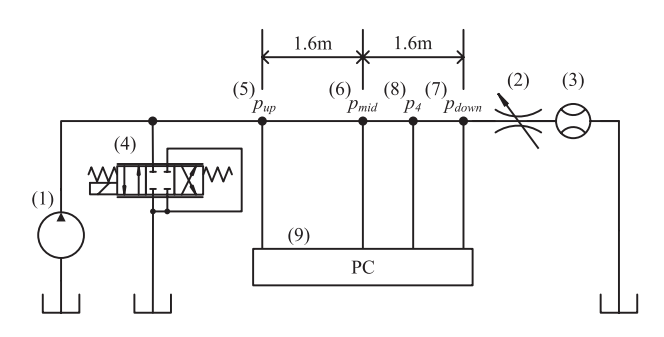


Fig. 3 Experimental pipeline and measurement system

Table 1 Parameters for experiment and simulation

Wave speed	1310m/s			
Length of pipe	3.2m			
Number of elements	5			
Diameter of pipe	20mm			
Kinematic viscosity	$5 \times 10^{-5} \text{m}^2/\text{s}$			
Oil temperature	30℃			
Density	850kg / m³			
Sampling time	1ms(real time)			
	0.1ms (offline)			

管路内径は流れの状態(層流か乱流か)や圧力損失の計算 に影響するが、周波数帯域の要因①~③とは直接的な関係 はない.

4.2 定常流量のリアルタイム推定

提案したカルマンフィルタによるリアルタイム推定結果と、コリオリ式流量計の計測結果を比較することで、定常流量のリアルタイム推定結果の妥当性を検討した。リアルタイム推定にはMATLAB/SimulinkのRealtime-Windows Targetを使用した。リアルタイム推定では、計算負荷との兼ね合いからサンプリング時間を1msとした。流量制御弁を全閉状態から流量が301/minにまでなるまでゆっくりと開き、再び全閉状態にし、その時の推定値とコリオリ式流量センサの計測値を比較した。この実験での推定値の時刻歴をFig. 4に示し、コリオリ式流量センサを用いた測定値の時刻歴をFig. 5に示す。Fig. 6はこの時のコリオリ式流量センサの計測値とカルマンフィルタの推定値との関係を示している。両者の間には顕著な線形関係が見られ、定常流量をリアルタイムでも推定できることが確認できた。

Fig. 4に示すカルマンフィルタによる推定流量の振幅は、Fig. 5に示すコリオリ式流量計による測定結果より大きい。Fig. 4の一部を拡大してFig. 7に示す。Fig. 7でわかるように、流量の推定結果には周期的な振動が現れている。一方、Fig. 5のコリオリ式流量計にはローパスフィルタが組み込

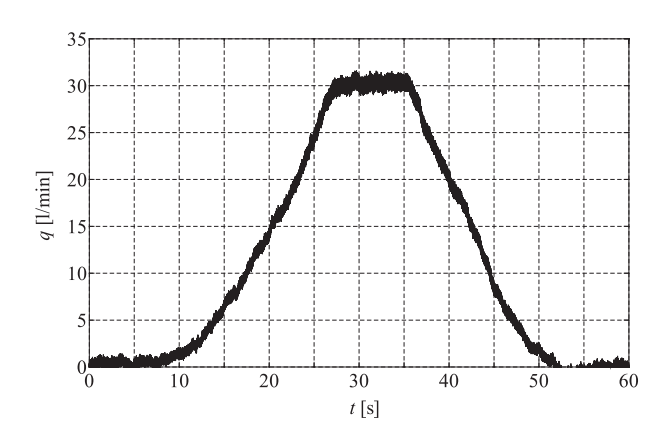


Fig. 4 Estimated flow rate at the mid-point

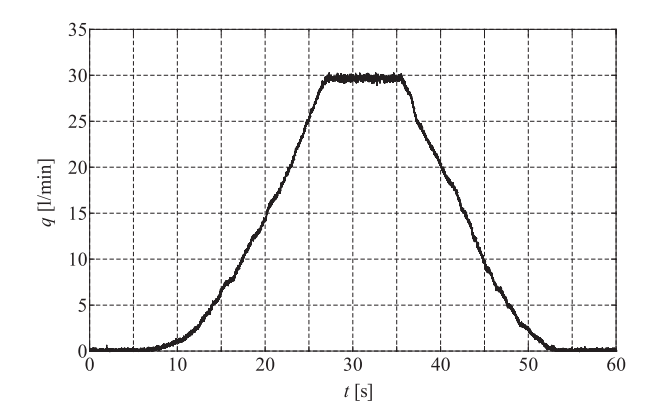


Fig. 5 Flow rate measured by the flow sensor

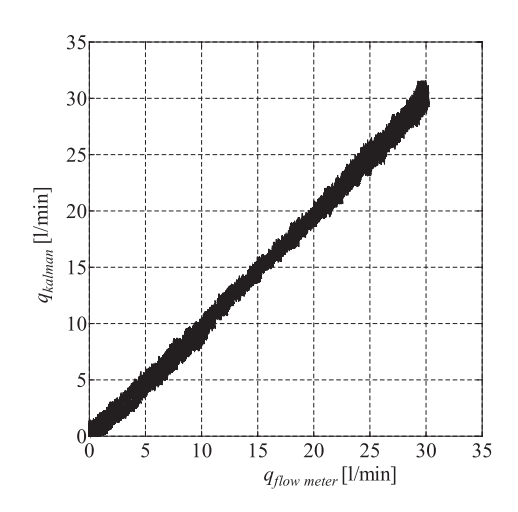


Fig. 6 Relationship between estimated flow rate and measured flow rate

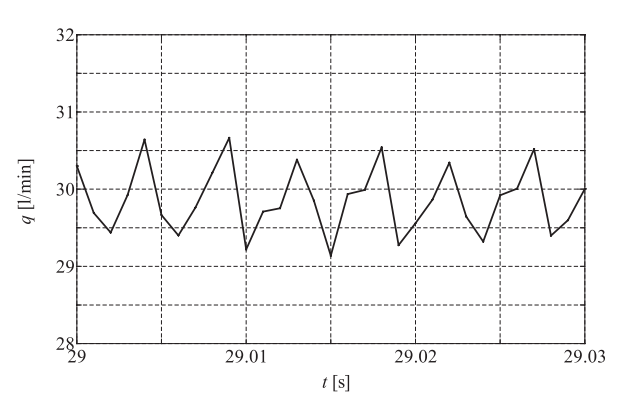


Fig. 7 Enlarged figure of the estimated flow rate

まれており、Fig.5のコリオリ式流量計の波形では振動が低減されている。Fig.7では、振動周期は約0.0046sであり、サンプリング時間が1msであるから、一周期の間にサンプリング点は4,5点しかない。そのため、プロットするとサンプリング点における折れ点が顕著である。

そこで、サンプリング時間をさまざまな値に設定して実時間推定を試みた. その結果、0.5ms、0.2msでも実時間推定が可能であったが、0.15ms、0.1msでは実時間推定が実行できなかった. 実時間推定が実行可能なサンプリング時間は、推定演算の計算量と使用したパーソナルコンピュータ

の演算処理能力によって定まると考えられる.

4.3 非定常流量のオフライン推定

非定常流量について、サンプリング時間0.1msでオフライン推定を行った。流量が301/minになるよう流量制御弁を開いた状態から、サーボ弁に正弦波信号を加えて流量脈動を発生させた。サーボ弁の駆動周波数が100Hzの時の管内に発生した圧力の測定結果をFig. 8に示す。上段に示した上流端圧力 p_{uq} 、中段に示した中央点圧力 p_{mid} 、下段に示した下流端圧力 p_{down} をカルマンフィルタに加える信号として用いた。

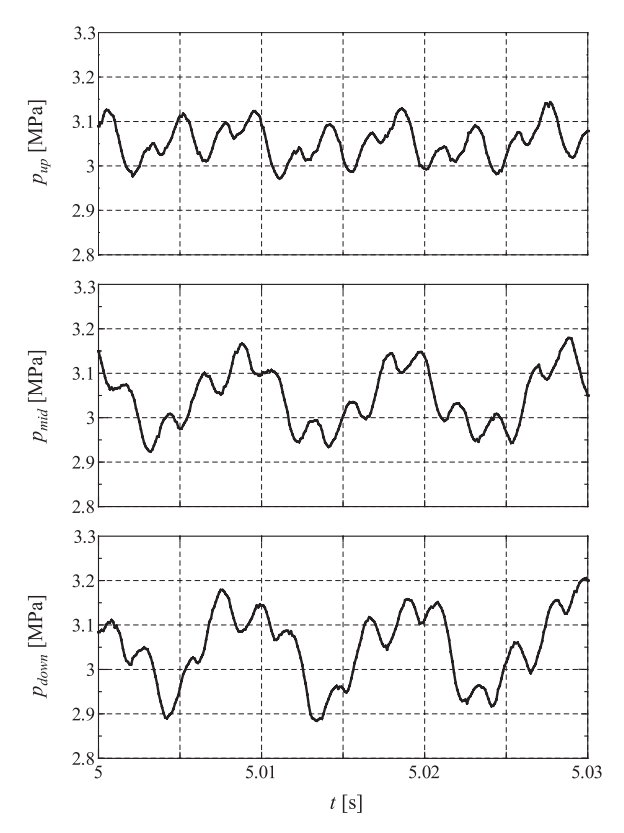


Fig. 8 An example of experimental results of pressures p_{up} , p_{mid} and p_{down}

このときの非定常流量について特性曲線法との比較を行った。特性曲線法のモデルには上流端圧力 $p_{\mu\nu}$ と下流端圧力 $p_{\mu\nu}$ として入力し、管路長さを $p_{\mu\nu}$ として入力し、管路長さを $p_{\mu\nu}$ として入力 $p_{\mu\nu}$ として入力 $p_{\mu\nu}$ として入力 $p_{\mu\nu}$ とも、によりによる流量の計算結果は、測定区間($p_{\mu\nu}$ の測定点)における流量を表している。

カルマンフィルタの推定結果と特性曲線法のシミュレーション結果はほぼ一致しており、特性曲線法と比較しても良好な推定結果を得ることができた。推定された非定常流量の波形は、正弦波からゆがんでいるようにみえるが、これは油圧ポンプのポンピング脈動の周波数成分(215Hz)がかさなっているためと考えられる。高速サーボ弁の駆動

周波数を100Hzから10Hzまで変化させた時の流量推定値のFFT結果をFig. 10に示す. 上から順にサーボ弁駆動周波数が100Hz, 75Hz, 50Hz, 25Hz, 10Hzの場合である. いずれの図についても駆動周波数以外に, 215Hzの周波数付近に同じ大きさのスペクトルを持つ流量の振動があり, ポンピング周波数と一致する. このことから, Fig. 7にみられた流量脈動もポンピング脈動であると考えられる.

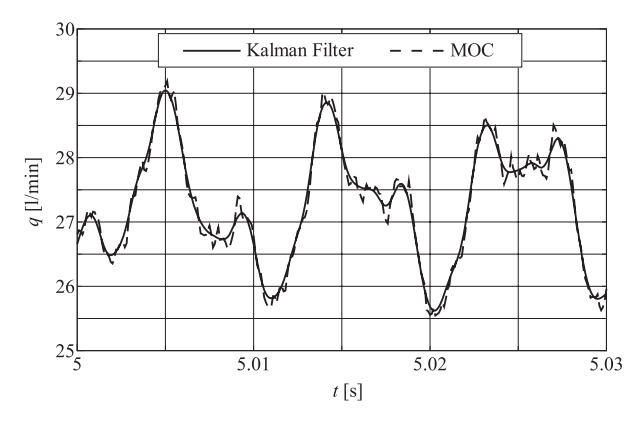


Fig. 9 Comparison of flow rate obtained by Kalman filter and MOC

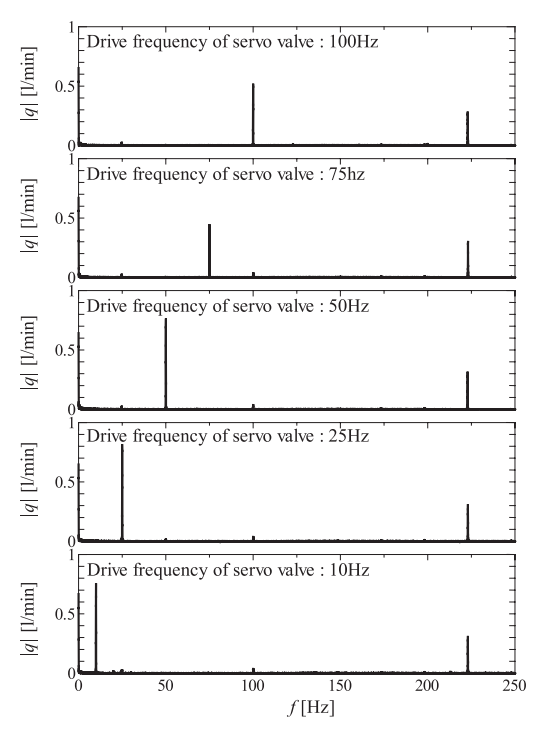


Fig. 10 FFT results of estimated flow rate for various frequency of servo valve

4.4 非定常圧力のオフライン推定

圧力センサを用いた計測結果、特性曲線法による解析結果とカルマンフィルタによる非定常圧力の推定結果を比較した. 上流端から計測区間の長さの3/4の位置の圧力について、Fig. 11にカルマンフィルタの推定結果を、Fig. 12に圧力センサの計測結果、Fig. 13~Fig. 15に特性曲線法のシミュレーション結果を示す。Fig. 13に示す特性曲線法のシ

ミュレーション結果は非定常圧力を良く再現しているが、細かな圧力振動が現れている.その原因として、圧力センサのノイズと、油圧ポンプ脈動の2次以降の成分が考えられる.ここで、ポンピング脈動の2次成分(約430Hz)まで残し、それ以上の周波数帯域の振幅を除去するため、450Hzのカットオフ周波数でローパスフィルタをかけた圧力信号を元に特性曲線法で計算を行うと、Fig.14に示すように、細かな振動は減衰された。また、ポンピング周波数の4次成分まで残した場合をFig.15に示すが、やはり細かな振動は除去されている。以上から、Fig.13の特性曲線法の計算結果に表れる細かな振動の原因は、圧力センサのノイズに起因するものと考えられる.

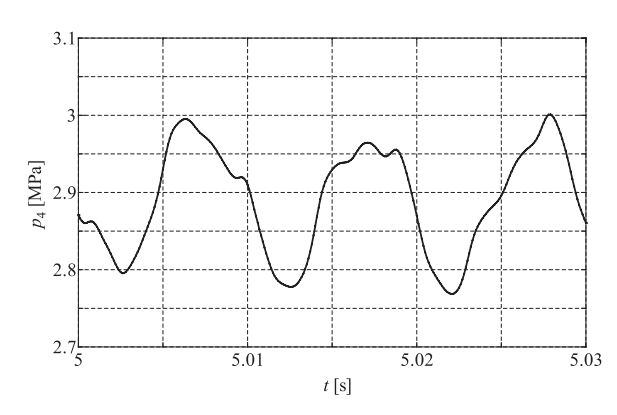


Fig. 11 Pressure p_4 obtained by the Kalman filter

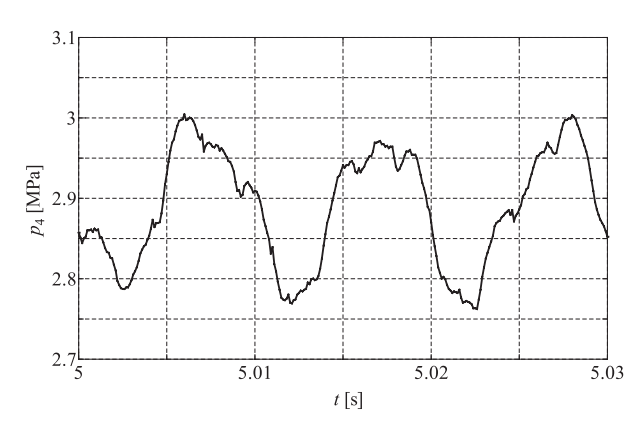


Fig. 12 Pressure p_4 obtained by the pressure sensor

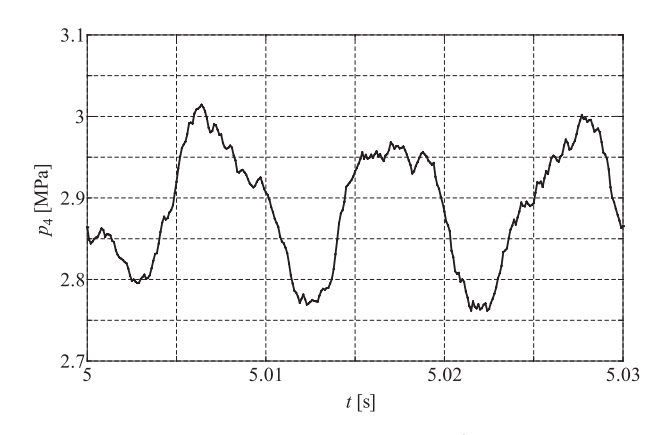


Fig. 13 Pressure p_4 obtained by MOC (without low-pass filter)

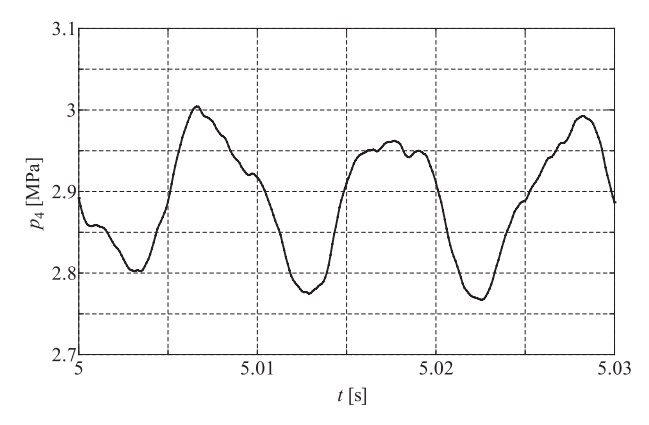


Fig. 14 Pressure p_4 obtained by MOC (Low-pass filter: 450 Hz)

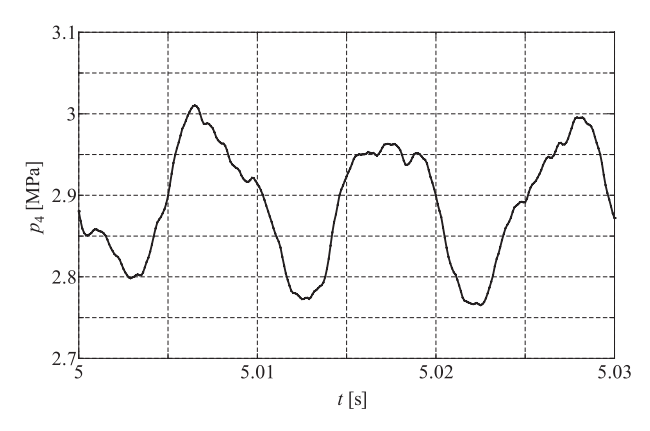


Fig. 15 Pressure p_4 obtained by MOC (Low-pass filter: 900Hz)

本研究では、Qは管路両端の圧力センサに生じる計測ノイズによる共分散に対応していると考えることができ、 2×2 行列である。また、Rは中央点の圧力センサに生じるノイズに対応した誤差の共分散である。

本研究では、3つのセンサとも出力電圧のノイズ振幅はほぼ同じ $0.01V_{pp}$ 程度であった。圧力に換算すると0.01MPaであったので、 \mathbf{Q} と \mathbf{R} は以下の値とした。

$$Q = E(w[n]^2) = (1 \times 10^4)^2 I \tag{13}$$

$$R = E(v[n]^2) = (1 \times 10^4)^2 \tag{14}$$

誤差の共分散が推定値へ与える影響を検討するため、システムノイズの共分散行列Qおよびセンサノイズの共分散Rを変えて推定を行った。

3/4の位置における推定値と計測値の誤差 p_{emv} をFig. 16に示す。初期条件の設定による誤差と定常誤差を調べるため、計測開始から5sまでの推定誤差を調べた。上段と中段のグラフと比較すると、上段のグラフでは初期の推定誤差が極端に大きくなっている。カルマンフィルタでは、初期値を正確に設定できなかったことによる誤差は推定値と中央点の計測値との偏差によって修正される。両端で許容される誤差が小さく、中央点の想定される誤差が大きいため、修正にかかる時間が長くなったと考えられる。次に、中段と下段のグラフを比較すると、下段のグラフは推定開始から

5sまで全域にわたって誤差が大きい. 中段のグラフからQ とRを適切に設定した場合に最も推定誤差が小さいことが確認できる.

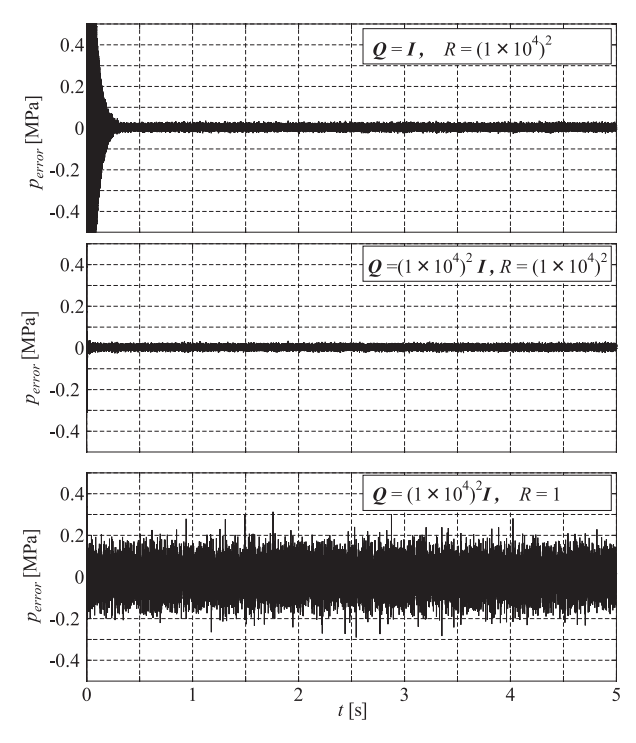


Fig. 16 Estimation errors in p_4

4.5 時空間分布のオフライン推定

時空間分布の推定を行った.管路の上流端,上流端から 1/4の位置,中央点,上流端から3/4の位置,下流端における圧力と流量をカルマンフィルタと特性曲線法によって求めた. Fig. 17に流量, Fig. 18に圧力の時空間分布を示す.実線がカルマンフィルタの推定値,破線が特性曲線法のシミュレーション値である. 特性曲線法のシミュレーション結果に43,44で述べたような振動成分がみられるが,良く一致した結果を得ることができた. 特性曲線法ではこの振動成分は通常圧力信号にローパスフィルタを通すなどすることによって除去するが,カットオフ周波数の設定によっては本来存在する振動も除去してしまう可能性がある. しかし,カルマンフィルタではカットオフ周波数を決める必要がなく,センサのノイズを考慮することができるため,このような計測等において優位性を持つと考えられる.

また、時空間分布を把握する場合においても、特性曲線 法では格子点の位置と時間刻みは独立ではないため、任意 に決めることができず、どちらかは補間を行う必要がある。 一方で、本手法では、サンプリング時間を自由に決めるこ とができる.

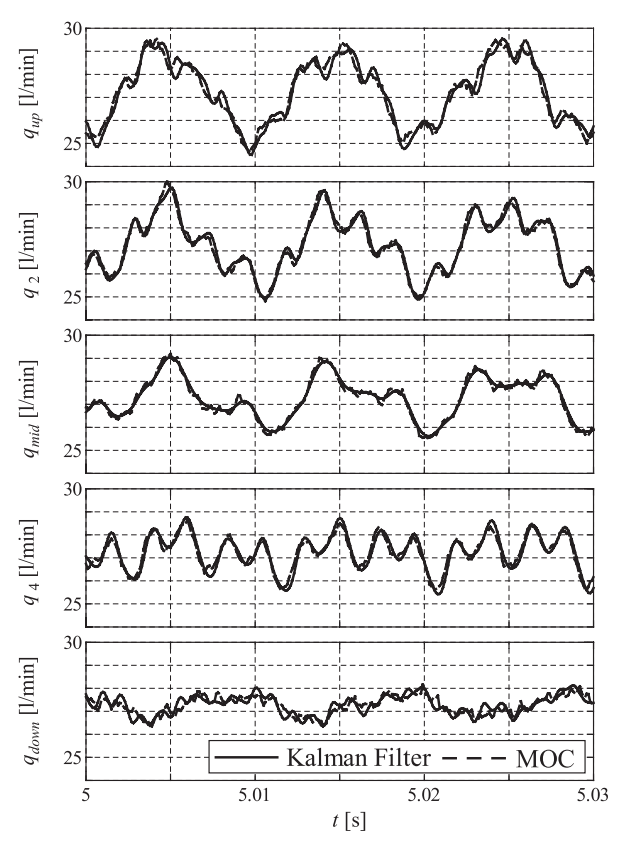


Fig. 17 Transient flow rate along a pipe obtained by the Kalman filter and the method of characteristics

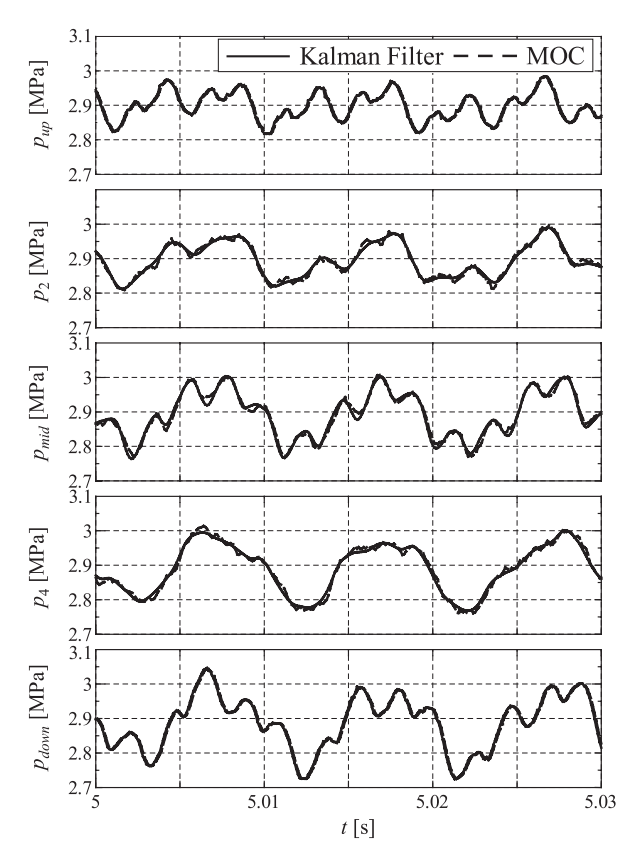


Fig. 18 Transient pressure along a pipe obtained by the Kalman filter and the method of characteristics

5. 結 言

本論文では、著者らが提案する管路の最適化有限要素モデルを用いたカルマンフィルタの推定について、油圧管路を用いて実時間推定の実験を行い、その効果を検討した。カルマンフィルタによる実時間推定では、定常流量について良好な推定結果を示した。この結果の確認のためにより短いサンプリング時間でオフライン推定を行い、非定常流量・圧力ともに良好な推定結果が得られた。ポンプの脈動を含むような非定常流量測定においても、特性曲線法と同等の精度で推定が行えることが確認された。さらに、ノイズを含んだセンサの信号からローパスフィルタをかけることなくノイズを除去した場合と同等の良好な推定結果を得ることができた。特性曲線法との比較では、非定常の推定において同等の精度を有し、圧力と流量の時空間分布を求められる本手法の特色を示した。

参考文献

- 1) 中野和夫,横田眞一,植山幹夫: 円管内瞬時流量計測 手法, 計測自動制御学会論文集, Vol. 20, No. 5, p. 421-426 (1984)
- 横田眞一,金道泰,中野和夫:管路の圧力流量間の動特性を利用した非定常流量計測手法,日本機械学会論文集C編,Vol. 57, No. 541, p. 2872-2876 (1991)
- 3)横田眞一,金道泰,中野和夫:油圧管路の動特性を利用した遠隔瞬時流量計測手法,油圧と空気圧, Vol. 21, No. 2, p. 680-685 (1995)
- 4) 趙彤, 北川能, 香川利治, 竹中俊夫: 管内流れにおける非定常諸変量間の伝達関数の近似表示, 日本機械学会論文集B編, Vol. 51, No. 472, p. 4132-4138 (1985)
- 5) 趙彤: 管内流れにおける非定常変量の変換演算, 日本 機械学会論文集B編, Vol. 51, No. 472, p. 4139-4145 (1985)
- 6) 趙彤, 北川能, 香川利治, 竹中俊夫:管内差圧を利用 した非定常流量および流速の実時間測定法, 日本機械

- 学会論文集B編, Vol. 52, No. 480, p. 2851-2859 (1986)
- 7) 鳥越一平:流れの加速度の検出法と脈動流量測定,計 測自動制御学会論文集, Vol. 23, No. 8, p. 794-799 (1987)
- 8) 真田一志,北川能:最適化交互格子系を用いた管路動特性の有限要素モデル,日本機械学会論文集C編,Vol. 60. No. 578. p. 3314-3321 (1994)
- 9) (社)油空圧学会編:新版油空圧便覧,オーム社,p. 29-31 (1989)
- 10) 早瀬敏幸: 超音波計測融合血流シミュレーション, 日本フルードパワーシステム学会論文集, Vol. 37, No. 5, p. 302-305 (2006)
- 11) 早瀬敏幸:計測融合シミュレーションによる流れ解析, 日本フルードパワーシステム学会論文集, Vol. 39, No. 4, p. 220-224 (2008)
- 12) 井上慎太郎, 川嶋健嗣, 舩木達也, 香川利春: 計測融 合シミュレーションを用いた非定常管内流れ場のモニ タリング, 計測自動制御学会論文集, Vol. 42, No. 7, p. 832-837 (2006)
- 13) 川嶋健嗣, 中尾光博: 乱流オリフィス流れの計測融合シミュレーション, 日本機械学会流体工学部門講演会講演論文集, WS204 (2010)
- 14) 中尾光博, 岡本悠, 川嶋健嗣, 香川利春:分布定数系 オブザーバを用いた空気圧管路容量系の制御, 2010年 度計測自動制御学会産業応用部門大会講演論文集, p. 35-40 (2010)
- 15) 小澤明, 眞田一志:管路動特性の最適化有限要素モデルを用いたカルマンフィルタに関する研究, 日本フルードパワーシステム学会論文集, Vol. 39, No. 4, p. 220-224 (2010)
- 16) 真田一志:最適化有限要素モデルによる管路の流体過渡現象のシミュレーション,日本油空圧学会論文集, Vol. 31, No. 1, p. 1-6 (2000)
- 17) 片山徹: 新版応用カルマンフィルタ, 朝倉書店, p. 86-93 (2000)

研究論文

鉄道車両用真空式トイレにおける真空特性と消費エネルギーに関する研究*

藤 野 謙 司**, 山 本 円 朗***, 谷 口 宏 次****, 山 本 寛*****, 伊 藤 正 彦*****. 黎 し ん*****. 尹 鍾 晧******, 香 川 利 春******

A Study on the Vacuum Characteristics and the Energy Consumption of the Vacuum Toilet System for Vehicle

Kenji FUJINO, Nobuaki YAMAMOTO, Koji TANIGUCHI, Hiroshi YAMAMOTO, Masahiko ITO, Xin Li, Chongho YOUN, Toshiharu KAGAWA

Railway vehicle pneumatic systems are included in many elements, such as the brakes, suspension, and doors. To date, these systems have been designed through experience, and evaluation of the unsteady characteristics of these systems has not yet been attempted. The railway pneumatic system termed a vacuum toilet serves passenger comfort. To assess the efficiency of this pneumatic system, we measure the pressure and flow rate of the vacuum toilet using an air power meter which applies the principle of the quick flow sensor. We also confirm that it is possible to improve the efficiency of the toilet by changing the pneumatic element. The simulation results approximated the experiment data.

Key words: Pneumatic system, Vacuum toilet, Railway vehicle, Energy consumption

1. 緒 言

鉄道車両は元来省エネルギーな交通手段であるが、より一層の省エネ化が求められている¹⁾. 鉄道車両に利用されている空気圧も例外ではないが、その適用先として近年、鉄道車両の軽量化と快適な車内環境を実現するため、車両用トイレにおいても空気圧システムが用いられている. そのシステムは真空式トイレとも呼ばれ汚物を負圧で吸引し、その後正圧で汚物タンクに移送するシステムである^{2),3)}. Fig. 1に車両用真空式トイレを示す. しかし、このような空気圧システムは、圧力や流量の計測が十分に行われておらず、ほとんど設計は経験的なものである. 消費エネルギーや効率から設計の妥当性に関する検討が必要と考えられる.

*平成23年11月21日 原稿受付

**東日本旅客鉄道㈱JR東日本研究開発センター

(所在地 さいたま市北区日進町 2-479)

(E-mail: k-fujino@jreast.co.jp)

***東京メータ㈱技術部

(所在地 川崎市中原区今井南町461)

****(株)総合車両製作所生産本部技術部

(所在地 横浜市金沢区大川3-1)

*****(株)テシカ

(所在地 大田区中馬込3-3-18)

****** 東京工業大学精密工学研究所

(所在地 横浜市緑区長津田町4259)

一方、著者らの研究により圧縮流体の計測において空気 圧エネルギーの評価が行われている。まず、空気の圧縮性 を考慮した空気の有効エネルギーの概念を定義することに より空気圧システムのエネルギーと効率に対して評価する ことが可能となる⁴. また、高応答性を有する層流形流量 計(QFS)を提案し、この流量計を用いて圧縮性流体の定 常および非定常流量計測が測定可能なことを示した^{5),6)}.

そこで、本論文では鉄道車両用真空式トイレを対象とし、 システム内の圧力や流量を計測し、その計測データから真 空特性と消費エネルギーについて検討を行う。

まず、実験により鉄道車両搭載と同等状態の真空式トイレの非定常流れにおける圧力や流量を計測する.次に、測定した結果をもとに真空式トイレの効率化、省エネルギー



Fig. 1 Vacuum toilet for vehicle

化を目指し、真空式トイレを構成している空気圧機器の変更や配管径や経路変更を検討して、効率化を評価する. さらに、真空式トイレに使用されている空気圧機器の空気圧特性をもとにシミュレーションを行い、測定結果との比較を行うこととする.

2. 主な記号

t : 時間 [s]

 \dot{E} エアパワー [J/s]

添字

s : 供給ライン c : 予備汚物タンク 2 : 減圧弁下流 a : 大気圧

duty :真空式トイレの1洗浄サイクル

3. 車両用トイレの歴史と真空式トイレ動作原理

3.1 車両用トイレの歴史

トイレは、悪臭を放ち周辺の環境を汚損するおそれのある排泄物などの汚物を処分するための機能を持つ施設である。特に長時間の移動を行う飛行機や鉄道などの交通機関においては、乗っているお客さまの排泄に供するためにトイレに様々な工夫がされてきた³⁾.

従来、鉄道車両においては、汚水管を線路上に開放し汚 物を自然落下により流下させる方法が用いられてきたが、 この方法では汚物が飛散してしまうため、衛生的に極めて 問題となった。1960年代には汚物と処理剤を混合すること によって消毒・固化してから粉砕・飛散させる粉砕式汚物 処理装置も開発され一部の車両に応用された. しかし, こ の方式は衛生面での質的な改善はなく、1980年代までに廃 止された. その後, 汚物タンクを車両下部に設置した貯留 式トイレが利用されていた. 水洗式トイレは水の使用量が 多いため、大量洗浄水と汚物の回収タンクを搭載した車両 の重量は増加し、車両の軽量化に伴い問題となった。その 問題を解決するために、便槽に溜まった汚物の水分を濾 過・消毒し、便器の水洗に再利用する循環式トイレが用い られ、1970年代以降主流になったが、再利用した水分には 大便や便紙などに起因する固形物が含まれ、流水管内面に 付着し詰まりの原因となることがある. また, 処理水自体 の匂いが強いため、不快感を伴い鉄道車両用トイレの独特 の臭いを防ぎきれていないのが実情である.

1990年代から真空式トイレが飛行機をはじめ交通機関に 導入された。通常のトイレでは一回につき5~6Lの水を 必要とするが、真空式トイレでは、真空を発生させ便器内 の汚物を吸引し便槽に収めてから洗浄水を流し便器を洗浄 することで0.3L程度と水の使用量を最小限に抑えることが できる.よって、車両の重量削減にもつながる.さらに、真空式は汚物と一緒に周りの空気を吸い込み、その後は排出弁が閉まるので汚物の臭いが残らず快適である.また、従来の重力式と比べ真空式は負圧で搬送するため配管に傾斜をつける必要がなく、水平および立ち上げ配管の施工が可能となる.

3.2 真空式トイレの動作原理

真空式トイレは,新幹線に搭載されている. Fig. 2は真空式トイレが搭載されているE3系新幹線電車である.

鉄道車両用真空トイレの例をFig. 3に示す. トイレ使用後に光電スイッチに手をかざすと,真空式トイレは以下の順序で作動する. バルブ3が作動し,圧縮空気がエジェクタに送られ,予備空気タンクに真空圧を発生させる. また,バルブ1が動作し,洗浄水用のバッファタンクに0.3Lの水を蓄積する. バルブ2は,バルブ1が閉じた後に作動し,洗浄水用のバッファタンクを加圧して,便器内を洗浄する.同時に,バルブ6を動作させてスライドバルブ2を動作させる. スライドバルブ2が動作すると,負圧により便器内の汚物は予備汚物タンクに送られる. その後,スライドバルブ2は閉じて,便器と汚物タンクを隔離する. 次に,バ



Fig. 2 Series E3 Shinkansen vehicle

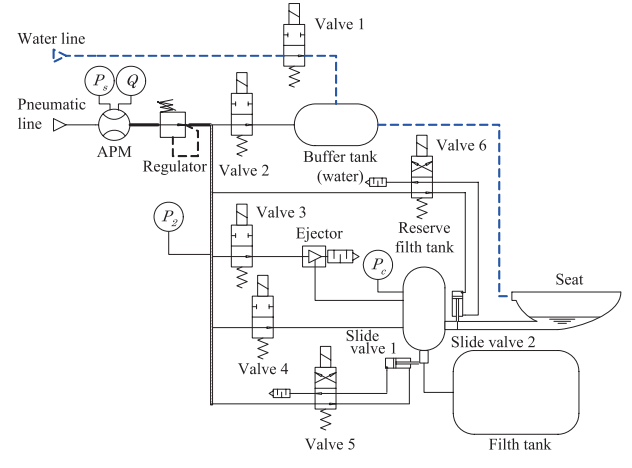


Fig. 3 Scheme of vacuum toilet system for train

ルブ4が動作して予備汚物タンク内を加圧した後に、バルブ5を作動させてスライドバルブ1を開き、汚物は汚物タンクに圧送される。以上が、真空式トイレの洗浄サイクルである。

真空式トイレの構成として、便器と車両下部に搭載している汚物タンクの間には予備汚物タンクがあり、便器と予備汚物タンク、そして予備汚物タンクと汚物タンクの間は、洗浄サイクル時以外はスライドバルブで閉じられている。よって、汚物タンクの臭気がトイレ内に充満することはなく、これまで鉄道車両に搭載されたトイレ中でも、真空式トイレは臭気対策に優れた性能を有していると言える。

4. 真空式トイレの測定

前章から、鉄道車両用真空式トイレの空気圧システムは、エジェクタやスライドバルブを動作させるエアシリンダーなどの空気圧アクチュータおよび制御弁と空気配管から構成されていることがわかる。本章では、タンクの充填やシリンダーの作動、またエジェクタによる真空発生などの洗浄サイクルにおける圧力および流量の計測を行った。なお、計測には線形性と応答性に優れたQFSにエアパワーの計算回路を組合わせたエアパワーメータを用いた。

4.1 測定点および試験条件

Fig. 3に示すように、真空式トイレシステムへの供給圧力(減圧弁の上流側圧力)と流量、エジェクタへ圧縮空気を送るバルブ3の入口圧力、そして予備汚物タンク内の圧力を測定した.

Table 1に試験条件一覧を示す. 鉄道車両搭載と同等の状態(以下,この状態を初期状態とする)での計測のほか,エアパワーメータの下流側にある減圧弁の変更,主配管サイズとルートの変更,そして各変更を行った状態で減圧弁の設定圧を変更した場合の4ケースの計測を行なった. Case Aは初期状態である. Case Bは減圧弁をCase Aに対し大流量を流せるタイプに変更, Case Cは減圧弁の変更に加え,配管のサイズとルートを変更した状態で試験を行なった. なお. Table 1に示す主配管サイズの変更は,減圧弁の

Table 1 Test condition

Test Number	Supply Pressure [MPa(G)]	Type of Regulator	Pipe Size (inner diameter)	Pipe Route
Case A	0.7	R150-02 (KOGANEI)	4 mm	No Change
Case B	0.7	IR3020 (SMC)	4 mm	No Change
Case C	0.7	IR3020 (SMC)	8 mm	Shorter
Case D	0.6	IR3020 (SMC)	8 mm	Shorter

Table 2 Measurement devices

Mark	Instrument	Model	Manufacturer		
P_s	Air Power Meter	APM-L400	TOKYO METER CO"LTD		
Q	Air Power Meter	APM-L-400	TOKYO METER CO"LTD		
P_2	Pressure Gauge	AP-13S	KEYENCE CORPORATION		
P_c	Pressure Gauge	KL-80	Nagano Keiki CO"LTD		

前後、すなわちエアパワーメータから減圧弁までと減圧弁からバルブ $2 \sim 5$ へ配管が分岐するまでの間の配管径を、内径 4 mmから 8 mmに変更したことを表す(Fig. 3の太線部)。また配管ルートの変更は、減圧弁下流側からバルブ 5 の分岐までの配管長さを、およそ700mmからおよそ400mmに短くしたことを表している(Fig. 3の斜線部)。Case Dは、Case Cの状態で減圧弁設定圧を06MPaに変更して試験を行った。Table 2に測定に使用した機器の一覧を示す。

4.2 測定結果

4.2.1 圧力

予備汚物タンク内の圧力測定結果をFig. 4に示す. 予備 汚物タンク内を負圧にすることで汚物を吸引するため、真 空式トイレの性能を評価する上で、この圧力変化に注目し た. Fig. 4において、縦軸は大気圧に対する予備汚物タン ク内圧力比に、横軸は真空式トイレの1洗浄サイクルに要 する時間 t_{hat} (約18秒)に対する各動作時間の比とした. な お、この横軸の設定は、真空式トイレシステムの実測値お よびシミュレーションの図に採用している。また、本論文 で対象としている真空式トイレは、予備汚物タンク内の臭 気を外部に漏らさないため、洗浄サイクル終了時に予備汚 物タンク内は負圧の状態にしている. Fig. 4において、試 験開始時の圧力値が1より低いのはこのためである. また, 図には4つのケースを重ねて記載している. 真空式トイレ の動作として、試験開始時よりエジェクタへ圧縮空気を送 り込むことにより、予備汚物タンク内の圧力が徐々に低下 している. 0.3t/t_{dut}付近で圧力低下割合が変化しているのは, エジェクタに圧縮空気を送り込みながら、便器に洗浄水を 送るためにバルブ2を開いたため、エジェクタへの供給圧 が低下したためである. その後バルブ3を閉じてスライド バルブ2を動作させ、便器内の汚物を負圧により予備汚物 タンクに吸引している。0.6t/t_{dut}付近の圧力上昇は、予備汚 物タンクを加圧し、汚物タンクへ汚物を圧送するためのも のである.

この図から、初期状態の真空圧力発生量に対し、減圧弁の大流量化、配管径アップ、配管ルート変更を行うと、圧力損失が減ることで真空圧力発生量が増えている.

機能上、初期状態での真空圧力発生量で真空式トイレの動作に問題は発生していないが、空気圧部品を変更もしくは効率的に配置することで真空圧力発生量を増加させることができ、それは汚物の吸引力向上につながる。ベンチ試験ではあるが、空気圧機器を適切に配置することで、トイレ機能の向上が達成できることが確認できた。

また、Case Cの状態で減圧弁設定圧を0.6MPaにしても、初期状態での真空圧力発生量と大きな差がない結果となった。このことから、減圧弁設定圧を低下させても機能上に問題がないことが確認できた。

Fig. 5に、減圧弁下流側の圧力変化を示す。縦軸はシステムへの供給圧に対する減圧弁下流圧の比とした。なおシステムへの供給圧は、測定の際に若干の変動があった。Case Aに対し、Case BやCase Cでは減圧弁での圧力損失が低いため、エジェクタ上流圧は高い値となっている。Case Dでは、減圧弁設定圧を下げているために全体的に圧力が低いが、たとえばバルブ2を開く0.3t/t_{dus}付近でのエジェクタ上流圧の低下幅は、他のCaseと比べると大きくない。これも、配管径や配管ルート変更が圧力損失を減少させ、減

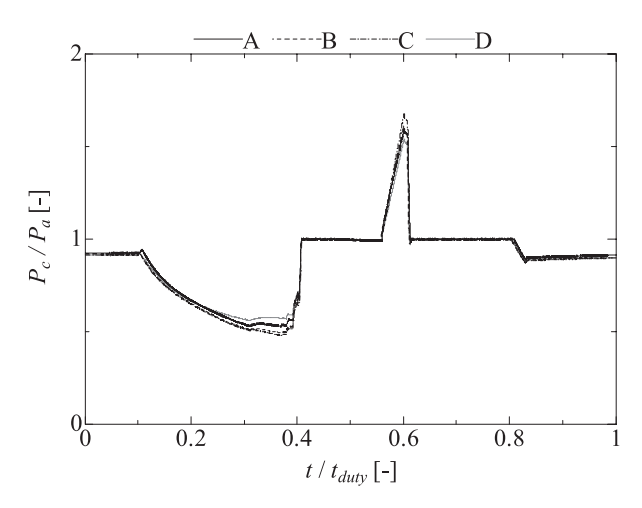


Fig. 4 Experimental results of the reserve filth tank pressure

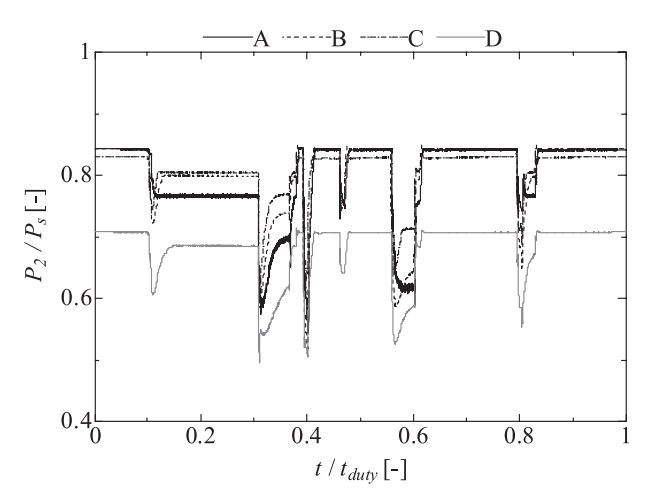


Fig. 5 Experimental results of supply pressure

圧弁設定圧を0.6MPaに変更してもシステム構成上問題のないことを示している.

4.2.2 流量

減圧弁の上流側に設置したエアパワーメータで計測した 流量をFig. 6に、その流量を積算したデータをFig. 7に示す。 図には4つの試験番号を重ねて記載しているが、圧力測定 結果と比較するため、図の横軸は同じ設定としている。

この図からもわかるように、初期状態に対し、減圧弁の 大流量化、加えて配管径アップと配管ルートの変更をする ことで、真空式トイレに供給している流量が増加している。 これは、配管類での圧力抵抗が減ったため、流量が流れや すくなっていることが要因である。

しかし、各変更を加えた状態で減圧弁設定圧を0.6MPaにすることで、流量を抑制できている。これは、配管などを効率的に配置することで、システムへの供給圧力を低下させても機能上問題なく真空式トイレを動作させることができることを示している。

なお、供給圧の低下、流量の減少は、真空式トイレにお ける消費エネルギーを抑えることにもなる.

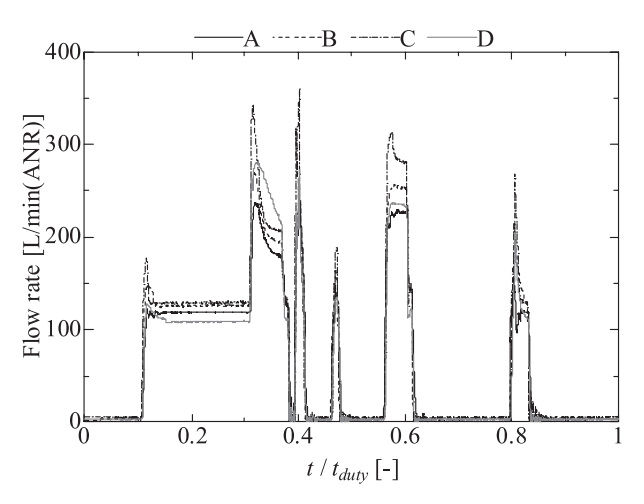


Fig. 6 Experimental results of flow rate

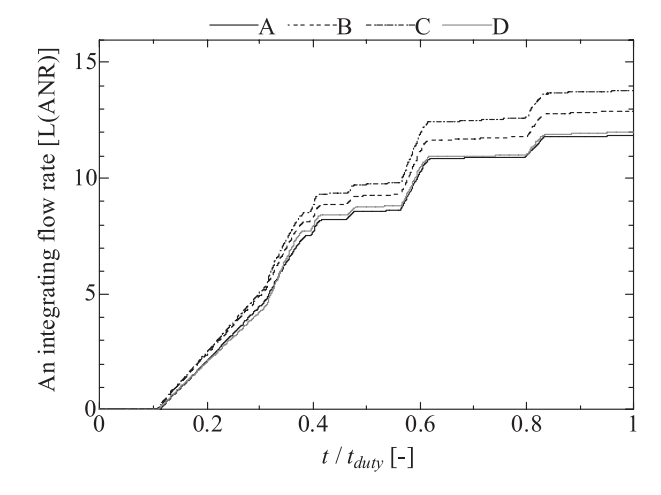


Fig. 7 Experimental results of integrating flow rate

423 エアパワー

エアパワーメータにより、各ケースのエアパワーを比較した. なお、エアパワーとは、下記式で求められる圧縮空気が持つ有効エネルギーである⁴.

$$\dot{E} = \frac{dE}{dt} = PQ \ln \left(\frac{P}{P_a} \right) = P_a Q_a \ln \left(\frac{P}{P_a} \right) \tag{1}$$

Fig. 8に、真空式トイレの上流側で計測したエアパワーの推移を示す。初期状態Case Aに対し、減圧弁設定圧が同じであるCase B、Case Cでは、管路等における圧力抵抗が減少したために流量が大きくなり、その結果エアパワーも増加している。それに対しCase Dは、減圧弁設定圧の低下により流量が減少していることもあり、他のケースに比べて最もエアパワーが少ない。つまりCase Dは、消費エネルギーが最も少ない構成となった。

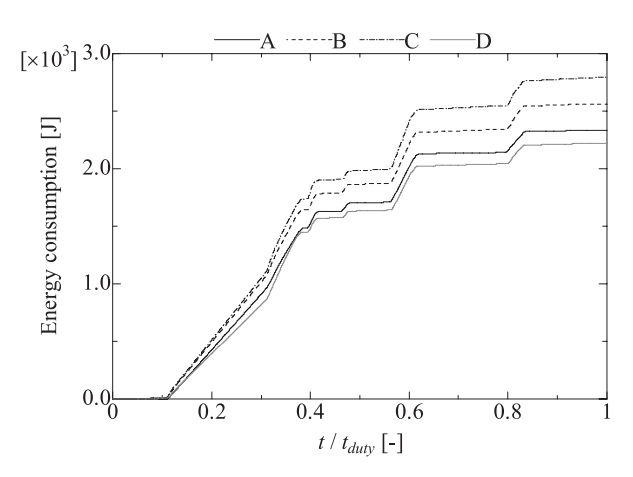


Fig. 8 Experimental results of the air power

5. シミュレーション

次に,真空式トイレのシミュレーションを行う.真空式トイレの設計時における性能評価や,空気圧要素の変更等による機能確認を行う際に,シミュレーションの活用が考えられる.

5.1 エジェクタおよび減圧弁の特性

エジェクタの真空特性をFig. 9に示す. 真空特性はエジェ

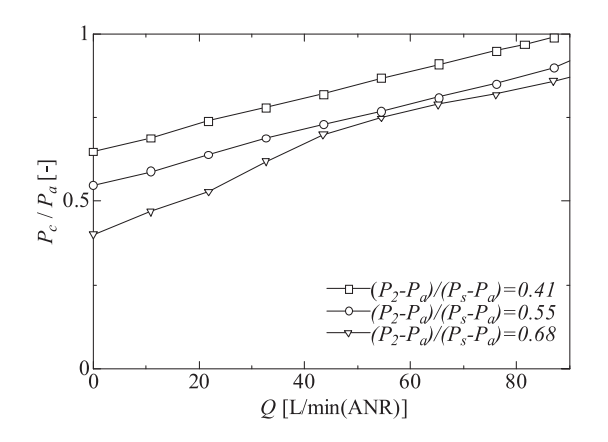


Fig. 9 Vacuum characteristic of the ejector

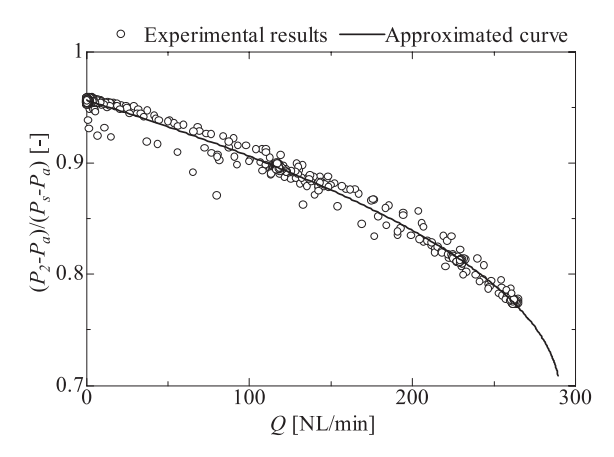


Fig. 10 Regulator characteristic

クタの上流圧と真空ポートの圧力から求められ、下記のP-Q特性の測定結果から近似式を求めた $^{77.8}$.

Fig. 10に減圧弁のP-Q特性を示す. 減圧弁もエジェクタと同様に、測定結果から近似式を求めた.

5.2 その他の空気圧要素

真空式トイレを構成するその他の空気圧要素は、電磁弁類と配管である。電磁弁の特性は、実験により得られた値より音速コンダクタンス、臨界圧力比を求めた。Table 3に各バルブの音速コンダクタンスと臨界圧力比を示す。また、配管はひとつの容量系とし、また配管内の空気は等温変化と仮定してシミュレーションを行った。配管容積は、減圧弁から各バルブまでが 1.1×10^{-4} ㎡、バルブ 3 とバルブ 4 から予備汚物タンクまでの配管と予備汚物タンクを併せた容積が 3.6×10^{-3} ㎡である。

Table 3 Valve characteristic

Valve	Sonic Conductance (s · m ⁴ /kg)	Critical Pressure Ratio (-)		
Valve2	5.8×10^{-9}	0.50		
Valve3	2.7×10^{-9}	0.65		
Valve4	6.4×10^{-9}	0.83		
Valve5	3.0×10^{-9}	0.50		
Valve6	2.6×10^{-9}	0.52		

5.3 シミュレーション結果

水タンク内の洗浄水の使用量は変動するため、シミュレーションは洗浄水を流さない条件で行い、実測値も同様に洗浄水を流さない条件で測定を行った。Fig. 11は上流側圧力、Fig. 12は予備汚物タンク内圧力、Fig. 13は流量、Fig. 14はエアパワーの各シミュレーション結果である。

上流圧P₂のシミュレーション結果と実験値の平均誤差は 1.8%で良く一致した.この誤差について考察すると,レ ギュレータの動特性を考慮していないこと,実験値から電 磁弁や配管の合成インピーダンスを算出したことなどが原 因として挙げられる. 予備汚物タンク内の圧力P_cの平均誤差は84%であり、生じる理由はエジェクタの上流圧の誤差、エジェクタの真空特性が非線形であり、正確に近似が不可能であること、タンクの容量の誤差などが挙げられる. 流量Qのシミュレーション結果と実験値との誤差が発生する原因は、上流圧の誤差と同様である. 1サイクルの消費エネルギーのシミュレーション結果は、実験値とほぼ同じであった. 以上の結果から本シミュレーションは実験値と良く一致しており、十分に有用であると考えられる. このシミュレーションを活用することにより、真空式トイレ設計

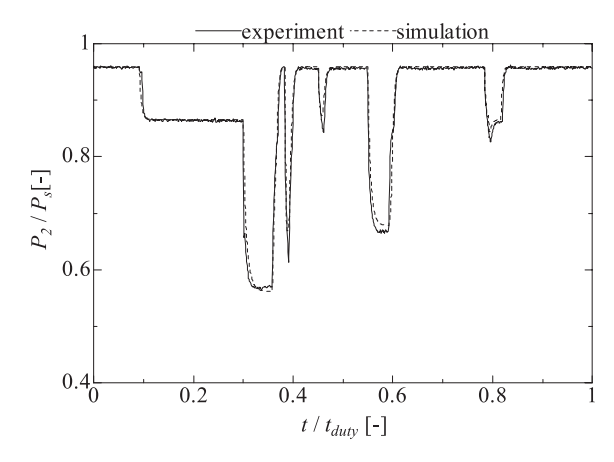


Fig. 11 Simulation results (Upstream pressure P_2)

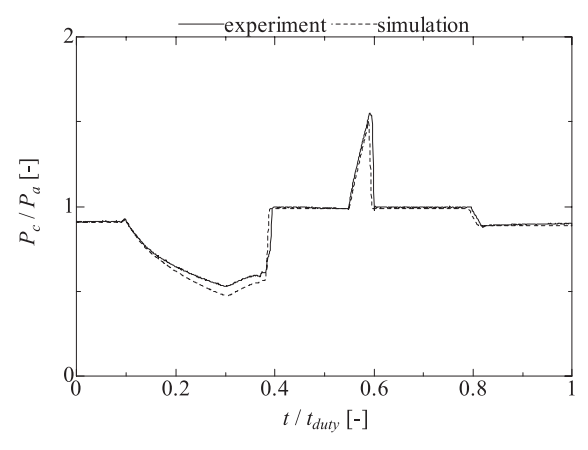


Fig. 12 Simulation results (Reserve fifth tank pressure)

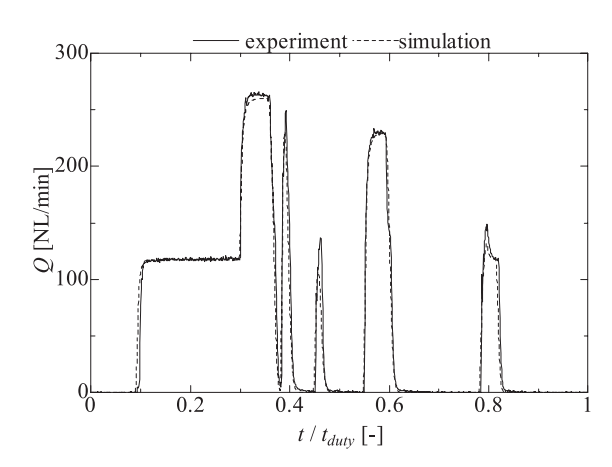


Fig. 13 Simulation results (Flow rate Q)

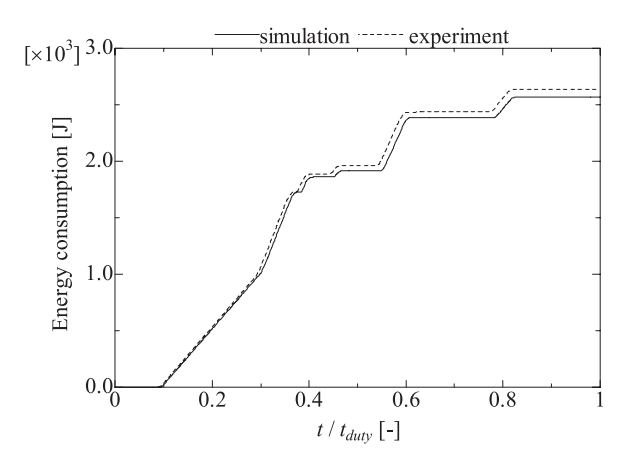


Fig. 14 Simulation results (Air power)

時に基本性能と必要とされる流量等が把握でき、効率性向上も図った設計や検証、性能確認が可能になると考えられる.

6. 結 言

鉄道車両用真空式トイレは、エジェクタにより負圧を発生させるコンパクトなシステムである。本論文では、この真空式トイレを対象とし、これまで計測できなかった圧力や流量を計測した。これにより予備汚物タンク内の圧力値が明確になるとともに、減圧弁や配管径やルート変更を行うことで真空度を約9%高められることを確認した。さらに、減圧弁、配管径、配管ルートを変更した状態で減圧弁設定圧を0.6MPaに変更すると、真空度は約5%低下するものの、汚物吸引に必要な真空度は確保でき、消費エネルギーでは約5%低減できることが確認できた。

次に, 真空式トイレをモデル化してシミュレーションを 行い, 実験値と比較してその有効性を確認した.

参考文献

- 1) 萩原,藤田:新幹線電車の省エネルギー効果,電気学 会誌, Vol. 123, No. 7, p. 406-409 (2003)
- 2) 藤野:車両用真空式トイレの効率評価手法について— 車両用真空式トイレにおける消費エネルギーの評価方 法について、油空圧技術, Vol. 47, No. 6, p. 8-12 (2008)
- 3)株式会社 テシカ:http://www.tesika.co.jp/
- 4) 蔡, 藤田, 香川:空気圧駆動システムにおけるエネルギー消費とその評価, 日本油空圧学会論文集, Vol. 32, No. 5, p. 105-110 (2001)
- 5) 舩木,香川:層流型高速応答流量センサの開発,油空 圧技術, Vol. 44, No. 12, p. 18-24 (2005)
- 6) 舩木,川嶋,香川:気体用連続非定常流量発生装置の 開発,計測自動制御学会論文集,Vol. 42, No. 5, p. 461-466 (2006)
- 7) 伊藤, 尹, 黎, 郭, 香川:排気側の流体抵抗を考慮す

る空気圧エジェクタシステムの解析モデル, 平成22年 度秋季フルードパワーシステム学会講演会, p. 145-147 (2010)

8) Zhonghua Guo, Xiaoning Li, Xin Li, Kenji Kawashima

and Toshiharu Kagawa: Simulation on Pneumatic Vacu um Circuit with Ejector, Asia Simulation Conference 2009 (JSST 2009)

研究論文

油圧 L 字配管チェックボール挙動の実験的解析*

梶 原 伸 治**, 田 中 達 也***

Experimental Analysis of Check Ball Behavior for L-shaped Pipe

Shinji KAJIWARA, Tatsuya TANAKA

The spring-driven ball-type check valve is one of the most important components of hydraulic systems: it controls the position of the ball and prevents backward flow. To simplify the structure, the spring must be eliminated, and to accomplish this, the flow pattern and the behavior of the check ball in L-shaped pipe must be determined. In this paper, we present a full-scale model of a check ball made of acrylic resin, and we determine the relationship between the initial position of the ball, the diameter of the inflow port, and the kinematic viscosity of oil. When kinematic viscosity is high, the check-flow rate increases in a standard center inflow model, and it is possible to greatly decrease the check-flow rate by shifting the inflow from the center.

Key words: Hydraulics, Pipe Flow, Experimental Analysis, Flow Visualization, Check ball, L-shaped Pipe

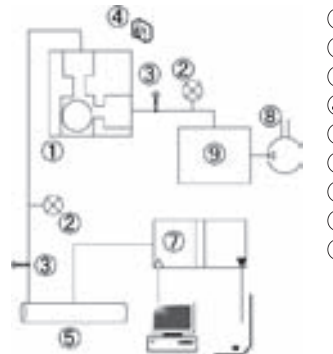
1. 緒 言

油圧システムは、直線・回転運動、大きな力が必要、速 度を自由に変えたいなどの仕事が必要とされるときなどに 用いられ、油圧技術の発達により、エネルギーの伝達手段 として建設機械や土木機械, 工作機械はもちろんのこと, 自動車や飛行機、エレベータなどの身近なものにも広く利 用されている. この油圧システムの重要な構成部品のひと つにチェックバルブがある. チェックバルブ内部にボール を用いているものは、一般にボール位置を規制し、逆流を 確実に防止すめるためにバネによって押付ける構造をもつ ことが多い¹⁾. しかしながら, ボールのチャタリングによ るバネの破損の問題やコストダウン要求などからバネをな くすという要求も強い、また、チェックバルブまわりの油 圧配管の型式としては、ストレートタイプとL字エルボー タイプがある. ストレートタイプのチェックボールについ ては、実験解析的研究があり2) 形状の検討がされている. また、ポペット弁については、三次元流れ3) や横振動4) に 関する研究や固有値解析50や三次元数値解析60などが行わ れている. しかしながら,これまでL字型配管の油圧チェッ クバルブのチェックボール挙動について、配管内の作動油 の流れや流れがおよぼすチェックボールの挙動などは明ら かにされていない. チェックボール周りの流れは、管内流 がボールに流体力を与え、さらに直角に曲がるといった複

雑流となっている。このときのチェックボールの挙動は、 流路の相対位置関係と流量、粘度などが複雑に関係しあう。 そこで本研究では実物大透明アクリルモデルを用いて チェックボール挙動を観察し、ボール位置、流量および粘 性をそれぞれ変化させ、チェックボールが動作し、チェッ クバルブが確実に逆止できるチェック流量を調査した。モ デルとしては、入口部分直径および位置の違う2種類を供 試した。なお、油圧配管内でチェックボールが逆止弁とし て動作する場合は圧力差が小さく、可視化が容易なためモ デルをアクリル製とした。

2. 実験装置および方法

実験装置の模式図をFig. 1に示す. ⑥のPCによって, ⑦のサーボアクチュエータ(IAI製RCA-RA3C-I-20-2 5-200-AI-M-HS)のヘッドスピードを制御する. アクチュエータに連動し, ⑤の油圧シリンダ70H-8 HYDRAUL CYLを作動させることによって, ①のアクリル樹脂製のL字配管供試体



- ① Check ball
- 2 Pressure gauge
- (3) Air hole
- 4 Camera
- 5 Hydraulic cylinder
- ⑥ Computer
- 7 Actuator
- 8 Air compressor
- 9 Tank

*平成24年1月1日 原稿受付

(所在地 大阪府東大阪市小若江3-4-1)

(E-mail: kajiwara@mech.kindai.ac.jp)

^{**}近畿大学理工学部機械工学科

Fig. 1 Experimental apparatus

の流量を規定した. 作動油への空気の吸込みを防止するた めに⑨の作動油タンクには100kPaの圧力をかけた. 実験で は、チェックボールが浮上し、チェック可能であったかを 確認し、ボールの回転の計測を④の300fps高速度カメラに よって観察した. なお, 回転計測を画像で行うためにボー ルにレーザマーカで+印を6箇所マーキングしてある. 本 実験のパラメータはチェックボールの初期位置、作動油の 動粘度および作動油のチェック流量である。モデル形状は 7.94mmのチェックボールの入った φ 9 の円筒に対し φ 5 で 流入・流出する基本モデルをモデル1.流入部を 62に縮 小し、作動油の旋回流によってボールを回転させるように 流入位置を横方向へシフトさせるよう改良したものをモデ ル2とした. これらモデル1. モデル2をそれぞれFig. 2(a) およびFig. 2(b)に示す。また、L字管まわりの構造をFig. 3 に示す. チェックボール初期位置を規定するために、L字 管における流出部のエッジ部分からボールの重心方向の表 面までの平均距離をリフト量として定義した. リフト量は ボールを置く下部調整台の位置を二方向からデジタルカメ ラで撮影しながら調節することによって規定した. チェッ クボールの初期位置はリフト量1,2,3,4mmとして実験 を行った. また, 作動油の動粘度は一般的な作動油の範囲 である 6 mm²/s, 15mm²/s, 35mm²/sの 3 種類として, チェッ ク流量は $0 \sim 60$ cm²/s $(0 \sim 6.0 \times 10^{-5}$ m²/s) の範囲で実験 を行った. 実験はそれぞれ5回行い、チェック流量および 回転数はそれらの平均で評価した.

レイノルズ数Reは、入口管内流速 $V=4Q/\pi D^2$ を使って、

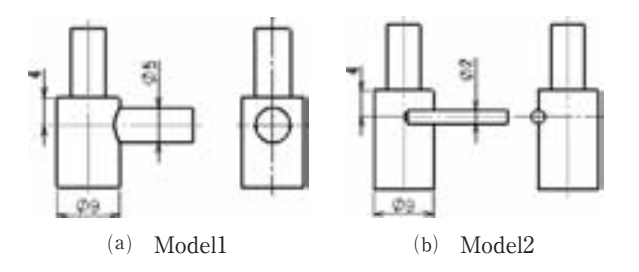


Fig. 2 L-shaped pipe arrangement

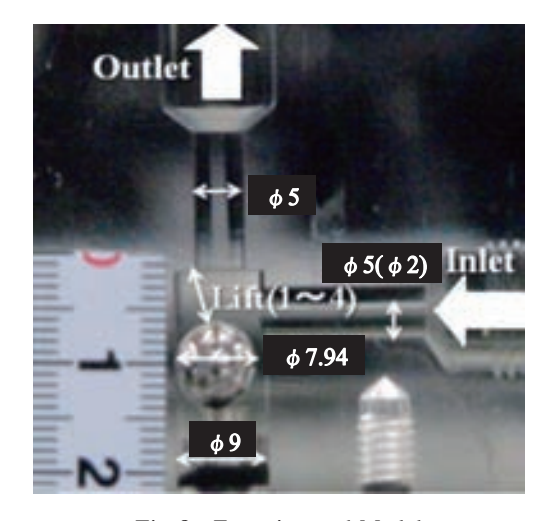


Fig. 3 Experimental Model

次式で表される.

$$Re = \frac{VD}{v} = \frac{4Q}{\pi D v} \tag{1}$$

ここに, D:管内径, m

Q:流量, m²/s v:動粘度, m²/s

である. このレイノルズ数の算出時の代表長さは入口径 $(2 \, \text{mm} \, \text{s} \, \text{t} \, \text{t} \, \text{t} \, \text{mm})$ を用いた.

また、ボール回転の様子を明らかにするために、流量と動粘度を変化させ、チェックボール周辺の流れの様子およびボール回転数を300fpsの高速度カメラで計測した. この流れの様子は、作動油内にアルマイト表面加工した平均粒径11μmの低密度ポリエチレン(住友精化製フロービーズ)を混入させ、画像処理を行うことによって観察した.

3. 実験結果

実験によって得られたボールが浮き、チェック可能と なったチェック流量とリフト量の関係をFig.4に示す. な お、チェック流量は再現性が高く、誤差5%以内であった ため平均値で示した. この図よりモデル1の中央流入の場 合,リフト量1mmでは動粘度の変化によるチェック流量の 変化は少なく、8.3cm²/s以下となった. リフト量が大きくな るにしたがって、チェック流量も増加しリフト3mmでは概 ね20cm²/sのチェック流量が必要であることがわかる. この リフト1mmから3mmでは動粘度の増加に伴ってチェック流 量が減少した. しかしながら, リフト4mmの場合は動粘度 の変化がおよぼすチェック流量への影響が大きいという結 果となった. すなわち, 動粘度が15mm²/sのときに最大が チェック流量52cm²/sとなることがわかった.一方、モデル 2の場合は、流入口を縮小し位置をずらすことによって、 チェック流量を非常に減らすことができ、実験を行った範 囲ではチェック流量を8.3cm²/s以下にできることがわかった. この主要因は流入口をシフトすることによって、流れを上 方向に変える際に発生する作動油の反力、すなわちボール への下方力が低下したことによると考えられる. このモデ

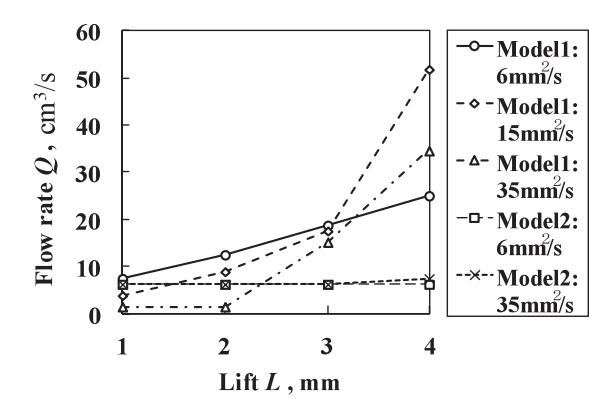


Fig. 4 Relation between Lift and Flow rate of Model 1 and Model 2

ル2では、動粘度とリフトのいずれも、チェック流量への 影響は非常に小さかった。

次に、モデル1、モデル2における動粘度とチェック流 量の関係をそれぞれFig.5およびFig.6に示す. これら図よ り、モデル1の場合は4mmリフトを除いて動粘度が大きく なるほどチェック流量が少なくなる。また、モデル2では 動粘度やリフト量によるチェック流量の変化が非常に小さ いことがわかる. ただし、モデル1のリフト量4mmでは、 動粘度15mm²/sの場合が最も多くのチェック流量を必要とす ることがわかった. これは、ボール位置が流入部よりも低 く、ボール上部に噴流があたり、ボール下方向に力が加わ ることによってチェック流量が多くなったと考えられる. ただし、動粘度がある程度以上大きくなると上昇する主流 の粘性力が大きくなり、この下方向力と粘性力のバランス によってチェック流量が少なくなったと考えられる. Fig. 5 およびFig.6から得られた動粘度とレイノルズ数の関係を Fig. 7およびFig. 8に示す. ただし、Fig. 7はモデル 1、Fig. 8 はモデル2のものである. レイノルズ数Reは全ての場合で 1000程度以下であり、層流状態に近く、層流境界層による 動粘度の影響が大きいことが推測される. 一方, モデル2 は、Fig.6およびFig.8より今回計測した範囲では、動粘度 の影響は非常に小さかった. レイノルズ数Reも150程度か ら1700程度までの領域であり、いずれも層流状態であると 推測される. このモデル2はチェックボールの領域に旋回 流を発生させているが、動粘度の変化がおよぼすボール浮

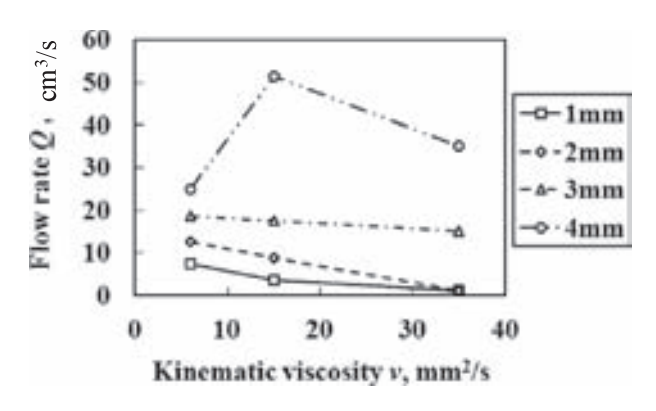


Fig. 5 Relation between ν and Q of Model 1

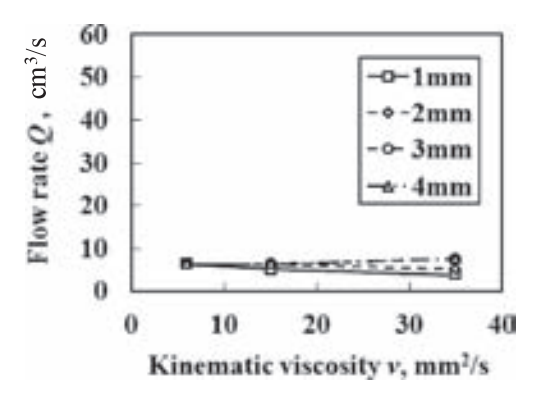


Fig. 6 Relation between *v* and Flow rate of Model 2

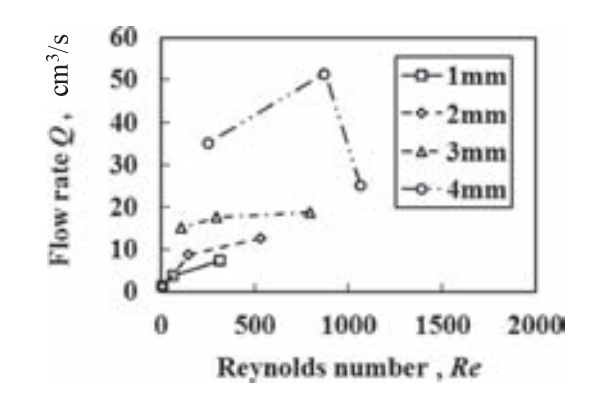


Fig. 7 Relation between Reynolds number and Flow rate of Model 1

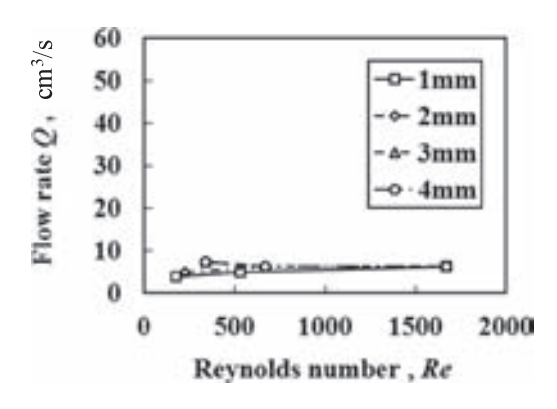


Fig. 8 Relation between Reynolds number and Flow rate of Model 2

上力への影響は小さい.

次に、チェックボール領域の旋回流によるボール回転へ の影響を明らかにするため、ボール回転数の計測結果を示 す. リフト量 1 mmにおける回転数の測定結果をFig. 9に, 同 様に2.3.4 mmにおける測定結果をそれぞれFig.10. Fig. 11, Fig. 12に示す. Fig. 9からFig. 12より, 動粘度が大 きくなると回転数が小さくなることがわかる. また, 流量 と回転数はほぼ比例関係にあるといえる. 動粘度 6 mm²/sに おける回転数とリフト量の関係をFig. 13に、同様に15mm²/s における回転数とリフト量の関係をFig. 14にそれぞれ示す. 動粘度 6 mm² /sではリフト量の増加にしたがって回転数が低 下している. なかでもリフト量が2mmから3mmでの変化が 大きかった. これは、入口からの噴流の幾何学的な位置が 大きく変化したためであると考えられる. Fig. 14の動粘度 15mm²/sの比較的高粘度の場合はリフト量2mmよりも3mmの 場合がボールの回転数は高くなった. これは、ボールの回 転数は噴流とボールの幾何学的な位置関係に加えて、ボー ル付近の旋回流と粘性による力のバランスによって決定さ れるためと考えられるこのとき、リフト量の増加によって 回転数は低くなったが、チェック流量の変化はほとんどな かった.

さらに、可視化実験結果として、モデル 1 におけるリフト量 2 mm、流量7.5cm² /sにおける流れの様子をFig. 15に示す、ただし、Fig. 15(a)は動粘度 6 mm² /s、(b)は動粘度35mm² /sの場

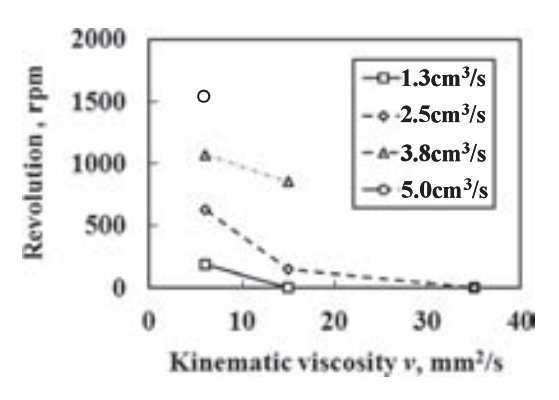


Fig. 9 Relation between v and Revolution of Lift 1 mm

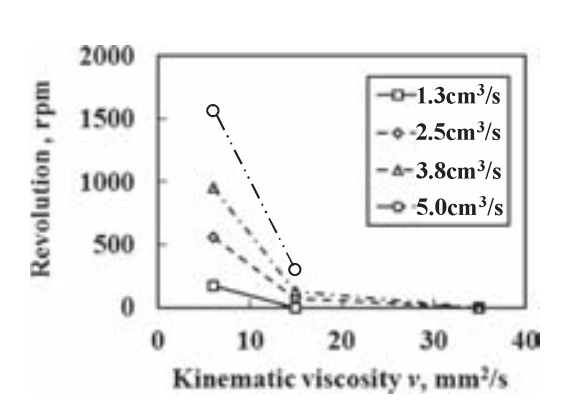


Fig. 10 Relation between v and Revolution of Lift 2 mm

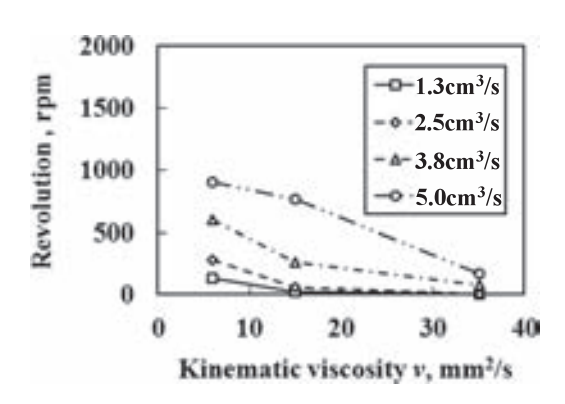


Fig. 11 Relation between v and Revolution of Lift 3 mm

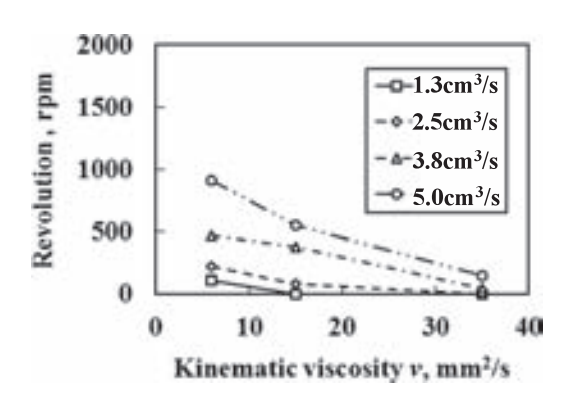


Fig. 12 Relation between ν and Revolution of Lift 4 mm

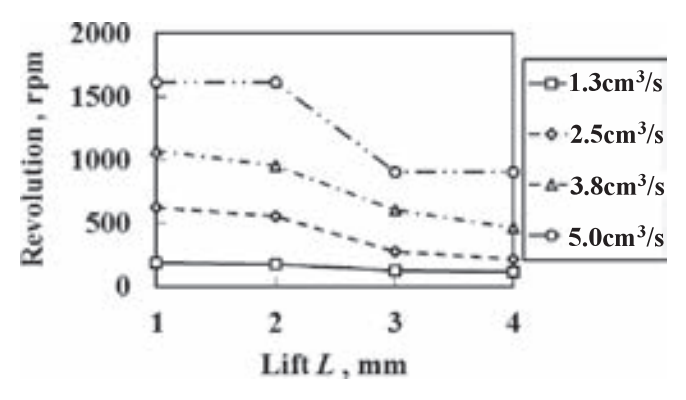


Fig. 13 Relation between Lift and Revolution of 6 mm²/s

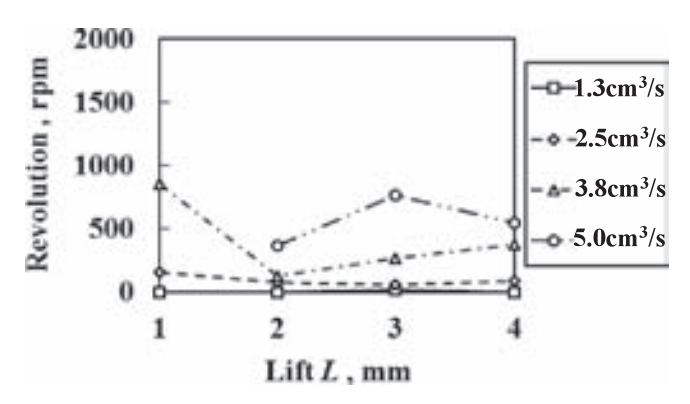


Fig. 14 Relation between Lift and Revolution of 15 mm /s

合である. 同様に、リフト量 4 mm、流量23.9cm /sの様子を Fig. 16に示す. Fig. 16(a)は動粘度 6 mm /s, (b)は動粘度35mm /sの場合である. これらの流量はボールが浮上しない最大 のもので観察している. モデル1では、Fig. 15よりFig. 15 (a)の動粘度が 6 mm /sと低い場合にはボール左上の逆流や旋 回流、あるいは下に向かう流れなど種々の流れが観察され る. 一方. 動粘度35mm²/sのときは入口から出口まで. ボー ルに沿うようにスムーズに上向き流れが形成されていた. すなわち, 動粘度の上昇にしたがって下回りの流量の減少 がおこり、チェック流量が多くなったと考えられる。また、 いずれの粘度でもボールの周囲をまわるような流れが見ら れたが、動粘度が低い 6 mm²/sの場合は動粘度の高い場合と 比べて強く観察された. Fig. 16のリフト量 4 mmのときは. 入口からの噴流がボールの上面にあたっていることが観察 され、その主流の方向が変わる反力がボールに下方向へ加 わっていると考えられる. Fig. 16(a)のように低粘度で比較 的流量が多い場合は、ボール周りに種々の流れが生じ、一 部のボールの下部への流れによってチェックボールが浮上 することが確認された. しかしながら, 高粘度の場合は一 様流に近い流れとなっている.

次に、モデル 2 におけるリフト量 2 mm、流量3.8cm /sおける流れの様子をFig. 17に示す、ただし、Fig. 17(a)は動粘度 6 mm /s、(b)は動粘度15mm /sの場合である。このとき、作動油の流入口がボールの中心と流れが上下に分かれていることが観察される。Fig. 17(a)とFig. 17(b)を比較すると、いず

第44巻 第1号 - 26- 2013年1月(平成25年)

れの場合も旋回流もみられているが、同じ流量でも動粘度が大きくなると旋回流が小さくなっていることがわかる. さらに、リフト量 3 mm、流量3.8cm²/sの流れの様子をFig. 18に示す。Fig. 18(a)は動粘度 6 mm²/sの場合、(b)は15mm²/sの場合である。Fig. 18のリフト量 3 mmの場合でも同様に動粘度が大きくなると旋回流は小さくなっているが、リフト 2 mmの場合と比べてボール位置が低いため、入口からの噴流がボールには直接当たらず大きな旋回流がみられ、ボール下方向への流れはほとんどみられない。

4. 考 察

中央から ϕ 5で流入するモデル1とサイドから ϕ 2で流入させ、旋回流を発生させるモデル2を用いて、チェックボール挙動を明らかにした。さらに、可視化実験によって作動油の流れを明らかにした。モデル1の中央流入の場合は、Fig.5およびFig.15より、リフト量が3mm以下と小さいときはボール周りや表面の流れが比較的多く、ボールに対して上方向力が生じやすいため粘度による差は小さい。一方、リフト量が4mmと大きくなるとボール上部に主流があたり、特に動粘度が大きくなるとチェック流量が多く必要



(a) Viscosity: 6 mm²/s



(b) Viscosity: 35 mm²/s

Fig. 15 Flow pattern of Model 1 at lift 2 mm, flow rate 7.5cm $^{/}$ s



(a) Viscosity: 6 mm²/s



(b) Viscosity: 35 mm²/s

Fig. 16 Flow pattern of Model 1 at lift 4 mm, flow rate 23.9 $\,$ cm $^{\prime}/s$

となった.

モデル2では、リフト量2mm、流量3.8cm /sのときのボー ル回転数はFig. 10より,動粘度6 mi /sの場合は約1000rpm, 動粘度15mm²/sの場合は約90rpmと大きな差となっている. Fig. 17の可視化実験から、流入口からの噴流はチェック ボール中央部側面にあたり、上下に分散しているが、動粘 度が大きくなると旋回流が発達しないことがわかった. し かしながら、Fig.6より動粘度がおよぼすチェック流量への 影響は非常に小さかった.一方,リフト量3㎜のときは ボールの回転数が動粘度6mil/sの場合に約700rpmに対し、 動粘度15㎜ /sの場合が約250rpmと差が小さくなった.こ のとき、Fig. 18に示したように低粘度では強い旋回流が観 察され、高粘度では旋回流は弱くなっていたが、低粘度で はボールを回転させるための粘性力が小さいため、ボール 回転数の差が縮小したことが推定される. Fig. 6で示した動 粘度の変化によるチェック流量の差がほとんどみられな かったのは、粘性と旋回流のバランスによって、結果とし てのチェック流量に変化がみられなかったと推定される. これらより、モデル2はモデル1と比較して、低流量で チェック可能であり、リフト量や動粘度の影響を受けにく



(a) Viscosity: 6 mm²/s



(b) Viscosity: 15 mm²/s

Fig. 17 Flow pattern of a Model 2 at lift 2 mm, flow rate 3.8 cm^2/s



(a) $Viscosity: 6 \text{ mm}^2/s$



(b) Viscosity: 15 mm²/s

Fig. 18 Flow pattern of Model 2 at lift 3 mm, flow rate 3.8cm $^{\prime}$ /s

いことがわかった.

5. 結 言

本研究では、現在使用されている油圧用ボール弁のバネなし化を目的として、作動油入口位置と径、ボール位置および作動油の動粘度を変化させ、チェック流量と回転数の計測およびボール付近の可視化実験を行った。その結果、サイドから流入させ、旋回流を積極的に利用するによって、ボールを低流量で浮上させることが可能なことがわかった。さらに、高速度カメラを用いて粒子観察を行い、改善理由を考察した。ただし、これら旋回流の強さ、ボールとの相対位置、噴流の強さを決める入口径、作動油粘性など種々のパラメータが相互に作用し合うため、今後、現象理解を深めるためにもCAE解析を活用し、定量的な観察を行う予定である。

主な結論を以下にまとめて記す.

- (1) 流量,動粘度およびリフト量を変化させチェック流量 を調査した結果,チェック流量とボールの初期位置のお よび動粘度の相互関係が明らかになった
- (2) 中央から流入させるモデルではリフト量 3 m以下では 20cm /s程度のチェック流量であるが、4 mmでは、現象が 変化し、50cm /sのチェック流量の場合がある.
- (3) 中央流入モデルでは、リフト量 1 mmないしは 3 mmでは 動粘度が大きいとボールを浮かせやすく、チェック流量 が少なくなる.
- (4) サイドから流入させる形状を採用すると旋回流が生じ、動粘度によらず8.3cm /s以下の低流量でチェック可能である.

(5) サイドから流入させ、動粘度を変化させるとボールの 回転数、旋回流の強さは大きく変化するが、チェック流 量はほとんど変化しない。

謝辞

本研究は、文部科学省私立大学戦略的研究基盤形成支援 事業(平成24年~平成26年)の助成を受けたものである。

参考文献

- 小波倭文朗,西海孝夫:油圧制御システム,東京電機大学出版局,P.105 (1999)
- 2) 築地徹浩, 松本学, 佐倉青蔵, 永田精一, 吉田太志: 可視化技術を用いた油圧用ボール弁の改良, 日本フルードパワーシステム学会論文集, Vol. 35, No. 6, p. 103-108 (2004)
- 3) 築地徹浩,米澤至彦,石井祐一郎:油圧用三次元ポペット弁内の流れ,日本機械学會論文集,B編,Vol. 61, No. 583, p. 998-1004 (1995)
- 4) 築地徹浩, 中山真吾:油圧用ポペット弁の横振動に関する研究, 日本機械学會論文集, B編, Vol. 64, No. 620, p. 1088-1094 (1998)
- 5) 白井敦, 林叡, 早瀬敏幸, 王偉民: 直動型ポペット弁 回路の固有値解析, 日本油空圧学会論文集, Vol. 30, No. 3, p. 75-80 (1999)
- 6) 菊池和重,山口隆平:スプール弁内流れの可視化と三次元数値解析モデルの検討,日本機械学會論文集,B編,Vol. 64, No. 627, p. 3558-3564 (1998)

平成25年1月15日 - 概社団法人 日本フルードパワーシステム学会

平成25年度会費納入のお願い

拝啓 時下益々ご清祥のこととお慶び申しあげます.

さて、平成25年度(自平成25年4月1日~至平成26年3月31日)の会費を、下記の通りご納入賜わりたくお願い申しあげます。なおすでにご納入くださいました場合は、何卆ご容赦ください。

敬具

記

平成25年度

正会員会費 8,000円 (40歳未満で入会された方は,入会から5年間にかぎり4,000円となります.) 学生会員会費 2,000円

お 願 い

- ・24年度以前の会費を未納の方は、新年度分(平成25年度)と併せてお振り込みくださいますようお願い申しあげます。
- ・会員名を必ずご記入ください。
- ・便利な自動振り込みは手数料が不要です。ご希望によりお申し込み書をお送り致しますので、FAXまたはE-mailにてご一報いただきたく、宜しくお願い申しあげます。

以上

	0.0	東京	払 這	入 取	扱	票			担	、込票兼受	領証
各票の	0	□座番号 (4)詰めにご記入 0 1 0 = 3 1	ください) 3 3 6	9 0 8	*	十五千	百十円		口 0 座		3
※印欄は、	加入者名	-般社団法人 日本フルードパ	フーシステム	/ / / / / / / / / /	·	特殊 取扱			番号	右詰めにご記入 1 3 3	ください 6 9 0
、払込におい		該当するものに○をつ		込の内容	容をご記	己入くださ	えい。	切り取られ記載事項も	加入者名	団法人 日本フルードバ	ワーシステム学会
おいて記載	通信	1.() 年度 企業名·[会員名·[() 会	費	切り取らないで郵便局にお出記載事項を訂正した場合は、	金 * * * * * * * * * * * * * * * * * * *	百十万千	百十四
載してくださ	欄	会員名し2.()	の代金	(I)	* 払込人住所氏名	<u> </u>	
. (,	払込人住所氏名	(郵便番号) ※		_	受付			しください。	所氏名		
		(電話番			局 口) 附			正印を押	料	巡が 受付局	រា 附卸
	表明	の注意事項をお読みください。(郵政	事業月) 【仏製	承認東第23957	739) 即			てくだ	金	H	
								ر. د ا	特殊取扱		

お振り込み先金融機関一覧

- 1. 郵便振替貯金 00110-3-133690
 - *下の振替用紙をご利用いただけます。 (なお,この振替用紙は会費納入・資料購入・セミナー等受講料など総てにご利用いただけます。)
- 2. 三井住友銀行 日比谷支店 (普) 7611417
- (注) *口座名はいずれも「社団法人 日本フルードパワーシステム学会」です。
 - *誠にお恐れ入りますが、振り込み手数料はご負担くださいますようお願い申し あげます。
 - *上記2をご利用の方で、会社名・大学名にてご送金の方は、個人名・内容・振 込金融機関名を、ファクシミリまたはE-mailで学会宛にご連絡くださいますよ う、お願い申しあげます。

この受領証は、郵便局で機械 処理をした場合は郵便振替の払 込みの証拠となるものですから 大切に保存してください。

ご注意

この払込書は、機械で処理しますので、口座番号及び金額を記入する際は、枠内に丁寧に記入してください。

また、下部の欄(表面及び裏面)を汚したり、本票を折り曲 げたりしないでください。

(日本郵政公社)